# Rapportage deformatiemetingen

# Veiligheidsconstructie Singel SIN0401

## XYZ-deformatiemeting

| | | | |
|---|---|---|---|
| Projectnummer | BR227122 | | |
| In opdracht van | Mobilis | | |
| Uitgevoerd door | 5.1,2,e & 5.1,2,e | | |
| Uitvoeringsdatum | 24-05-2022 | | |
| Rapportnummer | RD227122_HH04 | Datum | 30-5-2022 |
| Opgesteld | 5.1,2,e | Gecontroleerd | 5.1,2,e |



## DOELSTELLING VAN DE METING

BouwRisk heeft opdracht gekregen metingen uit te voeren gedurende de werkzaamheden. De metingen bestaan uit een nulmeting en eventueel herhalingsmetingen en een eindmeting. De nulmeting heeft als doel de bestaande situatie in XY en Z richting vast te leggen. De nulmeting wordt uitgevoerd voor aanvang van de werkzaamheden. Herhalingsmetingen leggen vervolgens de deformatie in tijd ten opzichte van de nulmeting vast. De eindmeting na afloop van de werkzaamheden legt de totale deformatie vast. De tijdstippen van de herhalingsmetingen hangen af van de uitgevoerde werkzaamheden. Een monitoringsplan of een risicoanalyse kan hier aan ten grondslag liggen.

## MEETOPZET

De meting is uitgevoerd ten opzichte van referentiepunten rondom het werkgebied. De referentie- punten zijn in de hoogte gekoppeld aan NAP. De XYZ richting is bepaald in een lokaal stelsel. De coördinaten van de referentiepunten zijn achtereenvolgend:

| nr | X | Y | Z |
|---|---|---|---|
| 9001 | 2194.5762 | 4990.0595 | 2.7866 |
| 9002 | 2196.6763 | 4980.6561 | 2.7737 |
| 9003 | 2180.5397 | 4961.2433 | 3.5801 |
| 9004 | 2114.4877 | 4961.3730 | 3.6801 |
| 9005 | 2052.2443 | 4960.0708 | 3.9116 |
| 9006 | 1997.3486 | 4974.6239 | 2.0390 |
| 9007 | 1997.5689 | 4990.5448 | 3.2171 |
| 9008 | 2101.1910 | 5011.0432 | 4.2340 |
| 9009 | 2147.5824 | 5011.7382 | 2.4907 |

Tijdens de herhalingsmetingen dienen de referentiepunten als uitgangspunt. De locaties van de referentiepunten zijn schetsmatig aangegeven in de tekening van de meetopzet.

## MEETNAUWKEURIGHEID

De nulmeting is uitgevoerd met een tachymeter van het type Leica 1201 of gelijkwaardig. De tachymeter is gekalibreerd volgens de technische specificaties van de fabrikant. Tijdens de nulmeting zijn alle punten gecontroleerd ingemeten vanaf twee standplaatsen. De meting is gecontroleerd en vereffend met MOVE3D. Na vereffening hebben alle punten een standaard afwijking kleiner dan of gelijk aan 1,5 mm.

## RAPPORTAGE

De meetwaarden en meetdatum worden zowel in tabelvorm als in grafiekvorm gepresenteerd. De meetwaarden van de nulmeting worden in meters weergegeven. Bij de herhalingsmetingen worden de verschillen/deformaties t.o.v. de nulmeting in millimeters weergegeven.

## OPMERKINGEN

Geen

## MEETSCHETS REFERENTIEPUNTEN

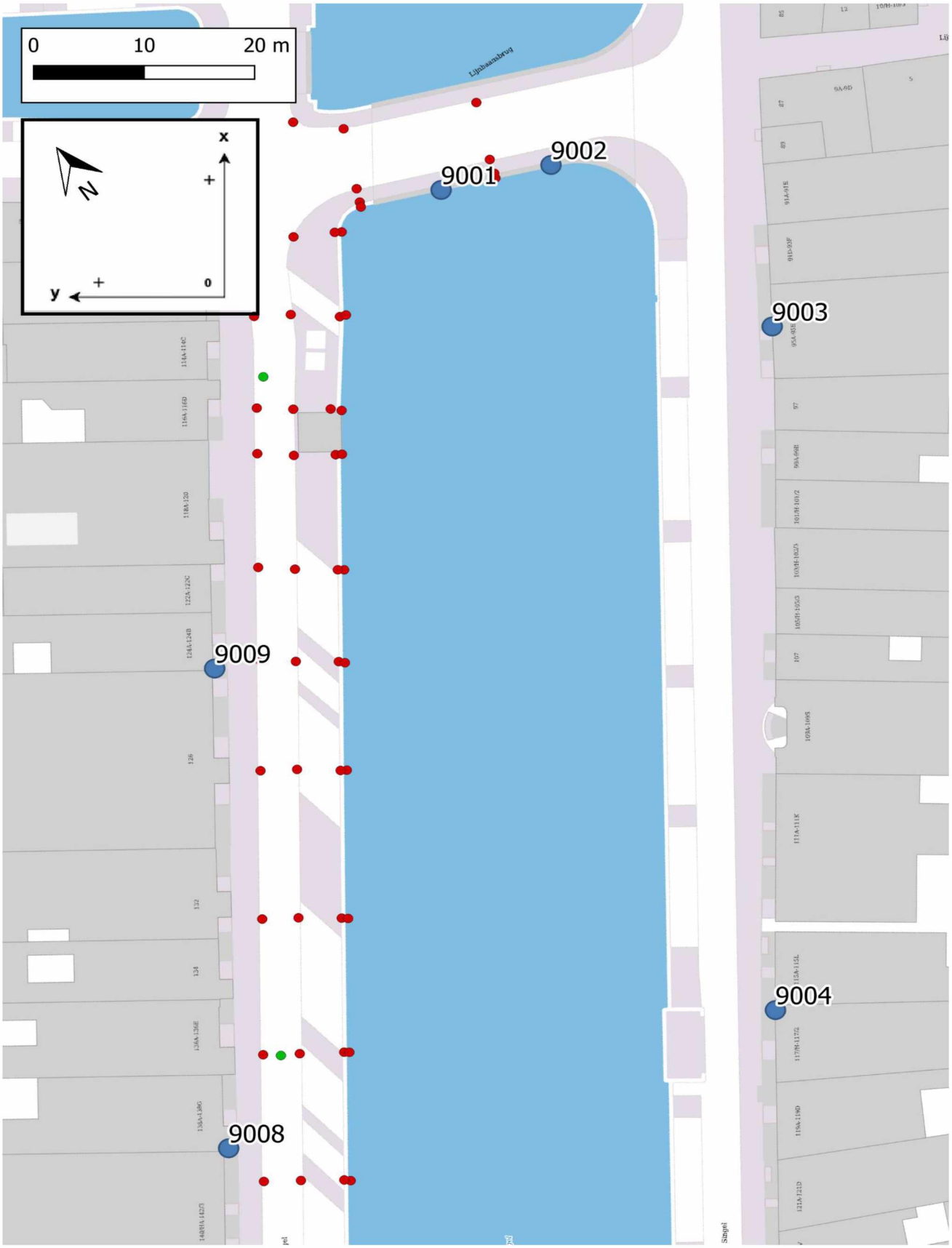

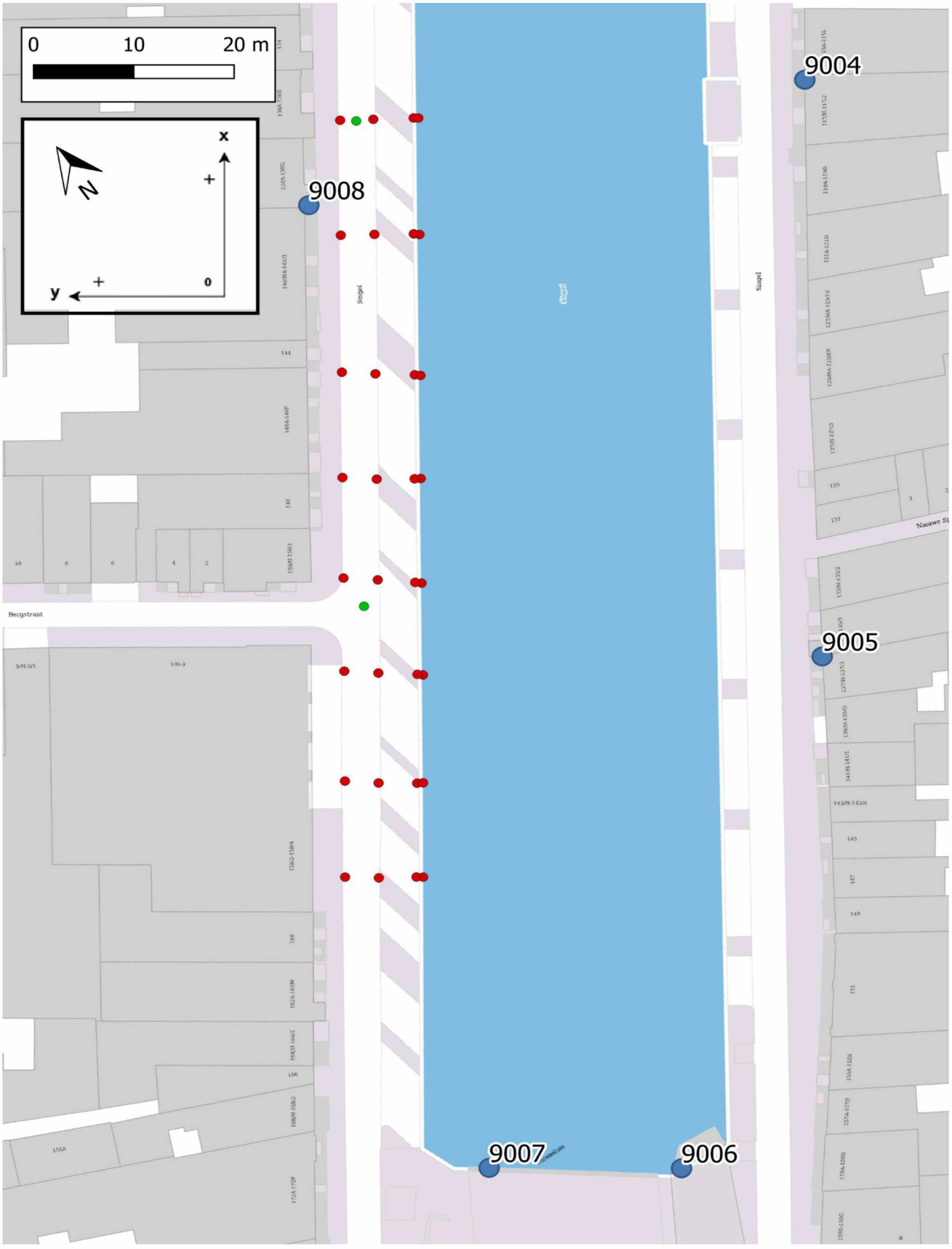
0
10
20 m
N
x
y
+
+
0
9004
9008
9005
9007
9006
Singel
Singel
Singel
Bergstraat
Nieuwe St

## MEETSCHETS DEFORMATIEPUNTEN

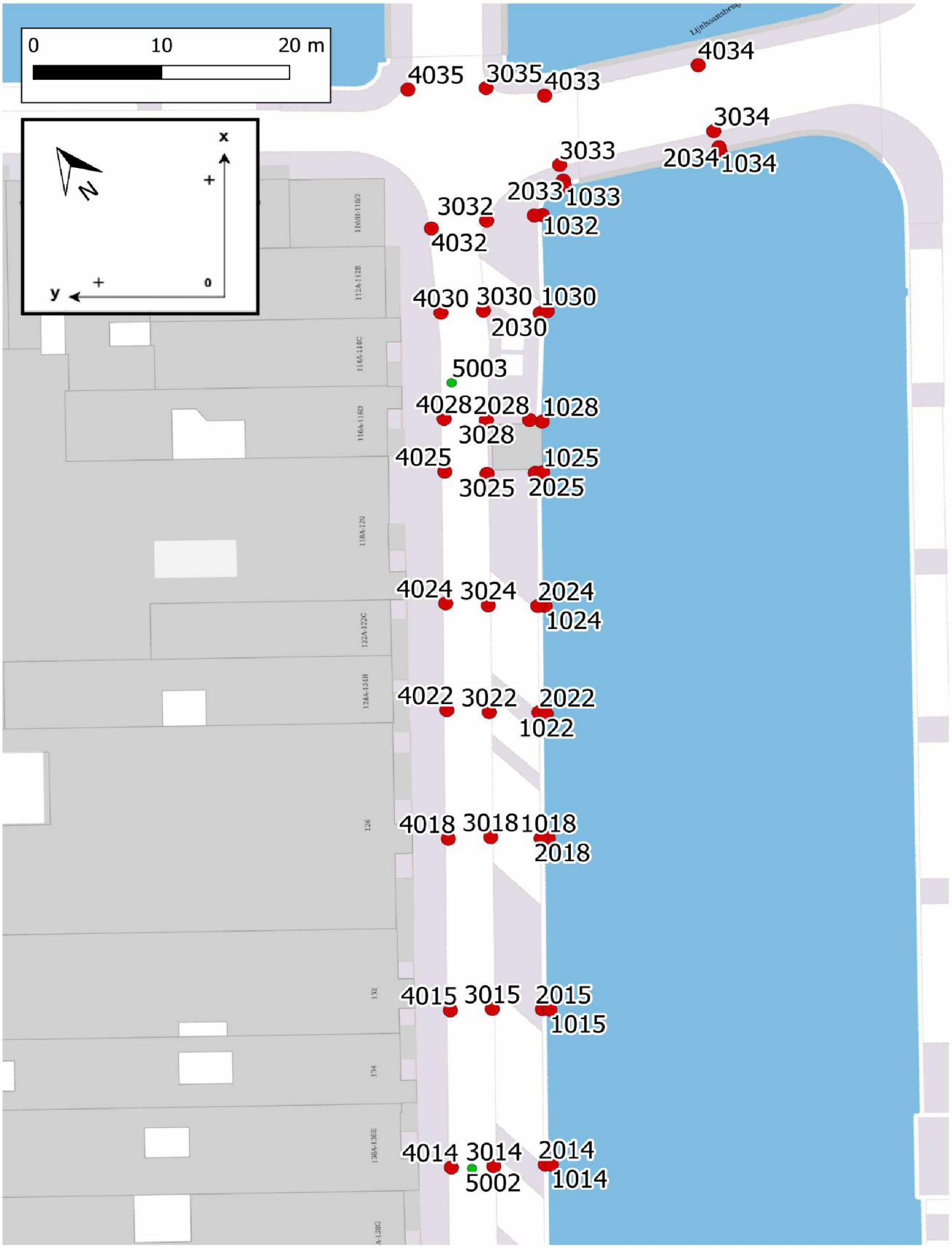

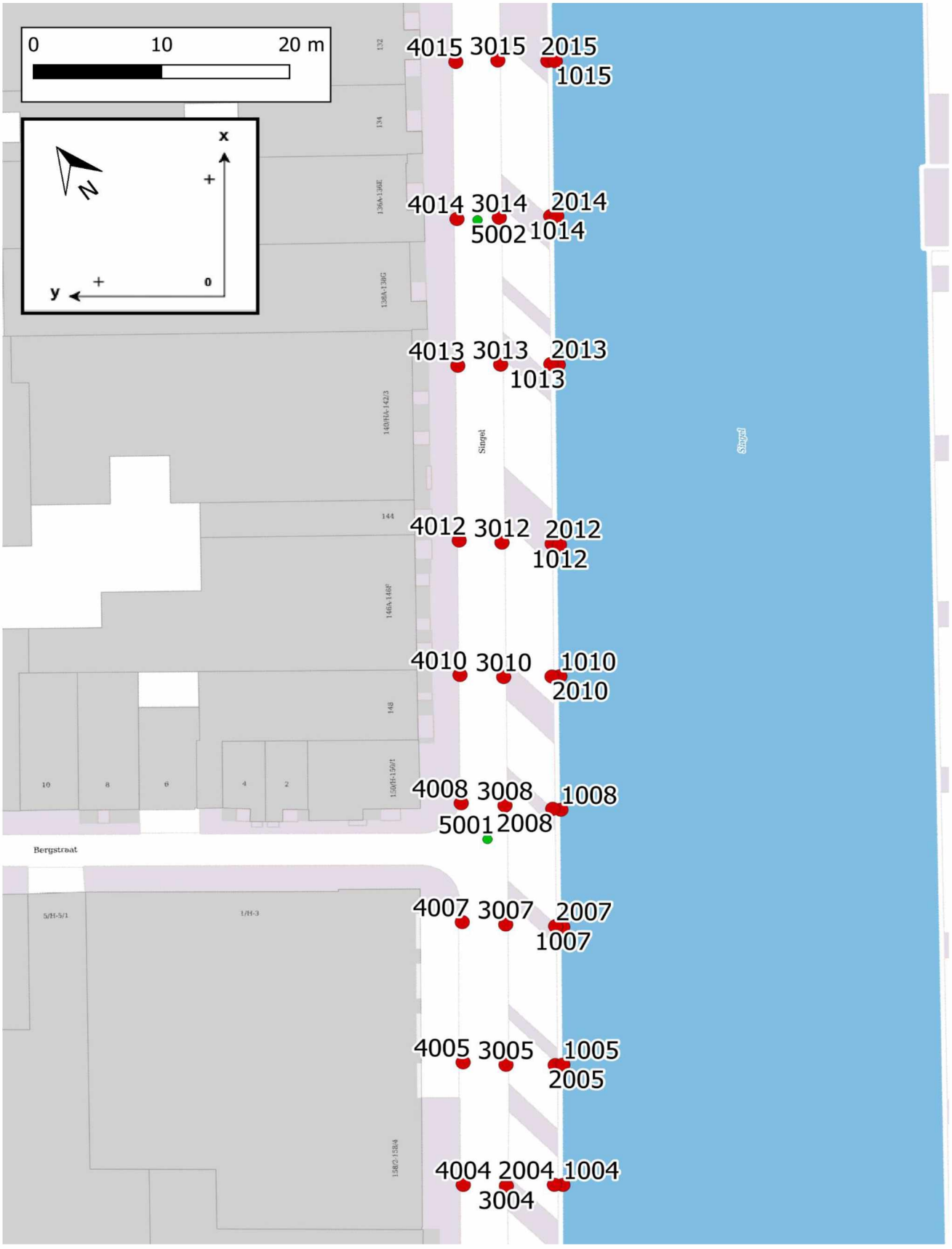
0
10
20 m
N
x
y
+
0
4015 3015 2015
1015
4014 3014 2014
5002 1014
4013 3013 2013
1013
4012 3012 2012
1012
4010 3010 1010
2010
4008 3008 1008
5001 2008
4007 3007 2007
1007
4005 3005 1005
2005
4004 2004 1004
3004
Singel
Singel
Bergstraat

**Opdrachtgever:** Mobilis
**Project:** Veiligheidsconstructie Singel SIN0401
**Onderdeel:** XYZ-deformatiemeting
**Projectnummer:** BR227122

73o6 15-11-2021

| Meetpunt | Richting | Nulmeting | Datum | 4-5-2022 | | HH1 | 10-5-2022 | | HH2 | 18-5-2022 | | HH3 | 24-5-2022 | | HH4 |
|---|---|---|---|---|---|---|---|---|---|---|---|---|---|---|---|
| | | HH0 | | HH1 | HH1-HH0 | HH1-HH0 | HH2 | HH2-HH0 | HH2-HH1 | HH3 | HH3-HH0 | HH3-HH2 | HH4 | HH4-HH0 | HH4-HH3 |
| | | [m] | | [m] | [mm] | [mm] | [m] | [mm] | [mm] | [m] | [mm] | [mm] | [m] | [mm] | [mm] |
| **1004** | X | 2028,8368 | 13-4-2022 | 2028,8385 | 1,7 | 1,7 | 2028,8372 | 0,4 | -1,3 | 2028,8355 | -1,3 | -1,7 | 2028,8399 | 3,1 | 4,4 |
| | Y | 4999,9291 | 13-4-2022 | 4999,9281 | -1,0 | -1,0 | 4999,9273 | -1,8 | -0,8 | 4999,9279 | -1,2 | 0,6 | 4999,9265 | -2,6 | -1,4 |
| | Z | 0,7443 | 13-4-2022 | 0,7461 | 1,8 | 1,8 | 0,7441 | -0,2 | -2,0 | 0,7441 | -0,2 | 0,0 | 0,7428 | -1,5 | -1,3 |
| **1005** | X | 2038,9652 | 13-4-2022 | 2038,9676 | 2,4 | 2,4 | 2038,9687 | 3,5 | 1,1 | 2038,9635 | -1,7 | -5,2 | 2038,9697 | 4,5 | 6,2 |
| | Y | 4999,8583 | 13-4-2022 | 4999,8566 | -1,7 | -1,7 | 4999,8574 | -0,9 | 0,8 | 4999,8533 | -5,0 | -4,1 | 4999,8519 | -6,4 | -1,4 |
| | Z | 0,6350 | 13-4-2022 | 0,6364 | 1,4 | 1,4 | 0,6339 | -1,1 | -2,5 | 0,6300 | -5,0 | -3,9 | 0,6285 | -6,5 | -1,5 |
| **1007** | X | 2050,5510 | 13-4-2022 | 2050,5531 | 2,1 | 2,1 | 2050,5551 | 4,1 | 2,0 | 2050,5519 | 0,9 | -3,2 | 2050,5502 | -0,8 | -1,7 |
| | Y | 4999,7856 | 13-4-2022 | 4999,7853 | -0,3 | -0,3 | 4999,7843 | -1,3 | -1,0 | 4999,7822 | -3,4 | -2,1 | 4999,7813 | -4,3 | -0,9 |
| | Z | 0,5928 | 13-4-2022 | 0,5948 | 2,0 | 2,0 | 0,5927 | -0,1 | -2,1 | 0,5873 | -5,5 | -5,4 | 0,5856 | -7,2 | -1,7 |
| **1008** | X | 2060,4191 | 13-4-2022 | 2060,4156 | -3,5 | -3,5 | 2060,4154 | -3,7 | -0,2 | 2060,4195 | 0,4 | 4,1 | 2060,4173 | -1,8 | -2,2 |
| | Y | 4999,8618 | 13-4-2022 | 4999,8641 | 2,3 | 2,3 | 4999,8595 | -2,3 | -4,6 | 4999,8606 | -1,2 | 1,1 | 4999,8579 | -3,9 | -2,7 |
| | Z | 0,6174 | 13-4-2022 | 0,6203 | 2,9 | 2,9 | 0,6182 | 0,8 | -2,1 | 0,6170 | -0,4 | -1,2 | 0,6149 | -2,5 | -2,1 |
| **1010** | X | 2071,6582 | 13-4-2022 | 2071,6541 | -4,1 | -4,1 | 2071,6549 | -3,3 | 0,8 | 2071,6587 | 0,5 | 3,8 | 2071,6598 | 1,6 | 1,1 |
| | Y | 4999,8626 | 13-4-2022 | 4999,8658 | 3,2 | 3,2 | 4999,8624 | -0,2 | -3,4 | 4999,8639 | 1,3 | 1,5 | 4999,8637 | 1,1 | -0,2 |
| | Z | 0,5620 | 13-4-2022 | 0,5642 | 2,2 | 2,2 | 0,5616 | -0,4 | -2,6 | 0,5613 | -0,7 | -0,3 | 0,5605 | -1,5 | -0,8 |
| **1012** | X | 2082,7276 | 13-4-2022 | 2082,7238 | -3,8 | -3,8 | 2082,7246 | -3,0 | 0,8 | 2082,7289 | 1,3 | 4,3 | 2082,7290 | 1,4 | 0,1 |
| | Y | 4999,8143 | 13-4-2022 | 4999,8179 | 3,6 | 3,6 | 4999,8128 | -1,5 | -5,1 | 4999,8151 | 0,8 | 2,3 | 4999,8130 | -1,3 | -2,1 |
| | Z | 0,4621 | 13-4-2022 | 0,4641 | 2,0 | 2,0 | 0,4621 | 0,0 | -2,0 | 0,4614 | -0,7 | -0,7 | 0,4604 | -1,7 | -1,0 |
| **1013** | X | 2097,8730 | 13-4-2022 | 2097,8755 | 2,5 | 2,5 | 2097,8702 | -2,8 | -5,3 | 2097,8748 | 1,8 | 4,6 | 2097,8784 | 5,4 | 3,6 |
| | Y | 4999,8051 | 13-4-2022 | 4999,8028 | -2,3 | -2,3 | 4999,8031 | -2,0 | 0,3 | 4999,8047 | -0,4 | 1,6 | 4999,8024 | -2,7 | -2,3 |
| | Z | 0,4495 | 13-4-2022 | 0,4497 | 0,2 | 0,2 | 0,4490 | -0,5 | -0,7 | 0,4483 | -1,2 | -0,7 | 0,4480 | -1,5 | -0,3 |
| **1014** | X | 2110,3823 | 13-4-2022 | 2110,3839 | 1,6 | 1,6 | 2110,3813 | -1,0 | -2,6 | 2110,3844 | 2,1 | 3,1 | 2110,3837 | 1,4 | -0,7 |
| | Y | 4999,8335 | 13-4-2022 | 4999,8329 | -0,6 | -0,6 | 4999,8325 | -1,0 | -0,4 | 4999,8349 | 1,4 | 2,4 | 4999,8333 | -0,2 | -1,6 |
| | Z | 0,4648 | 13-4-2022 | 0,4648 | 0,0 | 0,0 | 0,4637 | -1,1 | -1,1 | 0,4640 | -0,8 | 0,3 | 0,4636 | -1,2 | -0,4 |
| **1015** | X | 2123,4227 | 13-4-2022 | 2123,4247 | 2,0 | 2,0 | 2123,4249 | 2,2 | 0,2 | 2123,4260 | 3,3 | 1,1 | 2123,4245 | 1,8 | -1,5 |
| | Y | 4999,8545 | 13-4-2022 | 4999,8595 | 5,0 | 5,0 | 4999,8550 | 0,5 | -4,5 | 4999,8564 | 1,9 | 1,4 | 4999,8539 | -0,6 | -2,5 |
| | Z | 0,5132 | 13-4-2022 | 0,5128 | -0,4 | -0,4 | 0,5126 | -0,6 | -0,2 | 0,5123 | -0,9 | -0,3 | 0,5121 | -1,1 | -0,2 |
| **1018** | X | 2137,8789 | 13-4-2022 | 2137,8803 | 1,4 | 1,4 | 2137,8809 | 2,0 | 0,6 | 2137,8769 | -2,0 | -4,0 | 2137,8781 | -0,8 | 1,2 |
| | Y | 4999,8701 | 13-4-2022 | 4999,8724 | 2,3 | 2,3 | 4999,8702 | 0,1 | -2,2 | 4999,8728 | 2,7 | 2,6 | 4999,8698 | -0,3 | -3,0 |
| | Z | 0,4916 | 13-4-2022 | 0,4920 | 0,4 | 0,4 | 0,4932 | 1,6 | 1,2 | 0,4940 | 2,4 | 0,8 | 0,4941 | 2,5 | 0,1 |
| **1022** | X | 2148,3508 | 13-4-2022 | 2148,3489 | -1,9 | -1,9 | 2148,3524 | 1,6 | 3,5 | 2148,3463 | -4,5 | -6,1 | 2148,3486 | -2,2 | 2,3 |
| | Y | 4999,9656 | 13-4-2022 | 4999,9686 | 3,0 | 3,0 | 4999,9652 | -0,4 | -3,4 | 4999,9666 | 1,0 | 1,4 | 4999,9646 | -1,0 | -2,0 |
| | Z | 0,5791 | 13-4-2022 | 0,5792 | 0,1 | 0,1 | 0,5784 | -0,7 | -0,8 | 0,5778 | -1,3 | -0,6 | 0,5785 | -0,6 | 0,7 |
| **1024** | X | 2157,4074 | 13-4-2022 | 2157,4054 | -2,0 | -2,0 | 2157,4094 | 2,0 | 4,0 | 2157,4095 | 2,1 | 0,1 | 2157,4079 | 0,5 | -1,6 |
| | Y | 4999,9732 | 13-4-2022 | 4999,9756 | 2,4 | 2,4 | 4999,9732 | 0,0 | -2,4 | 4999,9734 | 0,2 | 0,2 | 4999,9725 | -0,7 | -0,9 |
| | Z | 0,5862 | 13-4-2022 | 0,5864 | 0,2 | 0,2 | 0,5864 | 0,2 | 0,0 | 0,5863 | 0,1 | -0,1 | 0,5867 | 0,5 | 0,4 |
| **1025** | X | 2168,6743 | 13-4-2022 | 2168,6732 | -1,1 | -1,1 | 2168,6763 | 2,0 | 3,1 | 2168,6770 | 2,7 | 0,7 | 2168,6762 | 1,9 | -0,8 |
| | Y | 5000,0883 | 13-4-2022 | 5000,0908 | 2,5 | 2,5 | 5000,0870 | -1,3 | -3,8 | 5000,0870 | -1,3 | 0,0 | 5000,0860 | -2,3 | -1,0 |
| | Z | 0,6941 | 13-4-2022 | 0,6944 | 0,3 | 0,3 | 0,6943 | 0,2 | -0,1 | 0,6940 | -0,1 | -0,3 | 0,6944 | 0,3 | 0,4 |
| **1028** | X | 2172,9404 | 13-4-2022 | 2172,9431 | 2,7 | 2,7 | 2172,9409 | 0,5 | -2,2 | 2172,9410 | 0,6 | 0,1 | 2172,9401 | -0,3 | -0,9 |
| | Y | 5000,0962 | 13-4-2022 | 5000,0975 | 1,3 | 1,3 | 5000,0955 | -0,7 | -2,0 | 5000,0961 | -0,1 | 0,6 | 5000,0948 | -1,4 | -1,3 |
| | Z | 0,8640 | 13-4-2022 | 0,8650 | 1,0 | 1,0 | 0,8636 | -0,4 | -1,4 | 0,8632 | -0,8 | -0,4 | 0,8638 | -0,2 | 0,6 |
| **1030** | X | 2182,2412 | 13-4-2022 | 2182,2434 | 2,2 | 2,2 | 2182,2421 | 0,9 | -1,3 | 2182,2418 | 0,6 | -0,3 | 2182,2406 | -0,6 | -1,2 |
| | Y | 4999,6340 | 13-4-2022 | 4999,6367 | 2,7 | 2,7 | 4999,6326 | -1,4 | -4,1 | 4999,6330 | -1,0 | 0,4 | 4999,6321 | -1,9 | -0,9 |
| | Z | 1,1994 | 13-4-2022 | 1,2006 | 1,2 | 1,2 | 1,1998 | 0,4 | -0,8 | 1,1999 | 0,5 | 0,1 | 1,2001 | 0,7 | 0,2 |
| **1032** | X | 2190,3409 | 13-4-2022 | 2190,3417 | 0,8 | 0,8 | 2190,3412 | 0,3 | -0,5 | 2190,3406 | -0,3 | -0,6 | 2190,3393 | -1,6 | -1,3 |
| | Y | 4999,9630 | 13-4-2022 | 4999,9668 | 3,8 | 3,8 | 4999,9632 | 0,2 | -3,6 | 4999,9641 | 1,1 | 0,9 | 4999,9629 | -0,1 | -1,2 |
| | Z | 1,9977 | 13-4-2022 | 1,9985 | 0,8 | 0,8 | 1,9981 | 0,4 | -0,4 | 1,9979 | 0,2 | -0,2 | 1,9982 | 0,5 | 0,3 |
| **1033** | X | 2192,7604 | 13-4-2022 | 2192,7600 | -0,4 | -0,4 | 2192,7605 | 0,1 | 0,5 | 2192,7599 | -0,5 | -0,6 | 2192,7587 | -1,7 | -1,2 |
| | Y | 4998,2102 | 13-4-2022 | 4998,2135 | 3,3 | 3,3 | 4998,2109 | 0,7 | -2,6 | 4998,2114 | 1,2 | 0,5 | 4998,2103 | 0,1 | -1,1 |
| | Z | 2,2969 | 13-4-2022 | 2,2974 | 0,5 | 0,5 | 2,2966 | -0,3 | -0,8 | 2,2964 | -0,5 | -0,2 | 2,2974 | 0,5 | 1,0 |
| **1034** | X | 2195,4863 | 13-4-2022 | 2195,4846 | -1,7 | -1,7 | 2195,4864 | 0,1 | 1,8 | 2195,4860 | -0,3 | -0,4 | 2195,4838 | -2,5 | -2,2 |
| | Y | 4986,0185 | 13-4-2022 | 4986,0216 | 3,1 | 3,1 | 4986,0179 | -0,6 | -3,7 | 4986,0189 | 0,4 | 1,0 | 4986,0187 | 0,2 | -0,2 |
| | Z | 2,7279 | 13-4-2022 | 2,7284 | 0,5 | 0,5 | 2,7274 | -0,5 | -1,0 | 2,7273 | -0,6 | -0,1 | 2,7280 | 0,1 | 0,7 |
| **2004** | X | 2028,8510 | 13-4-2022 | 2028,8527 | 1,7 | 1,7 | 2028,8493 | -1,7 | -3,4 | 2028,8498 | -1,2 | 0,5 | 2028,8545 | 3,5 | 4,7 |
| | Y | 5000,6012 | 13-4-2022 | 5000,5998 | -1,4 | -1,4 | 5000,5998 | -1,4 | 0,0 | 5000,5991 | -2,1 | -0,7 | 5000,5979 | -3,3 | -1,2 |
| | Z | 0,7608 | 13-4-2022 | 0,7627 | 1,9 | 1,9 | 0,7606 | -0,2 | -2,1 | 0,7604 | -0,4 | -0,2 | 0,7595 | -1,3 | -0,9 |
| **2005** | X | 2038,9283 | 13-4-2022 | 2038,9317 | 3,4 | 3,4 | 2038,9330 | 4,7 | 1,3 | 2038,9275 | -0,8 | -5,5 | 2038,9340 | 5,7 | 6,5 |
| | Y | 5000,4618 | 13-4-2022 | 5000,4587 | -3,1 | -3,1 | 5000,4576 | -4,2 | -1,1 | 5000,4564 | -5,4 | -1,2 | 5000,4551 | -6,7 | -1,3 |
| | Z | 0,6924 | 13-4-2022 | 0,6949 | 2,5 | 2,5 | 0,6892 | -3,2 | -5,7 | 0,6870 | -5,4 | -2,2 | 0,6862 | -6,2 | -0,8 |
| **2007** | X | 2050,6217 | 13-4-2022 | 2050,6234 | 1,7 | 1,7 | 2050,6260 | 4,3 | 2,6 | 2050,6233 | 1,6 | -2,7 | 2050,6200 | -1,7 | -3,3 |
| | Y | 5000,3465 | 13-4-2022 | 5000,3465 | 0,0 | 0,0 | 5000,3442 | -2,3 | -2,3 | 5000,3429 | -3,6 | -1,3 | 5000,3420 | -4,5 | -0,9 |
| | Z | 0,6348 | 13-4-2022 | 0,6375 | 2,7 | 2,7 | 0,6348 | 0,0 | -2,7 | 0,6294 | -5,4 | -5,4 | 0,6269 | -7,9 | -2,5 |
| **2008** | X | 2060,5018 | 13-4-2022 | | | | | | | | | | | | |
| | Y | 5000,5039 | 13-4-2022 | | | | | | | | | | | | |
| | Z | 0,6491 | 13-4-2022 | | | | | | | | | | | | |
| **2010** | X | 2071,6349 | 13-4-2022 | 2071,6332 | -1,7 | -1,7 | 2071,6332 | -1,7 | 0,0 | 2071,6373 | 2,4 | 4,1 | 2071,6403 | 5,4 | 3,0 |
| | Y | 5000,4826 | 13-4-2022 | 5000,4822 | -0,4 | -0,4 | 5000,4796 | -3,0 | -2,6 | 5000,4814 | -1,2 | 1,8 | 5000,4797 | -2,9 | -1,7 |
| | Z | 0,6146 | 13-4-2022 | 0,6175 | 2,9 | 2,9 | 0,6151 | 0,5 | -2,4 | 0,6140 | -0,6 | -1,1 | 0,6164 | 1,8 | 2,4 |
| **2012** | X | 2082,8039 | 13-4-2022 | 2082,8006 | -3,3 | -3,3 | 2082,8014 | -2,5 | 0,8 | 2082,8054 | 1,5 | 4,0 | 2082,8090 | 5,1 | 3,6 |
| | Y | 5000,3914 | 13-4-2022 | 5000,3927 | 1,3 | 1,3 | 5000,3889 | -2,5 | -3,8 | 5000,3906 | -0,8 | 1,7 | 5000,3887 | -2,7 | -1,9 |
| | Z | 0,5560 | 13-4-2022 | 0,5585 | 2,5 | 2,5 | 0,5561 | 0,1 | -2,4 | 0,5554 | -0,6 | -0,7 | 0,5558 | -0,2 | 0,4 |

**Opdrachtgever:** Mobilis
**Project:** Veiligheidsconstructie Singel SIN0401
**Onderdeel:** XYZ-deformatiemeting
**Projectnummer:** BR227122

73o6 15-11-2021

| Meetpunt | Richting | Nulmeting | Datum | 4-5-2022 | | HH1 | 10-5-2022 | | HH2 | 18-5-2022 | | HH3 | 24-5-2022 | | HH4 |
|---|---|---|---|---|---|---|---|---|---|---|---|---|---|---|---|
| | | HH0 | | HH1 | HH1-HH0 | HH1-HH0 | HH2 | HH2-HH0 | HH2-HH1 | HH3 | HH3-HH0 | HH3-HH2 | HH4 | HH4-HH0 | HH4-HH3 |
| | | [m] | | [m] | [mm] | [mm] | [m] | [mm] | [mm] | [m] | [mm] | [mm] | [m] | [mm] | [mm] |
| **2013** | X | 2097,9428 | 13-4-2022 | 2097,9442 | 1,4 | 1,4 | 2097,9407 | -2,1 | -3,5 | 2097,9456 | 2,8 | 4,9 | 2097,9479 | 5,1 | 2,3 |
| | Y | 5000,3837 | 13-4-2022 | 5000,3808 | -2,9 | -2,9 | 5000,3812 | -2,5 | 0,4 | 5000,3825 | -1,2 | 1,3 | 5000,3809 | -2,8 | -1,6 |
| | Z | 0,5664 | 13-4-2022 | 0,5669 | 0,5 | 0,5 | 0,5646 | -1,8 | -2,3 | 0,5645 | -1,9 | -0,1 | 0,5649 | -1,5 | 0,4 |
| **2014** | X | 2110,3964 | 13-4-2022 | 2110,3982 | 1,8 | 1,8 | 2110,3957 | -0,7 | -2,5 | 2110,3985 | 2,1 | 2,8 | 2110,3975 | 1,1 | -1,0 |
| | Y | 5000,3056 | 13-4-2022 | 5000,3065 | 0,9 | 0,9 | 5000,3044 | -1,2 | -2,1 | 5000,3054 | -0,2 | 1,0 | 5000,3037 | -1,9 | -1,7 |
| | Z | 0,5723 | 13-4-2022 | 0,5725 | 0,2 | 0,2 | 0,5714 | -0,9 | -1,1 | 0,5711 | -1,2 | -0,3 | 0,5720 | -0,3 | 0,9 |
| **2015** | X | 2123,4625 | 13-4-2022 | 2123,4639 | 1,4 | 1,4 | 2123,4639 | 1,4 | 0,0 | 2123,4648 | 2,3 | 0,9 | 2123,4638 | 1,3 | -1,0 |
| | Y | 5000,4366 | 13-4-2022 | 5000,4363 | -0,3 | -0,3 | 5000,4361 | -0,5 | -0,2 | 5000,4370 | 0,4 | 0,9 | 5000,4346 | -2,0 | -2,4 |
| | Z | 0,6080 | 13-4-2022 | 0,6064 | -1,6 | -1,6 | 0,6066 | -1,4 | 0,2 | 0,6066 | -1,4 | 0,0 | 0,6073 | -0,7 | 0,7 |
| **2018** | X | 2137,8538 | 13-4-2022 | 2137,8546 | 0,8 | 0,8 | 2137,8547 | 0,9 | 0,1 | 2137,8488 | -5,0 | -5,9 | 2137,8526 | -1,2 | 3,8 |
| | Y | 5000,4380 | 13-4-2022 | 5000,4396 | 1,6 | 1,6 | 5000,4378 | -0,2 | -1,8 | 5000,4390 | 1,0 | 1,2 | 5000,4385 | 0,5 | -0,5 |
| | Z | 0,5653 | 13-4-2022 | 0,5671 | 1,8 | 1,8 | 0,5674 | 2,1 | 0,3 | 0,5682 | 2,9 | 0,8 | 0,5693 | 4,0 | 1,1 |
| **2022** | X | 2148,4653 | 13-4-2022 | 2148,4627 | -2,6 | -2,6 | 2148,4663 | 1,0 | 3,6 | 2148,4604 | -4,9 | -5,9 | 2148,4634 | -1,9 | 3,0 |
| | Y | 5000,5278 | 13-4-2022 | 5000,5284 | 0,6 | 0,6 | 5000,5255 | -2,3 | -2,9 | 5000,5264 | -1,4 | 0,9 | 5000,5245 | -3,3 | -1,9 |
| | Z | 0,6532 | 13-4-2022 | 0,6546 | 1,4 | 1,4 | 0,6531 | -0,1 | -1,5 | 0,6525 | -0,7 | -0,6 | 0,6538 | 0,6 | 1,3 |
| **2024** | X | 2157,4152 | 13-4-2022 | 2157,4142 | -1,0 | -1,0 | 2157,4176 | 2,4 | 3,4 | 2157,4174 | 2,2 | -0,2 | 2157,4161 | 0,9 | -1,3 |
| | Y | 5000,5518 | 13-4-2022 | 5000,5536 | 1,8 | 1,8 | 5000,5507 | -1,1 | -2,9 | 5000,5507 | -1,1 | 0,0 | 5000,5504 | -1,4 | -0,3 |
| | Z | 0,6399 | 13-4-2022 | 0,6414 | 1,5 | 1,5 | 0,6410 | 1,1 | -0,4 | 0,6409 | 1,0 | -0,1 | 0,6419 | 2,0 | 1,0 |
| **2025** | X | 2168,6313 | 13-4-2022 | 2168,6269 | -4,4 | -4,4 | 2168,6319 | 0,6 | 5,0 | 2168,6331 | 1,8 | 1,2 | 2168,6326 | 1,3 | -0,5 |
| | Y | 5000,6649 | 13-4-2022 | 5000,6705 | 5,6 | 5,6 | 5000,6644 | -0,5 | -6,1 | 5000,6648 | -0,1 | 0,4 | 5000,6636 | -1,3 | -1,2 |
| | Z | 0,7320 | 13-4-2022 | 0,7317 | -0,3 | -0,3 | 0,7311 | -0,9 | -0,6 | 0,7307 | -1,3 | -0,4 | 0,7317 | -0,3 | 1,0 |
| **2028** | X | 2173,0916 | 13-4-2022 | 2173,0952 | 3,6 | 3,6 | 2173,0940 | 2,4 | -1,2 | 2173,0926 | 1,0 | -1,4 | 2173,0909 | -0,7 | -1,7 |
| | Y | 5001,0844 | 13-4-2022 | 5001,0847 | 0,3 | 0,3 | 5001,0814 | -3,0 | -3,3 | 5001,0824 | -2,0 | 1,0 | 5001,0816 | -2,8 | -0,8 |
| | Z | 0,8637 | 13-4-2022 | 0,8652 | 1,5 | 1,5 | 0,8630 | -0,7 | -2,2 | 0,8628 | -0,9 | -0,2 | 0,8635 | -0,2 | 0,7 |
| **2030** | X | 2182,0844 | 13-4-2022 | 2182,0873 | 2,9 | 2,9 | 2182,0854 | 1,0 | -1,9 | 2182,0851 | 0,7 | -0,3 | 2182,0839 | -0,5 | -1,2 |
| | Y | 5000,1882 | 13-4-2022 | 5000,1882 | 0,0 | 0,0 | 5000,1850 | -3,2 | -3,2 | 5000,1852 | -3,0 | 0,2 | 5000,1841 | -4,1 | -1,1 |
| | Z | 1,2017 | 13-4-2022 | 1,2035 | 1,8 | 1,8 | 1,2023 | 0,6 | -1,2 | 1,2022 | 0,5 | -0,1 | 1,2033 | 1,6 | 1,1 |
| **2032** | X | 2190,3052 | 13-4-2022 | 2190,3061 | 0,9 | 0,9 | 2190,3036 | -1,6 | -2,5 | 2190,3056 | 0,4 | 2,0 | 2190,3039 | -1,3 | -1,7 |
| | Y | 5000,5924 | 13-4-2022 | 5000,5965 | 4,1 | 4,1 | 5000,5923 | -0,1 | -4,2 | 5000,5936 | 1,2 | 1,3 | 5000,5924 | 0,0 | -1,2 |
| | Z | 1,9506 | 13-4-2022 | 1,9512 | 0,6 | 0,6 | 1,9498 | -0,8 | -1,4 | 1,9500 | -0,6 | 0,2 | 1,9508 | 0,2 | 0,8 |
| **2033** | X | 2193,2365 | 13-4-2022 | 2193,2357 | -0,8 | -0,8 | 2193,2368 | 0,3 | 1,1 | 2193,2358 | -0,7 | -1,0 | 2193,2360 | -0,5 | 0,2 |
| | Y | 4998,3076 | 13-4-2022 | 4998,3107 | 3,1 | 3,1 | 4998,3079 | 0,3 | -2,8 | 4998,3088 | 1,2 | 0,9 | 4998,3089 | 1,3 | 0,1 |
| | Z | 2,3015 | 13-4-2022 | 2,3022 | 0,7 | 0,7 | 2,3013 | -0,2 | -0,9 | 2,3012 | -0,3 | -0,1 | 2,3019 | 0,4 | 0,7 |
| **2034** | X | 2195,9524 | 13-4-2022 | 2195,9517 | -0,7 | -0,7 | 2195,9522 | -0,2 | 0,5 | 2195,9519 | -0,5 | -0,3 | 2195,9515 | -0,9 | -0,4 |
| | Y | 4986,1137 | 13-4-2022 | 4986,1174 | 3,7 | 3,7 | 4986,1142 | 0,5 | -3,2 | 4986,1136 | -0,1 | -0,6 | 4986,1150 | 1,3 | 1,4 |
| | Z | 2,7373 | 13-4-2022 | 2,7379 | 0,6 | 0,6 | 2,7370 | -0,3 | -0,9 | 2,7368 | -0,5 | -0,2 | 2,7375 | 0,2 | 0,7 |
| **3004** | X | 2028,7830 | 13-4-2022 | 2028,7833 | 0,3 | 0,3 | 2028,7805 | -2,5 | -2,8 | 2028,7819 | -1,1 | 1,4 | 2028,7858 | 2,8 | 3,9 |
| | Y | 5004,3481 | 13-4-2022 | 5004,3472 | -0,9 | -0,9 | 5004,3469 | -1,2 | -0,3 | 5004,3458 | -2,3 | -1,1 | 5004,3483 | 0,2 | 2,5 |
| | Z | 0,9564 | 13-4-2022 | 0,9579 | 1,5 | 1,5 | 0,9555 | -0,9 | -2,4 | 0,9561 | -0,3 | 0,6 | 0,9558 | -0,6 | -0,3 |
| **3005** | X | 2039,2896 | 4-5-2022 | 2039,2896 | 0,0 | | 2039,2865 | -3,1 | -3,1 | 2039,2872 | -2,4 | 0,7 | 2039,2918 | 2,2 | 4,6 |
| | Y | 5004,2945 | 4-5-2022 | 5004,2945 | 0,0 | | 5004,2928 | -1,7 | -1,7 | 5004,2911 | -3,4 | -1,7 | 5004,2923 | -2,2 | 1,2 |
| | Z | 0,7362 | 4-5-2022 | 0,7362 | 0,0 | | 0,7321 | -4,1 | -4,1 | 0,7313 | -4,9 | -0,8 | 0,7307 | -5,5 | -0,6 |
| **3007** | X | 2050,7876 | 13-4-2022 | 2050,7893 | 1,7 | 1,7 | 2050,7862 | -1,4 | -3,1 | 2050,7868 | -0,8 | 0,6 | 2050,7911 | 3,5 | 4,3 |
| | Y | 5004,2455 | 13-4-2022 | 5004,2464 | 0,9 | 0,9 | 5004,2448 | -0,7 | -1,6 | 5004,2430 | -2,5 | -1,8 | 5004,2438 | -1,7 | 0,8 |
| | Z | 0,6984 | 13-4-2022 | 0,7016 | 3,2 | 3,2 | 0,6980 | -0,4 | -3,6 | 0,6963 | -2,1 | -1,7 | 0,6955 | -2,9 | -0,8 |
| **3008** | X | 2060,8004 | 13-4-2022 | 2060,8029 | 2,5 | 2,5 | 2060,8003 | -0,1 | -2,6 | 2060,8004 | 0,0 | 0,1 | 2060,8049 | 4,5 | 4,5 |
| | Y | 5004,2328 | 13-4-2022 | 5004,2345 | 1,7 | 1,7 | 5004,2321 | -0,7 | -2,4 | 5004,2320 | -0,8 | -0,1 | 5004,2341 | 1,3 | 2,1 |
| | Z | 0,7141 | 13-4-2022 | 0,7164 | 2,3 | 2,3 | 0,7134 | -0,7 | -3,0 | 0,7135 | -0,6 | 0,1 | 0,7127 | -1,4 | -0,8 |
| **3010** | X | 2071,6210 | 13-4-2022 | 2071,6204 | -0,6 | -0,6 | 2071,6208 | -0,2 | 0,4 | 2071,6215 | 0,5 | 0,7 | 2071,6216 | 0,6 | 0,1 |
| | Y | 5004,2554 | 13-4-2022 | 5004,2556 | 0,2 | 0,2 | 5004,2535 | -1,9 | -2,1 | 5004,2539 | -1,5 | 0,4 | 5004,2567 | 1,3 | 2,8 |
| | Z | 0,7117 | 13-4-2022 | 0,7138 | 2,1 | 2,1 | 0,7107 | -1,0 | -3,1 | 0,7109 | -0,8 | 0,2 | 0,7106 | -1,1 | -0,3 |
| **3012** | X | 2082,9321 | 13-4-2022 | 2082,9300 | -2,1 | -2,1 | 2082,9310 | -1,1 | 1,0 | 2082,9313 | -0,8 | 0,3 | 2082,9307 | -1,4 | -0,6 |
| | Y | 5004,3100 | 13-4-2022 | 5004,3113 | 1,3 | 1,3 | 5004,3088 | -1,2 | -2,5 | 5004,3088 | -1,2 | 0,0 | 5004,3111 | 1,1 | 2,3 |
| | Z | 0,7286 | 13-4-2022 | 0,7313 | 2,7 | 2,7 | 0,7279 | -0,7 | -3,4 | 0,7284 | -0,2 | 0,5 | 0,7284 | -0,2 | 0,0 |
| **3013** | X | 2097,9178 | 13-4-2022 | 2097,9163 | -1,5 | -1,5 | 2097,9187 | 0,9 | 2,4 | 2097,9188 | 1,0 | 0,1 | 2097,9174 | -0,4 | -1,4 |
| | Y | 5004,3053 | 13-4-2022 | 5004,3061 | 0,8 | 0,8 | 5004,3036 | -1,7 | -2,5 | 5004,3042 | -1,1 | 0,6 | 5004,3056 | 0,3 | 1,4 |
| | Z | 0,7445 | 13-4-2022 | 0,7461 | 1,6 | 1,6 | 0,7428 | -1,7 | -3,3 | 0,7425 | -2,0 | -0,3 | 0,7447 | 0,2 | 2,2 |
| **3014** | X | 2110,2775 | 13-4-2022 | 2110,2751 | -2,4 | -2,4 | 2110,2783 | 0,8 | 3,2 | 2110,2774 | -0,1 | -0,9 | 2110,2773 | -0,2 | -0,1 |
| | Y | 5004,3252 | 13-4-2022 | 5004,3262 | 1,0 | 1,0 | 5004,3225 | -2,7 | -3,7 | 5004,3244 | -0,8 | 1,9 | 5004,3260 | 0,8 | 1,6 |
| | Z | 0,7613 | 13-4-2022 | 0,7629 | 1,6 | 1,6 | 0,7601 | -1,2 | -2,8 | 0,7595 | -1,8 | -0,6 | 0,7620 | 0,7 | 2,5 |
| **3015** | X | 2123,5187 | 13-4-2022 | 2123,5178 | -0,9 | -0,9 | 2123,5195 | 0,8 | 1,7 | 2123,5184 | -0,3 | -1,1 | 2123,5206 | 1,9 | 2,2 |
| | Y | 5004,3458 | 13-4-2022 | 5004,3469 | 1,1 | 1,1 | 5004,3444 | -1,4 | -2,5 | 5004,3453 | -0,5 | 0,9 | 5004,3470 | 1,2 | 1,7 |
| | Z | 0,7702 | 13-4-2022 | 0,7711 | 0,9 | 0,9 | 0,7690 | -1,2 | -2,1 | 0,7679 | -2,3 | -1,1 | 0,7717 | 1,5 | 3,8 |
| **3018** | X | 2137,9870 | 13-4-2022 | 2137,9883 | 1,3 | 1,3 | 2137,9878 | 0,8 | -0,5 | 2137,9876 | 0,6 | -0,2 | 2137,9890 | 2,0 | 1,4 |
| | Y | 5004,3716 | 13-4-2022 | 5004,3714 | -0,2 | -0,2 | 5004,3698 | -1,8 | -1,6 | 5004,3709 | -0,7 | 1,1 | 5004,3722 | 0,6 | 1,3 |
| | Z | 0,7631 | 13-4-2022 | 0,7646 | 1,5 | 1,5 | 0,7621 | -1,0 | -2,5 | 0,7618 | -1,3 | -0,3 | 0,7644 | 1,3 | 2,6 |
| **3022** | X | 2148,5098 | 13-4-2022 | 2148,5117 | 1,9 | 1,9 | 2148,5116 | 1,8 | -0,1 | 2148,5110 | 1,2 | -0,6 | 2148,5126 | 2,8 | 1,6 |
| | Y | 5004,4094 | 13-4-2022 | 5004,4097 | 0,3 | 0,3 | 5004,4075 | -1,9 | -2,2 | 5004,4088 | -0,6 | 1,3 | 5004,4095 | 0,1 | 0,7 |
| | Z | 0,7536 | 13-4-2022 | 0,7548 | 1,2 | 1,2 | 0,7527 | -0,9 | -2,1 | 0,7525 | -1,1 | -0,2 | 0,7547 | 1,1 | 2,2 |
| **3024** | X | 2157,5009 | 13-4-2022 | 2157,5024 | 1,5 | 1,5 | 2157,5014 | 0,5 | -1,0 | 2157,5016 | 0,7 | 0,2 | 2157,5023 | 1,4 | 0,7 |
| | Y | 5004,4220 | 13-4-2022 | 5004,4238 | 1,8 | 1,8 | 5004,4211 | -0,9 | -2,7 | 5004,4221 | 0,1 | 1,0 | 5004,4223 | 0,3 | 0,2 |
| | Z | 0,8096 | 13-4-2022 | 0,8106 | 1,0 | 1,0 | 0,8089 | -0,7 | -1,7 | 0,8088 | -0,8 | -0,1 | 0,8105 | 0,9 | 1,7 |

**Opdrachtgever:** Mobilis
**Project:** Veiligheidsconstructie Singel SIN0401
**Onderdeel:** XYZ-deformatiemeting
**Projectnummer:** BR227122

73o6 15-11-2021

| Meetpunt | Richting | Nulmeting | Datum | 4-5-2022 | | HH1 | 10-5-2022 | | HH2 | 18-5-2022 | | HH3 | 24-5-2022 | | HH4 |
|---|---|---|---|---|---|---|---|---|---|---|---|---|---|---|---|
| | | HH0 | | HH1 | HH1-HH0 | HH1-HH0 | HH2 | HH2-HH0 | HH2-HH1 | HH3 | HH3-HH0 | HH3-HH2 | HH4 | HH4-HH0 | HH4-HH3 |
| | | [m] | | [m] | [mm] | [mm] | [m] | [mm] | [mm] | [m] | [mm] | [mm] | [m] | [mm] | [mm] |
| **3025** | X | 2168,5899 | 13-4-2022 | 2168,5916 | 1,7 | 1,7 | 2168,5906 | 0,7 | -1,0 | 2168,5903 | 0,4 | -0,3 | 2168,5919 | 2,0 | 1,6 |
| | Y | 5004,4446 | 13-4-2022 | 5004,4464 | 1,8 | 1,8 | 5004,4438 | -0,8 | -2,6 | 5004,4448 | 0,2 | 1,0 | 5004,4448 | 0,2 | 0,0 |
| | Z | 0,8318 | 13-4-2022 | 0,8327 | 0,9 | 0,9 | 0,8311 | -0,7 | -1,6 | 0,8312 | -0,6 | 0,1 | 0,8322 | 0,4 | 1,0 |
| **3028** | X | 2173,0913 | 13-4-2022 | 2173,0930 | 1,7 | 1,7 | 2173,0925 | 1,2 | -0,5 | 2173,0921 | 0,8 | -0,4 | 2173,0932 | 1,9 | 1,1 |
| | Y | 5004,4653 | 13-4-2022 | 5004,4674 | 2,1 | 2,1 | 5004,4647 | -0,6 | -2,7 | 5004,4653 | 0,0 | 0,6 | 5004,4654 | 0,1 | 0,1 |
| | Z | 0,9475 | 13-4-2022 | 0,9484 | 0,9 | 0,9 | 0,9472 | -0,3 | -1,2 | 0,9470 | -0,5 | -0,2 | 0,9481 | 0,6 | 1,1 |
| **3030** | X | 2182,3195 | 13-4-2022 | 2182,3212 | 1,7 | 1,7 | 2182,3203 | 0,8 | -0,9 | 2182,3197 | 0,2 | -0,6 | 2182,3211 | 1,6 | 1,4 |
| | Y | 5004,6277 | 13-4-2022 | 5004,6294 | 1,7 | 1,7 | 5004,6267 | -1,0 | -2,7 | 5004,6272 | -0,5 | 0,5 | 5004,6271 | -0,6 | -0,1 |
| | Z | 1,1575 | 13-4-2022 | 1,1580 | 0,5 | 0,5 | 1,1569 | -0,6 | -1,1 | 1,1566 | -0,9 | -0,3 | 1,1574 | -0,1 | 0,8 |
| **3032** | X | 2189,8898 | 13-4-2022 | 2189,8913 | 1,5 | 1,5 | 2189,8907 | 0,9 | -0,6 | 2189,8896 | -0,2 | -1,1 | 2189,8918 | 2,0 | 2,2 |
| | Y | 5004,3250 | 13-4-2022 | 5004,3277 | 2,7 | 2,7 | 5004,3261 | 1,1 | -1,6 | 5004,3267 | 1,7 | 0,6 | 5004,3262 | 1,2 | -0,5 |
| | Z | 1,5485 | 13-4-2022 | 1,5494 | 0,9 | 0,9 | 1,5484 | -0,1 | -1,0 | 1,5480 | -0,5 | -0,4 | 1,5488 | 0,3 | 0,8 |
| **3033** | X | 2194,5413 | 13-4-2022 | 2194,5403 | -1,0 | -1,0 | 2194,5412 | -0,1 | 0,9 | 2194,5408 | -0,5 | -0,4 | 2194,5414 | 0,1 | 0,6 |
| | Y | 4998,5807 | 13-4-2022 | 4998,5845 | 3,8 | 3,8 | 4998,5815 | 0,8 | -3,0 | 4998,5829 | 2,2 | 1,4 | 4998,5831 | 2,4 | 0,2 |
| | Z | 2,2006 | 13-4-2022 | 2,2012 | 0,6 | 0,6 | 2,2003 | -0,3 | -0,9 | 2,2002 | -0,4 | -0,1 | 2,2006 | 0,0 | 0,4 |
| **3034** | X | 2197,3031 | 13-4-2022 | | | | 2197,3029 | -0,2 | -0,2 | 2197,3031 | 0,0 | 0,2 | 2197,3015 | -1,6 | -1,6 |
| | Y | 4986,5213 | 13-4-2022 | | | | 4986,5204 | -0,9 | -0,9 | 4986,5224 | 1,1 | 2,0 | 4986,5214 | 0,1 | -1,0 |
| | Z | 2,6293 | 13-4-2022 | | | | 2,6287 | -0,6 | -0,6 | 2,6284 | -0,9 | -0,3 | 2,6291 | -0,2 | 0,7 |
| **3035** | X | 2201,0654 | 13-4-2022 | 2201,0638 | -1,6 | -1,6 | 2201,0651 | -0,3 | 1,3 | 2201,0655 | 0,1 | 0,4 | 2201,0630 | -2,4 | -2,5 |
| | Y | 5004,2799 | 13-4-2022 | 5004,2823 | 2,4 | 2,4 | 5004,2794 | -0,5 | -2,9 | 5004,2832 | 3,3 | 3,8 | 5004,2813 | 1,4 | -1,9 |
| | Z | 2,1186 | 13-4-2022 | 2,1194 | 0,8 | 0,8 | 2,1183 | -0,3 | -1,1 | 2,1164 | -2,2 | -1,9 | 2,1192 | 0,6 | 2,8 |
| **4004** | X | 2028,8916 | 13-4-2022 | 2028,8921 | 0,5 | 0,5 | 2028,8891 | -2,5 | -3,0 | 2028,8904 | -1,2 | 1,3 | 2028,8943 | 2,7 | 3,9 |
| | Y | 5007,7166 | 13-4-2022 | 5007,7156 | -1,0 | -1,0 | 5007,7159 | -0,7 | 0,3 | 5007,7157 | -0,9 | -0,2 | 5007,7170 | 0,4 | 1,3 |
| | Z | 1,0212 | 13-4-2022 | 1,0227 | 1,5 | 1,5 | 1,0209 | -0,3 | -1,8 | 1,0211 | -0,1 | 0,2 | 1,0209 | -0,3 | -0,2 |
| **4005** | X | 2039,2085 | 13-4-2022 | 2039,2117 | 3,2 | 3,2 | 2039,2087 | 0,2 | -3,0 | 2039,2096 | 1,1 | 0,9 | 2039,2141 | 5,6 | 4,5 |
| | Y | 5007,6566 | 13-4-2022 | 5007,6549 | -1,7 | -1,7 | 5007,6538 | -2,8 | -1,1 | 5007,6528 | -3,8 | -1,0 | 5007,6537 | -2,9 | 0,9 |
| | Z | 0,8171 | 13-4-2022 | 0,8236 | 6,5 | 6,5 | 0,8207 | 3,6 | -2,9 | 0,8203 | 3,2 | -0,4 | 0,8197 | 2,6 | -0,6 |
| **4007** | X | 2051,0137 | 13-4-2022 | 2051,0153 | 1,6 | 1,6 | 2051,0125 | -1,2 | -2,8 | 2051,0128 | -0,9 | 0,3 | 2051,0165 | 2,8 | 3,7 |
| | Y | 5007,6401 | 13-4-2022 | 5007,6403 | 0,2 | 0,2 | 5007,6400 | -0,1 | -0,3 | 5007,6387 | -1,4 | -1,3 | 5007,6388 | -1,3 | 0,1 |
| | Z | 0,7790 | 13-4-2022 | 0,7813 | 2,3 | 2,3 | 0,7783 | -0,7 | -3,0 | 0,7779 | -1,1 | -0,4 | 0,7771 | -1,9 | -0,8 |
| **4008** | X | 2061,0186 | 13-4-2022 | 2061,0204 | 1,8 | 1,8 | 2061,0179 | -0,7 | -2,5 | 2061,0183 | -0,3 | 0,4 | 2061,0226 | 4,0 | 4,3 |
| | Y | 5007,6489 | 13-4-2022 | 5007,6491 | 0,2 | 0,2 | 5007,6483 | -0,6 | -0,8 | 5007,6487 | -0,2 | 0,4 | 5007,6498 | 0,9 | 1,1 |
| | Z | 0,7852 | 13-4-2022 | 0,7877 | 2,5 | 2,5 | 0,7845 | -0,7 | -3,2 | 0,7850 | -0,2 | 0,5 | 0,7844 | -0,8 | -0,6 |
| **4010** | X | 2071,8163 | 13-4-2022 | 2071,8149 | -1,4 | -1,4 | 2071,8161 | -0,2 | 1,2 | 2071,8164 | 0,1 | 0,3 | 2071,8166 | 0,3 | 0,2 |
| | Y | 5007,6696 | 13-4-2022 | 5007,6704 | 0,8 | 0,8 | 5007,6691 | -0,5 | -1,3 | 5007,6702 | 0,6 | 1,1 | 5007,6718 | 2,2 | 1,6 |
| | Z | 0,8164 | 13-4-2022 | 0,8190 | 2,6 | 2,6 | 0,8158 | -0,6 | -3,2 | 0,8162 | -0,2 | 0,4 | 0,8157 | -0,7 | -0,5 |
| **4012** | X | 2083,1330 | 13-4-2022 | 2083,1310 | -2,0 | -2,0 | 2083,1324 | -0,6 | 1,4 | 2083,1324 | -0,6 | 0,0 | 2083,1332 | 0,2 | 0,8 |
| | Y | 5007,6512 | 13-4-2022 | 5007,6521 | 0,9 | 0,9 | 5007,6507 | -0,5 | -1,4 | 5007,6513 | 0,1 | 0,6 | 5007,6518 | 0,6 | 0,5 |
| | Z | 0,8547 | 13-4-2022 | 0,8570 | 2,3 | 2,3 | 0,8539 | -0,8 | -3,1 | 0,8543 | -0,4 | 0,4 | 0,8538 | -0,9 | -0,5 |
| **4013** | X | 2097,8458 | 13-4-2022 | 2097,8437 | -2,1 | -2,1 | 2097,8459 | 0,1 | 2,2 | 2097,8461 | 0,3 | 0,2 | 2097,8448 | -1,0 | -1,3 |
| | Y | 5007,6548 | 13-4-2022 | 5007,6555 | 0,7 | 0,7 | 5007,6536 | -1,2 | -1,9 | 5007,6552 | 0,4 | 1,6 | 5007,6574 | 2,6 | 2,2 |
| | Z | 0,8524 | 13-4-2022 | 0,8541 | 1,7 | 1,7 | 0,8509 | -1,5 | -3,2 | 0,8512 | -1,2 | 0,3 | 0,8525 | 0,1 | 1,3 |
| **4014** | X | 2110,1987 | 13-4-2022 | 2110,1962 | -2,5 | -2,5 | 2110,2002 | 1,5 | 4,0 | 2110,1990 | 0,3 | -1,2 | 2110,1995 | 0,8 | 0,5 |
| | Y | 5007,6355 | 13-4-2022 | 5007,6364 | 0,9 | 0,9 | 5007,6338 | -1,7 | -2,6 | 5007,6355 | 0,0 | 1,7 | 5007,6379 | 2,4 | 2,4 |
| | Z | 0,8704 | 13-4-2022 | 0,8718 | 1,4 | 1,4 | 0,8691 | -1,3 | -2,7 | 0,8691 | -1,3 | 0,0 | 0,8711 | 0,7 | 2,0 |
| **4015** | X | 2123,4229 | 13-4-2022 | 2123,4222 | -0,7 | -0,7 | 2123,4239 | 1,0 | 1,7 | 2123,4229 | 0,0 | -1,0 | 2123,4236 | 0,7 | 0,7 |
| | Y | 5007,6270 | 13-4-2022 | 5007,6269 | -0,1 | -0,1 | 5007,6251 | -1,9 | -1,8 | 5007,6265 | -0,5 | 1,4 | 5007,6285 | 1,5 | 2,0 |
| | Z | 0,8977 | 13-4-2022 | 0,8988 | 1,1 | 1,1 | 0,8970 | -0,7 | -1,8 | 0,8965 | -1,2 | -0,5 | 0,8997 | 2,0 | 3,2 |
| **4018** | X | 2137,8767 | 13-4-2022 | 2137,8783 | 1,6 | 1,6 | 2137,8783 | 1,6 | 0,0 | 2137,8780 | 1,3 | -0,3 | 2137,8794 | 2,7 | 1,4 |
| | Y | 5007,6786 | 13-4-2022 | 5007,6783 | -0,3 | -0,3 | 5007,6772 | -1,4 | -1,1 | 5007,6782 | -0,4 | 1,0 | 5007,6804 | 1,8 | 2,2 |
| | Z | 0,8848 | 13-4-2022 | 0,8862 | 1,4 | 1,4 | 0,8843 | -0,5 | -1,9 | 0,8843 | -0,5 | 0,0 | 0,8865 | 1,7 | 2,2 |
| **4022** | X | 2148,7071 | 13-4-2022 | 2148,7093 | 2,2 | 2,2 | 2148,7090 | 1,9 | -0,3 | 2148,7087 | 1,6 | -0,3 | 2148,7103 | 3,2 | 1,6 |
| | Y | 5007,7204 | 13-4-2022 | 5007,7202 | -0,2 | -0,2 | 5007,7190 | -1,4 | -1,2 | 5007,7199 | -0,5 | 0,9 | 5007,7215 | 1,1 | 1,6 |
| | Z | 0,8941 | 13-4-2022 | 0,8955 | 1,4 | 1,4 | 0,8937 | -0,4 | -1,8 | 0,8936 | -0,5 | -0,1 | 0,8956 | 1,5 | 2,0 |
| **4024** | X | 2157,6964 | 13-4-2022 | 2157,6983 | 1,9 | 1,9 | 2157,6978 | 1,4 | -0,5 | 2157,6974 | 1,0 | -0,4 | 2157,6987 | 2,3 | 1,3 |
| | Y | 5007,7477 | 13-4-2022 | 5007,7479 | 0,2 | 0,2 | 5007,7461 | -1,6 | -1,8 | 5007,7477 | 0,0 | 1,6 | 5007,7490 | 1,3 | 1,3 |
| | Z | 0,9145 | 13-4-2022 | 0,9157 | 1,2 | 1,2 | 0,9138 | -0,7 | -1,9 | 0,9138 | -0,7 | 0,0 | 0,9155 | 1,0 | 1,7 |
| **4025** | X | 2168,7828 | 13-4-2022 | 2168,7838 | 1,0 | 1,0 | 2168,7836 | 0,8 | -0,2 | 2168,7831 | 0,3 | -0,5 | 2168,7849 | 2,1 | 1,8 |
| | Y | 5007,7477 | 13-4-2022 | 5007,7486 | 0,9 | 0,9 | 5007,7470 | -0,7 | -1,6 | 5007,7480 | 0,3 | 1,0 | 5007,7488 | 1,1 | 0,8 |
| | Z | 0,9202 | 13-4-2022 | 0,9209 | 0,7 | 0,7 | 0,9193 | -0,9 | -1,6 | 0,9194 | -0,8 | 0,1 | 0,9207 | 0,5 | 1,3 |
| **4028** | X | 2173,2275 | 13-4-2022 | 2173,2291 | 1,6 | 1,6 | 2173,2289 | 1,4 | -0,2 | 2173,2285 | 1,0 | -0,4 | 2173,2300 | 2,5 | 1,5 |
| | Y | 5007,7644 | 13-4-2022 | 5007,7655 | 1,1 | 1,1 | 5007,7637 | -0,7 | -1,8 | 5007,7649 | 0,5 | 1,2 | 5007,7656 | 1,2 | 0,7 |
| | Z | 0,9910 | 13-4-2022 | 0,9919 | 0,9 | 0,9 | 0,9903 | -0,7 | -1,6 | 0,9905 | -0,5 | 0,2 | 0,9916 | 0,6 | 1,1 |
| **4030** | X | 2182,1660 | 13-4-2022 | 2182,1677 | 1,7 | 1,7 | 2182,1667 | 0,7 | -1,0 | 2182,1664 | 0,4 | -0,3 | 2182,1682 | 2,2 | 1,8 |
| | Y | 5007,9454 | 13-4-2022 | 5007,9461 | 0,7 | 0,7 | 5007,9447 | -0,7 | -1,4 | 5007,9452 | -0,2 | 0,5 | 5007,9456 | 0,2 | 0,4 |
| | Z | 1,2189 | 13-4-2022 | 1,2193 | 0,4 | 0,4 | 1,2181 | -0,8 | -1,2 | 1,2178 | -1,1 | -0,3 | 1,2188 | -0,1 | 1,0 |
| **4032** | X | 2189,2689 | 13-4-2022 | 2189,2700 | 1,1 | 1,1 | 2189,2696 | 0,7 | -0,4 | 2189,2692 | 0,3 | -0,4 | 2189,2709 | 2,0 | 1,7 |
| | Y | 5008,6436 | 13-4-2022 | 5008,6449 | 1,3 | 1,3 | 5008,6437 | 0,1 | -1,2 | 5008,6441 | 0,5 | 0,4 | 5008,6437 | 0,1 | -0,4 |
| | Z | 1,4867 | 13-4-2022 | 1,4871 | 0,4 | 0,4 | 1,4858 | -0,9 | -1,3 | 1,4855 | -1,2 | -0,3 | 1,4865 | -0,2 | 1,0 |
| **4033** | X | 2200,3896 | 13-4-2022 | 2200,3884 | -1,2 | -1,2 | 2200,3904 | 0,8 | 2,0 | 2200,3901 | 0,5 | -0,3 | 2200,3897 | 0,1 | -0,4 |
| | Y | 4999,7182 | 13-4-2022 | 4999,7217 | 3,5 | 3,5 | 4999,7186 | 0,4 | -3,1 | 4999,7203 | 2,1 | 1,7 | 4999,7211 | 2,9 | 0,8 |
| | Z | 2,1557 | 13-4-2022 | 2,1562 | 0,5 | 0,5 | 2,1552 | -0,5 | -1,0 | 2,1550 | -0,7 | -0,2 | 2,1555 | -0,2 | 0,5 |

**Opdrachtgever:** Mobilis
**Project:** Veiligheidsconstructie Singel SIN0401
**Onderdeel:** XYZ-deformatiemeting
**Projectnummer:** BR227122

73o6 15-11-2021

| Meetpunt | Richting | Nulmeting | Datum | 4-5-2022 | | HH1 | 10-5-2022 | | HH2 | 18-5-2022 | | HH3 | 24-5-2022 | | HH4 |
|---|---|---|---|---|---|---|---|---|---|---|---|---|---|---|---|
| | | HH0 | | HH1 | HH1-HH0 | HH1-HH0 | HH2 | HH2-HH0 | HH2-HH1 | HH3 | HH3-HH0 | HH3-HH2 | HH4 | HH4-HH0 | HH4-HH3 |
| | | [m] | | [m] | [mm] | [mm] | [m] | [mm] | [mm] | [m] | [mm] | [mm] | [m] | [mm] | [mm] |
| **4034** | X | 2202,8643 | 13-4-2022 | 2202,8637 | -0,6 | -0,6 | 2202,8645 | 0,2 | 0,8 | 2202,8658 | 1,5 | 1,3 | 2202,8638 | -0,5 | -2,0 |
| | Y | 4987,6956 | 13-4-2022 | 4987,6992 | 3,6 | 3,6 | 4987,6950 | -0,6 | -4,2 | 4987,6971 | 1,5 | 2,1 | 4987,6984 | 2,8 | 1,3 |
| | Z | 2,6432 | 13-4-2022 | 2,6434 | 0,2 | 0,2 | 2,6424 | -0,8 | -1,0 | 2,6422 | -1,0 | -0,2 | 2,6429 | -0,3 | 0,7 |
| **4035** | X | 2200,9774 | 13-4-2022 | 2200,9758 | -1,6 | -1,6 | 2200,9778 | 0,4 | 2,0 | 2200,9771 | -0,3 | -0,7 | 2200,9759 | -1,5 | -1,2 |
| | Y | 5010,3917 | 13-4-2022 | 5010,3941 | 2,4 | 2,4 | 5010,3911 | -0,6 | -3,0 | 5010,3921 | 0,4 | 1,0 | 5010,3899 | -1,8 | -2,2 |
| | Z | 2,0431 | 13-4-2022 | 2,0437 | 0,6 | 0,6 | 2,0429 | -0,2 | -0,8 | 2,0428 | -0,3 | -0,1 | 2,0431 | 0,0 | 0,3 |
| **5001** | X | 2057,9703 | 13-4-2022 | 2057,9727 | 2,4 | 2,4 | 2057,9700 | -0,3 | -2,7 | 2057,9705 | 0,2 | 0,5 | 2057,9746 | 4,3 | 4,1 |
| | Y | 5005,6218 | 13-4-2022 | 5005,6228 | 1,0 | 1,0 | 5005,6211 | -0,7 | -1,7 | 5005,6210 | -0,8 | -0,1 | 5005,6221 | 0,3 | 1,1 |
| | Z | 0,7378 | 13-4-2022 | 0,7402 | 2,4 | 2,4 | 0,7368 | -1,0 | -3,4 | 0,7369 | -0,9 | 0,1 | 0,7361 | -1,7 | -0,8 |
| **5002** | X | 2110,1112 | 13-4-2022 | 2110,1093 | -1,9 | -1,9 | 2110,1124 | 1,2 | 3,1 | 2110,1123 | 1,1 | -0,1 | | | |
| | Y | 5006,0307 | 13-4-2022 | 5006,0319 | 1,2 | 1,2 | 5006,0284 | -2,3 | -3,5 | 5006,0295 | -1,2 | 1,1 | | | |
| | Z | 0,8025 | 13-4-2022 | 0,8038 | 1,3 | 1,3 | 0,8013 | -1,2 | -2,5 | 0,7997 | -2,8 | -1,6 | | | |
| **5003** | X | 2176,2661 | 13-4-2022 | 2176,2677 | 1,6 | 1,6 | 2176,2671 | 1,0 | -0,6 | 2176,2669 | 0,8 | -0,2 | 2176,2686 | 2,5 | 1,7 |
| | Y | 5007,1525 | 13-4-2022 | 5007,1541 | 1,6 | 1,6 | 5007,1521 | -0,4 | -2,0 | 5007,1532 | 0,7 | 1,1 | 5007,1538 | 1,3 | 0,6 |
| | Z | 0,9450 | 13-4-2022 | 0,9457 | 0,7 | 0,7 | 0,9444 | -0,6 | -1,3 | 0,9442 | -0,8 | -0,2 | 0,9454 | 0,4 | 1,2 |

**Opdrachtgever:** Mobilis
**Project:** Veiligheidsconstructie Singel SIN0401
**Onderdeel:** XYZ-deformatiemeting
**Projectnummer:** BR227122

BouwRisk

73o6 15-11-2021

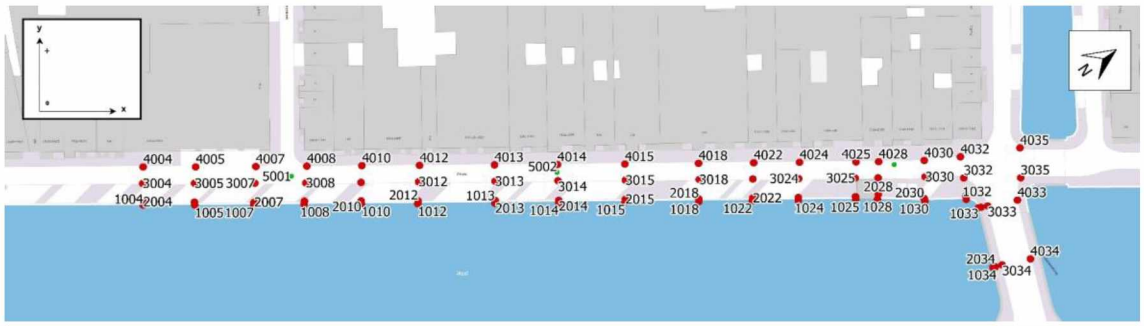


| Verschil t.o.v. nulmeting, X-richting in [mm] | | | | | | | | | | | | | |
|---|---|---|---|---|---|---|---|---|---|---|---|---|---|
| X-X0 | 1004 | 1005 | 1007 | 1008 | 1010 | 1012 | 1013 | 1014 | 1015 | 1018 | 1022 | 1024 | Opmerking |
| afstand = | 0,0 | 10,1 | 21,7 | 31,6 | 42,8 | 53,9 | 69,0 | 81,5 | 94,6 | 109,0 | 119,5 | 128,6 | |
| 13-4-2022 | 0,0 | 0,0 | 0,0 | 0,0 | 0,0 | 0,0 | 0,0 | 0,0 | 0,0 | 0,0 | 0,0 | 0,0 | |
| 4-5-2022 | 1,7 | 2,4 | 2,1 | -3,5 | -4,1 | -3,8 | 2,5 | 1,6 | 2,0 | 1,4 | -1,9 | -2,0 | |
| 10-5-2022 | 0,4 | 3,5 | 4,1 | -3,7 | -3,3 | -3,0 | -2,8 | -1,0 | 2,2 | 2,0 | 1,6 | 2,0 | |
| 18-5-2022 | -1,3 | -1,7 | 0,9 | 0,4 | 0,5 | 1,3 | 1,8 | 2,1 | 3,3 | -2,0 | -4,5 | 2,1 | |
| 24-5-2022 | 3,1 | 4,5 | -0,8 | -1,8 | 1,6 | 1,4 | 5,4 | 1,4 | 1,8 | -0,8 | -2,2 | 0,5 | |

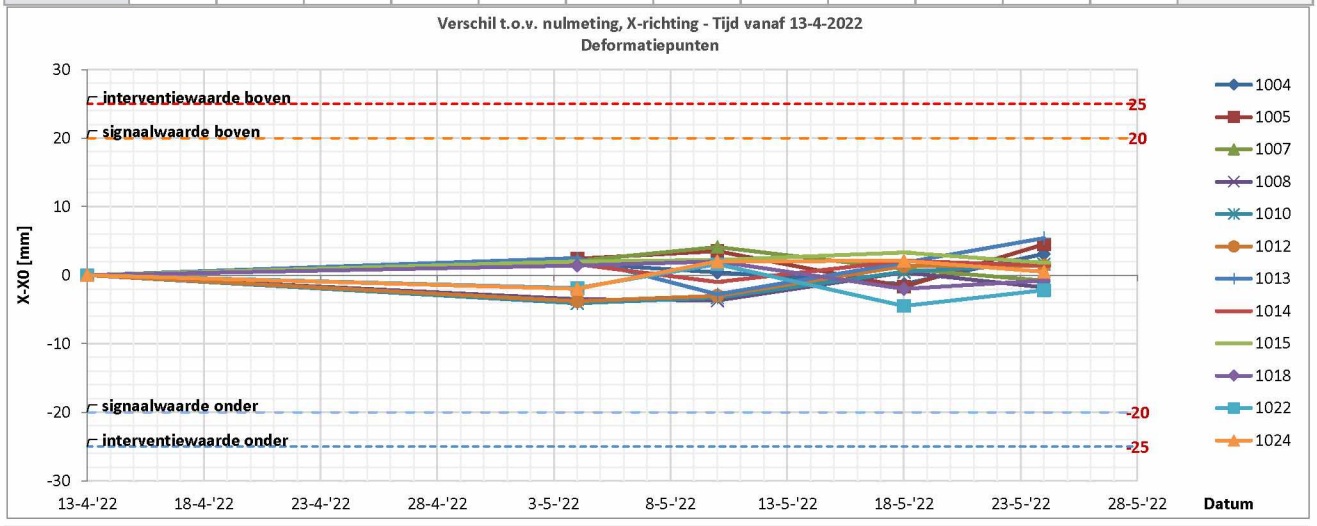


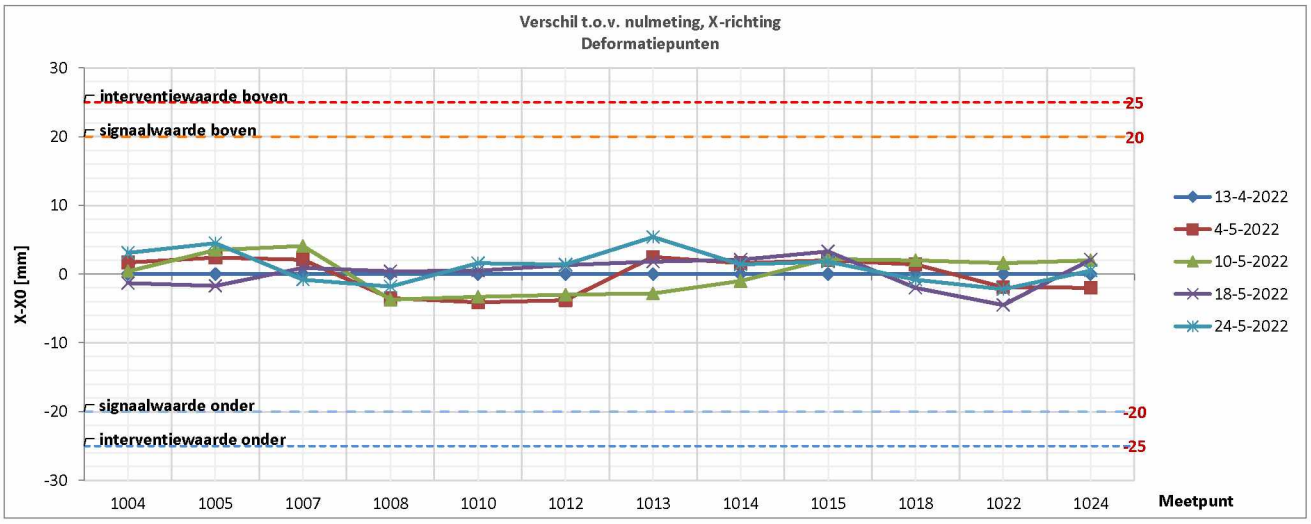

**Opdrachtgever:** Mobilis
**Project:** Veiligheidsconstructie Singel SIN0401
**Onderdeel:** XYZ-deformatiemeting
**Projectnummer:** BR227122

BouwRisk

73o6 15-11-2021

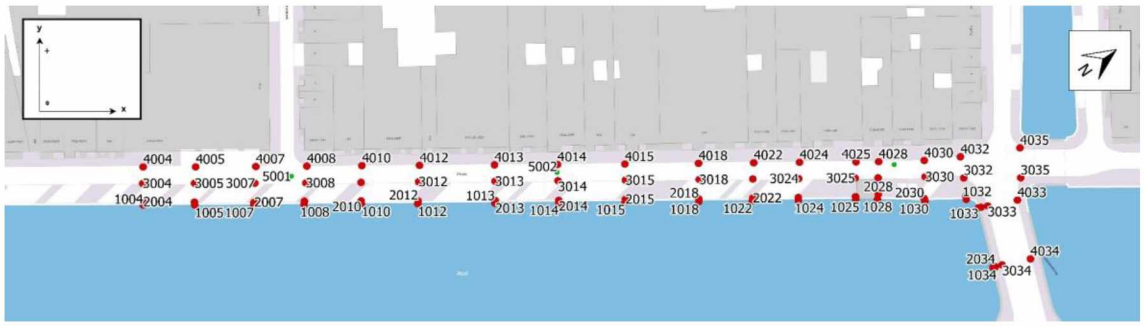


| Verschil t.o.v. nulmeting, Y-richting in [mm] | | | | | | | | | | | | | |
|---|---|---|---|---|---|---|---|---|---|---|---|---|---|
| Y-Y0 | 1004 | 1005 | 1007 | 1008 | 1010 | 1012 | 1013 | 1014 | 1015 | 1018 | 1022 | 1024 | Opmerking |
| afstand = | 0,0 | 10,1 | 21,7 | 31,6 | 42,8 | 53,9 | 69,0 | 81,5 | 94,6 | 109,0 | 119,5 | 128,6 | |
| 13-4-2022 | 0,0 | 0,0 | 0,0 | 0,0 | 0,0 | 0,0 | 0,0 | 0,0 | 0,0 | 0,0 | 0,0 | 0,0 | |
| 4-5-2022 | -1,0 | -1,7 | -0,3 | 2,3 | 3,2 | 3,6 | -2,3 | -0,6 | 5,0 | 2,3 | 3,0 | 2,4 | |
| 10-5-2022 | -1,8 | -0,9 | -1,3 | -2,3 | -0,2 | -1,5 | -2,0 | -1,0 | 0,5 | 0,1 | -0,4 | 0,0 | |
| 18-5-2022 | -1,2 | -5,0 | -3,4 | -1,2 | 1,3 | 0,8 | -0,4 | 1,4 | 1,9 | 2,7 | 1,0 | 0,2 | |
| 24-5-2022 | -2,6 | -6,4 | -4,3 | -3,9 | 1,1 | -1,3 | -2,7 | -0,2 | -0,6 | -0,3 | -1,0 | -0,7 | |

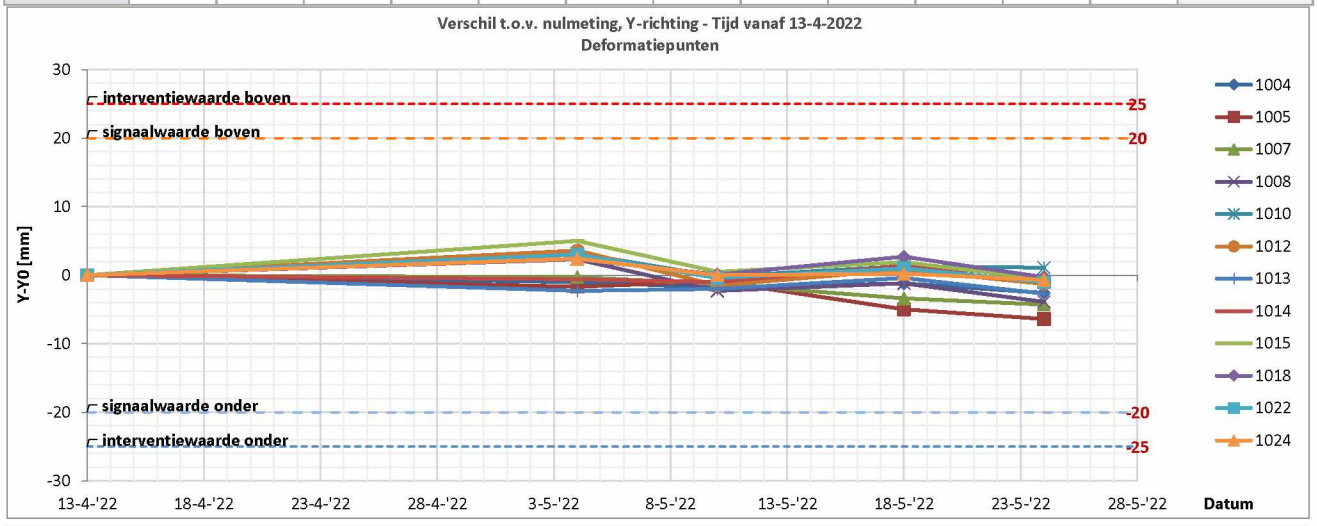


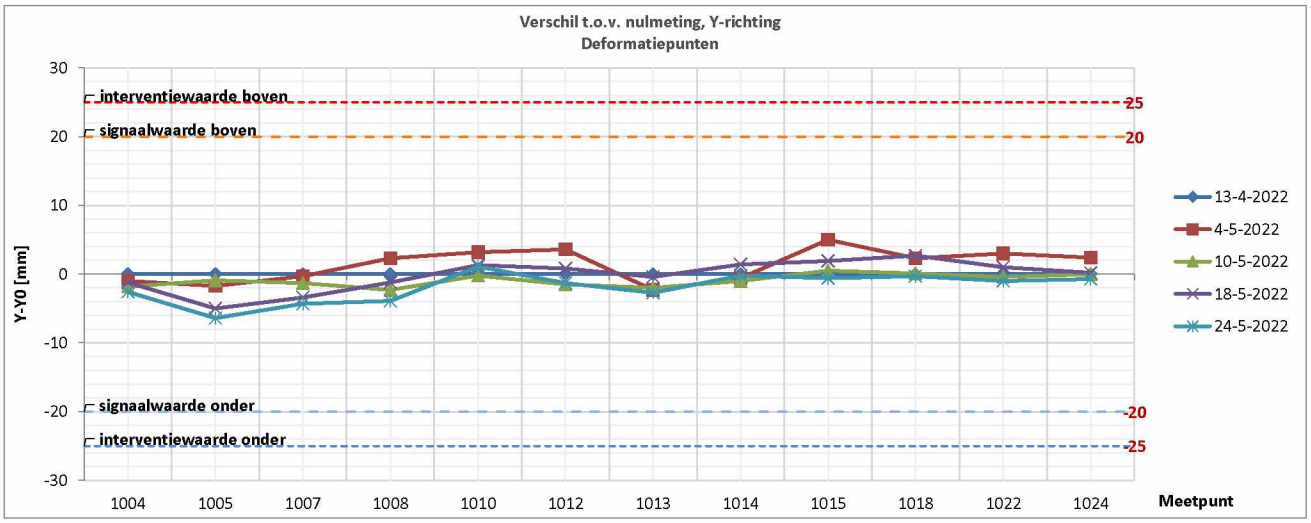

**Opdrachtgever:** Mobilis
**Project:** Veiligheidsconstructie Singel SIN0401
**Onderdeel:** XYZ-deformatiemeting
**Projectnummer:** BR227122

BouwRisk

73o6 15-11-2021

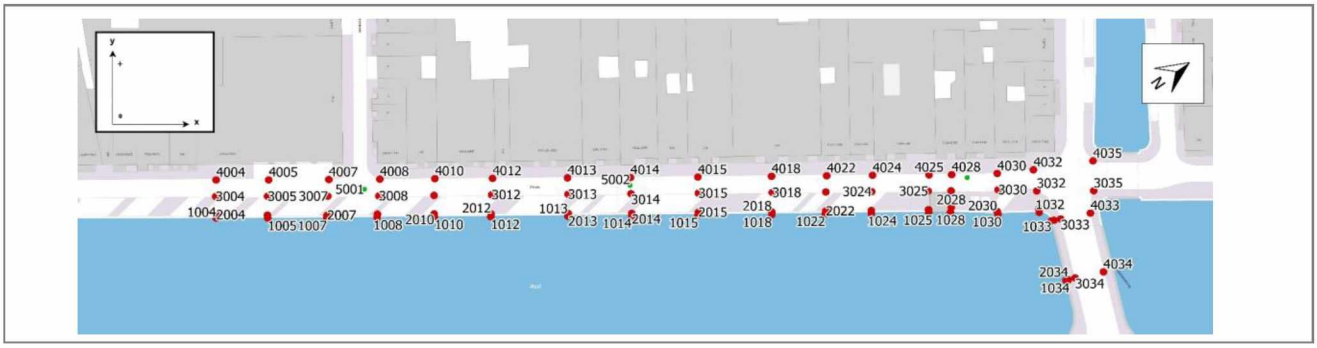


| Verschil t.o.v. nulmeting, Z-richting in [mm] | | | | | | | | | | | | | |
|---|---|---|---|---|---|---|---|---|---|---|---|---|---|
| Z-Z0 | 1004 | 1005 | 1007 | 1008 | 1010 | 1012 | 1013 | 1014 | 1015 | 1018 | 1022 | 1024 | Opmerking |
| afstand = | 0,0 | 10,1 | 21,7 | 31,6 | 42,8 | 53,9 | 69,0 | 81,5 | 94,6 | 109,0 | 119,5 | 128,6 | |
| 13-4-2022 | 0,0 | 0,0 | 0,0 | 0,0 | 0,0 | 0,0 | 0,0 | 0,0 | 0,0 | 0,0 | 0,0 | 0,0 | |
| 4-5-2022 | 1,8 | 1,4 | 2,0 | 2,9 | 2,2 | 2,0 | 0,2 | 0,0 | -0,4 | 0,4 | 0,1 | 0,2 | |
| 10-5-2022 | -0,2 | -1,1 | -0,1 | 0,8 | -0,4 | 0,0 | -0,5 | -1,1 | -0,6 | 1,6 | -0,7 | 0,2 | |
| 18-5-2022 | -0,2 | -5,0 | -5,5 | -0,4 | -0,7 | -0,7 | -1,2 | -0,8 | -0,9 | 2,4 | -1,3 | 0,1 | |
| 24-5-2022 | -1,5 | -6,5 | -7,2 | -2,5 | -1,5 | -1,7 | -1,5 | -1,2 | -1,1 | 2,5 | -0,6 | 0,5 | |

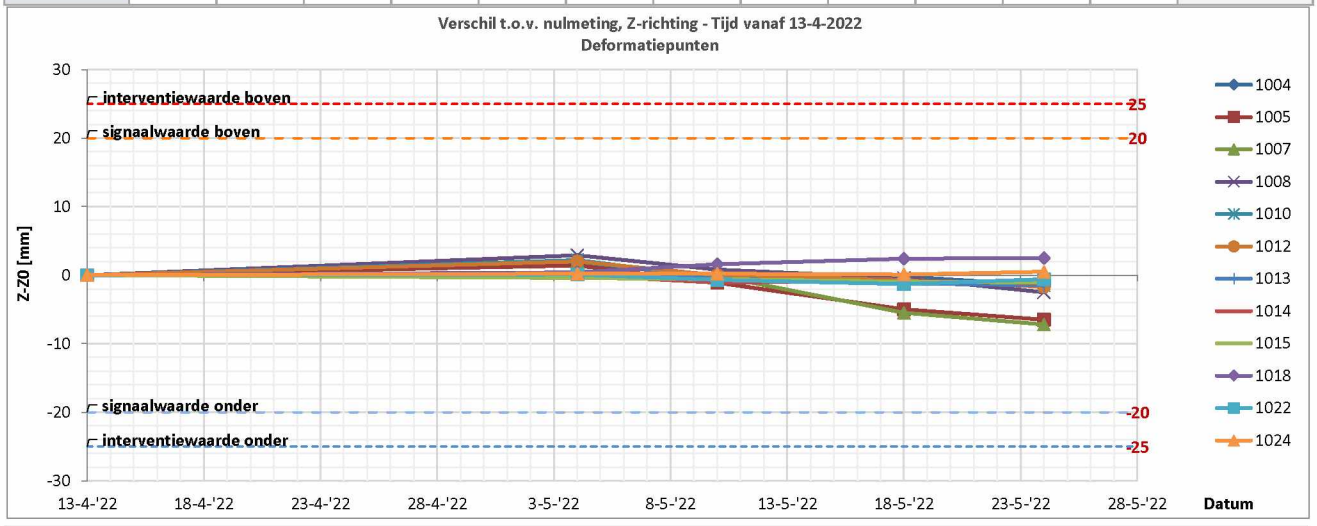


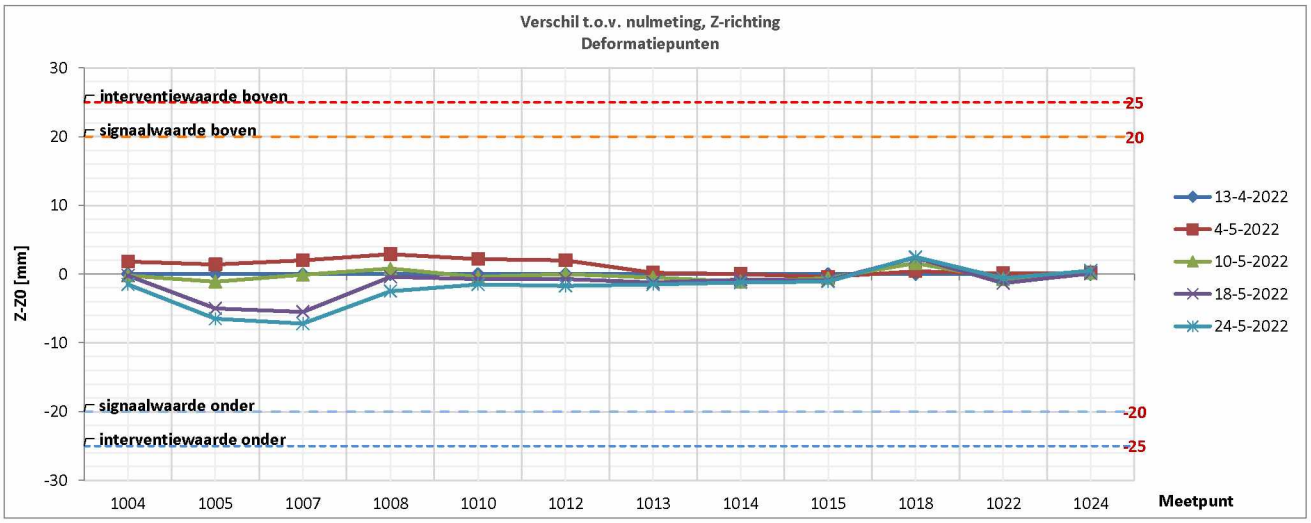

**Opdrachtgever:** Mobilis
**Project:** Veiligheidsconstructie Singel SIN0401
**Onderdeel:** XYZ-deformatiemeting
**Projectnummer:** BR227122

BouwRisk



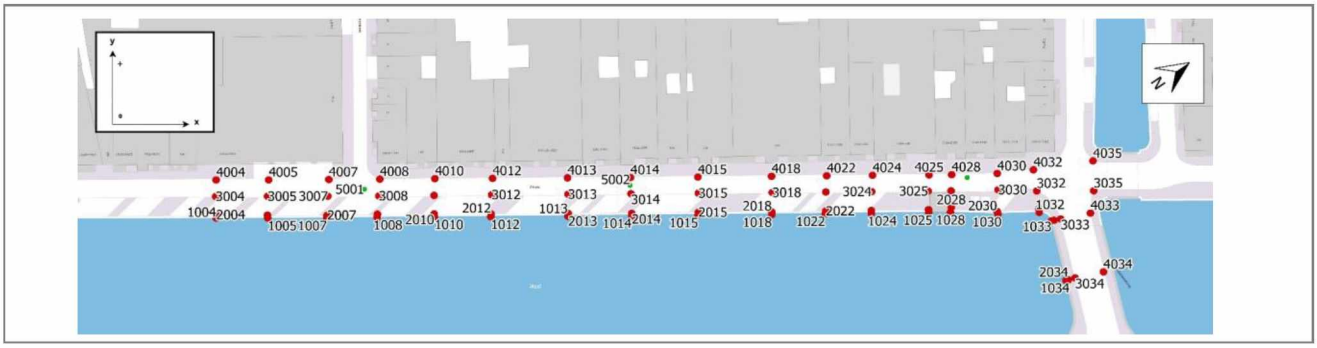


| Verschil t.o.v. nulmeting, X-richting in [mm] | | | | | | | | | | | | | Opmerking |
|---|---|---|---|---|---|---|---|---|---|---|---|---|---|
| X-X0 | 1025 | 1028 | 1030 | | | | | | | | | | |
| afstand = | 0,0 | 4,3 | 13,6 | | | | | | | | | | |
| 13-4-2022 | 0,0 | 0,0 | 0,0 | | | | | | | | | | |
| 4-5-2022 | -1,1 | 2,7 | 2,2 | | | | | | | | | | |
| 10-5-2022 | 2,0 | 0,5 | 0,9 | | | | | | | | | | |
| 18-5-2022 | 2,7 | 0,6 | 0,6 | | | | | | | | | | |
| 24-5-2022 | 1,9 | -0,3 | -0,6 | | | | | | | | | | |

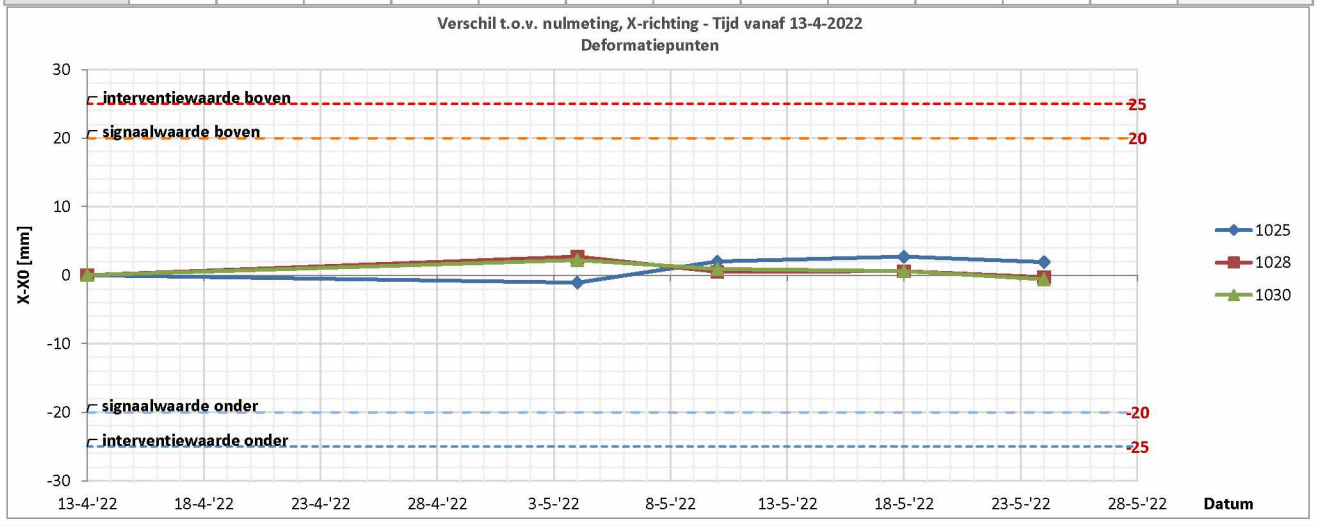


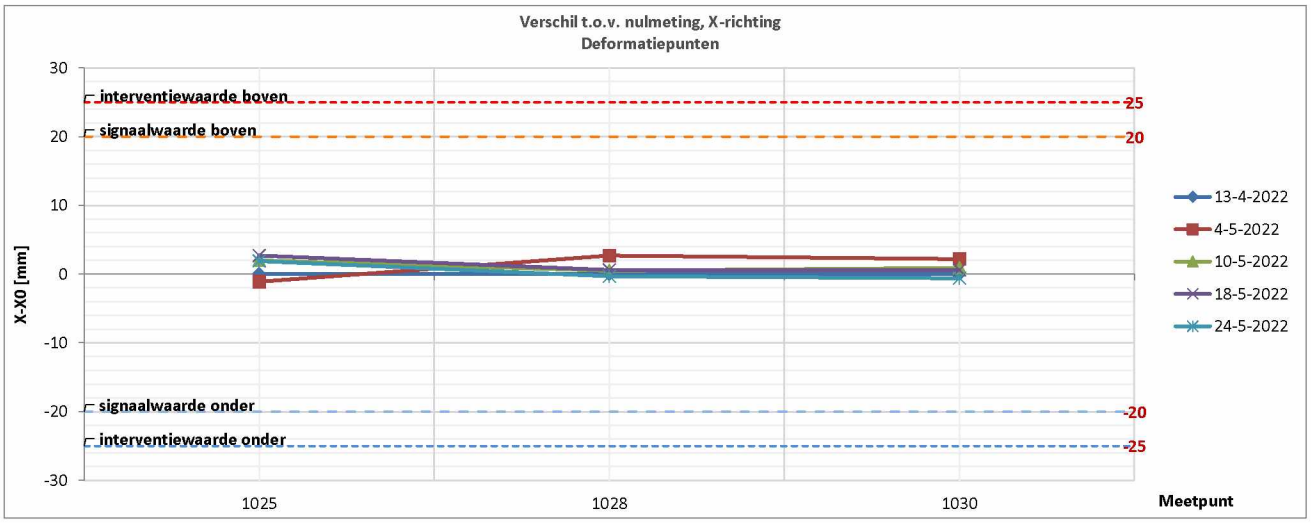

**Opdrachtgever:** Mobilis
**Project:** Veiligheidsconstructie Singel SIN0401
**Onderdeel:** XYZ-deformatiemeting
**Projectnummer:** BR227122

73o6 15-11-2021

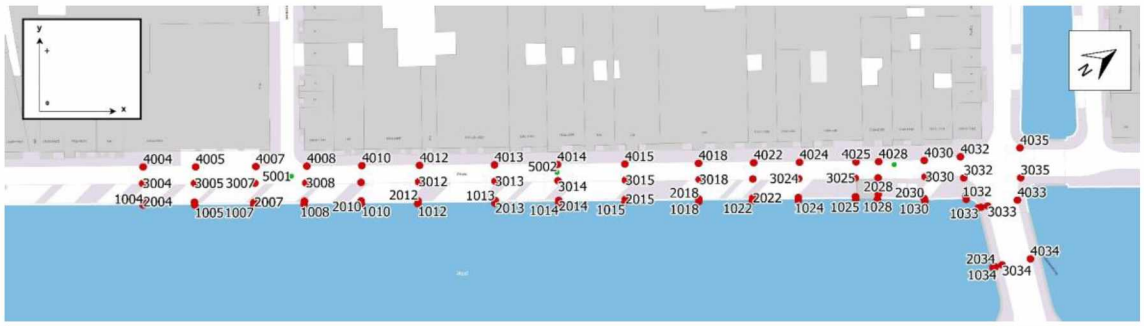


| Verschil t.o.v. nulmeting, Y-richting in [mm] | | | | | | | | | | | | | Opmerking |
|---|---|---|---|---|---|---|---|---|---|---|---|---|---|
| Y-Y0 | 1025 | 1028 | 1030 | | | | | | | | | | |
| afstand = | 0,0 | 4,3 | 13,6 | | | | | | | | | | |
| 13-4-2022 | 0,0 | 0,0 | 0,0 | | | | | | | | | | |
| 4-5-2022 | 2,5 | 1,3 | 2,7 | | | | | | | | | | |
| 10-5-2022 | -1,3 | -0,7 | -1,4 | | | | | | | | | | |
| 18-5-2022 | -1,3 | -0,1 | -1,0 | | | | | | | | | | |
| 24-5-2022 | -2,3 | -1,4 | -1,9 | | | | | | | | | | |

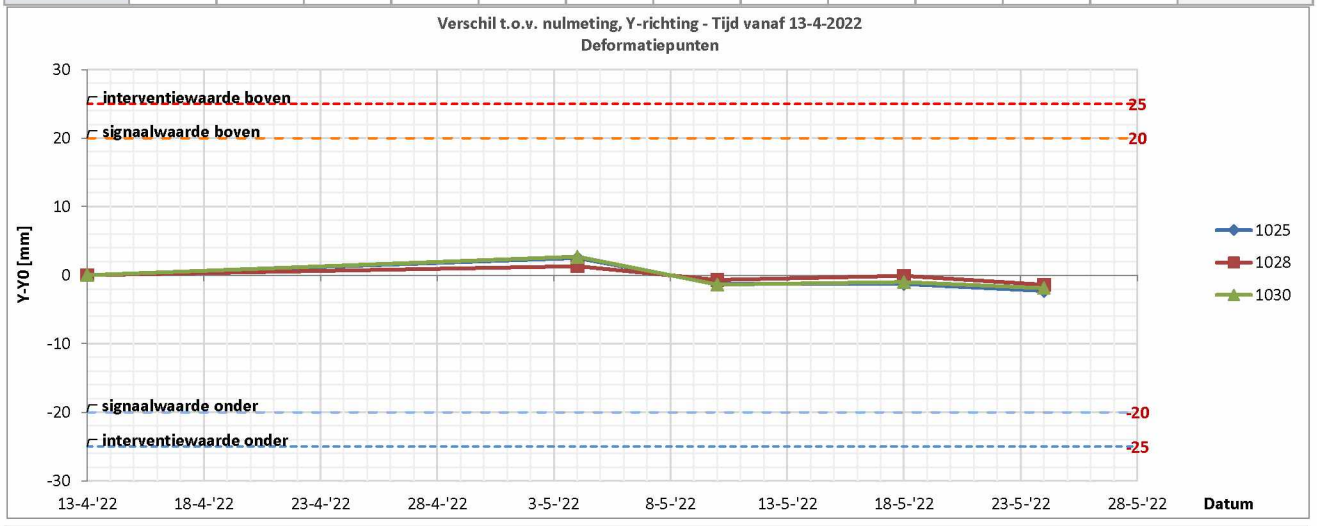


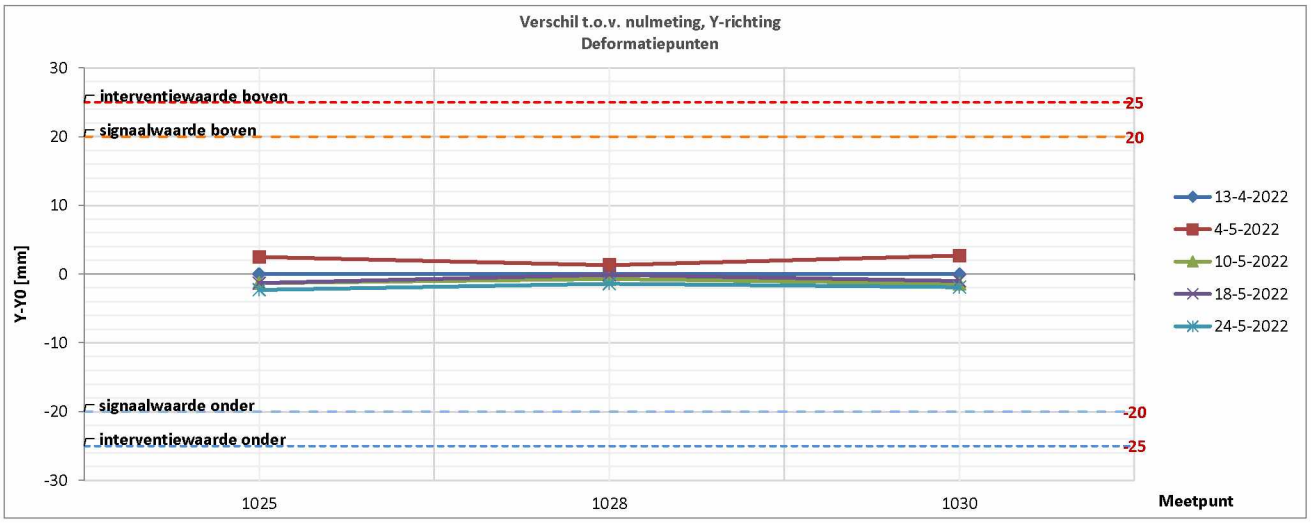

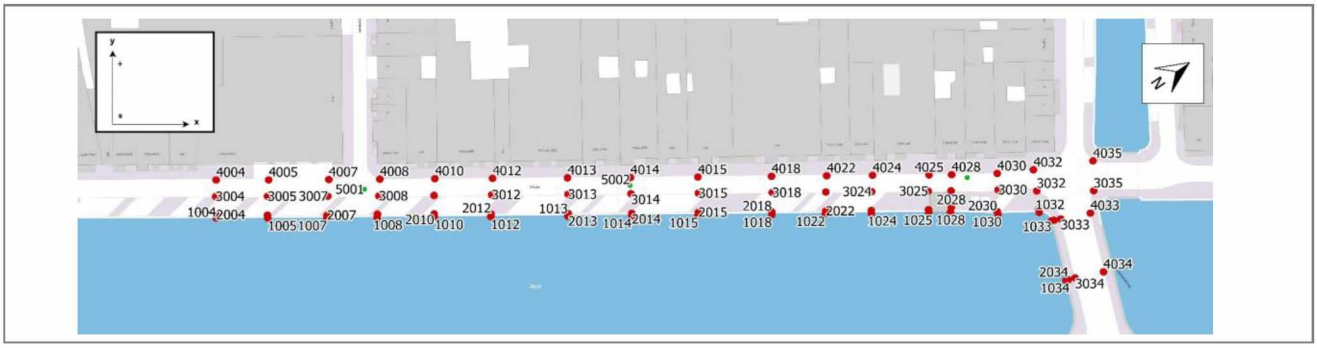


| Verschil t.o.v. nulmeting, Z-richting in [mm] | | | | | | | | | | | | | | |
|---|---|---|---|---|---|---|---|---|---|---|---|---|---|---|
| Z-Z0 | 1025 | 1028 | 1030 | | | | | | | | | | | Opmerking |
| afstand = | 0,0 | 4,3 | 13,6 | | | | | | | | | | | |
| 13-4-2022 | 0,0 | 0,0 | 0,0 | | | | | | | | | | | |
| 4-5-2022 | 0,3 | 1,0 | 1,2 | | | | | | | | | | | |
| 10-5-2022 | 0,2 | -0,4 | 0,4 | | | | | | | | | | | |
| 18-5-2022 | -0,1 | -0,8 | 0,5 | | | | | | | | | | | |
| 24-5-2022 | 0,3 | -0,2 | 0,7 | | | | | | | | | | | |

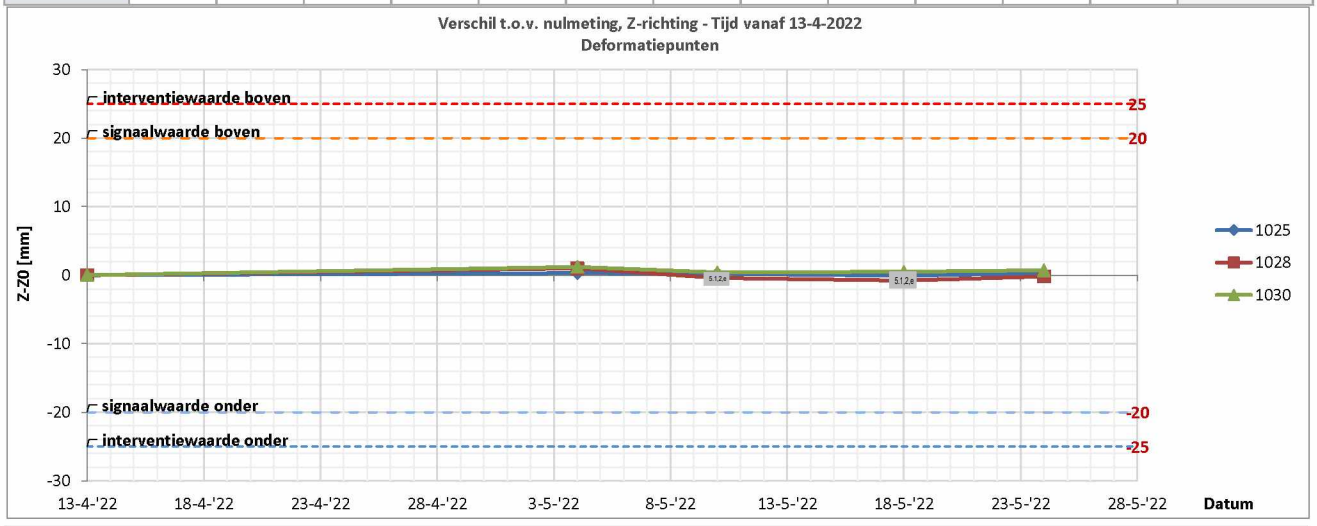


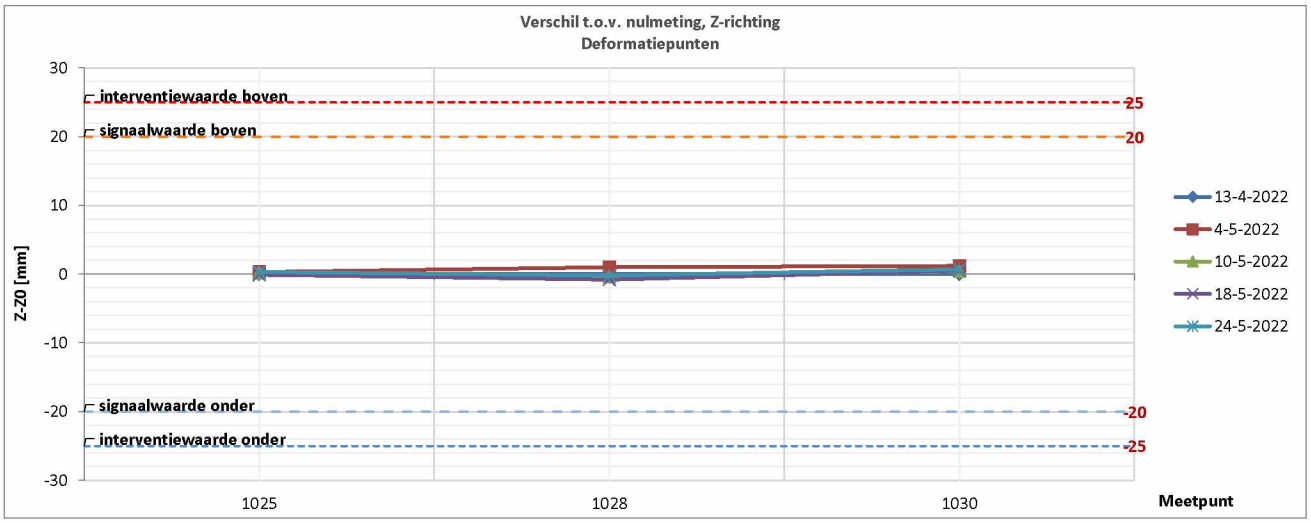

**Opdrachtgever:** Mobilis
**Project:** Veiligheidsconstructie Singel SIN0401
**Onderdeel:** XYZ-deformatiemeting
**Projectnummer:** BR227122

73o6 15-11-2021

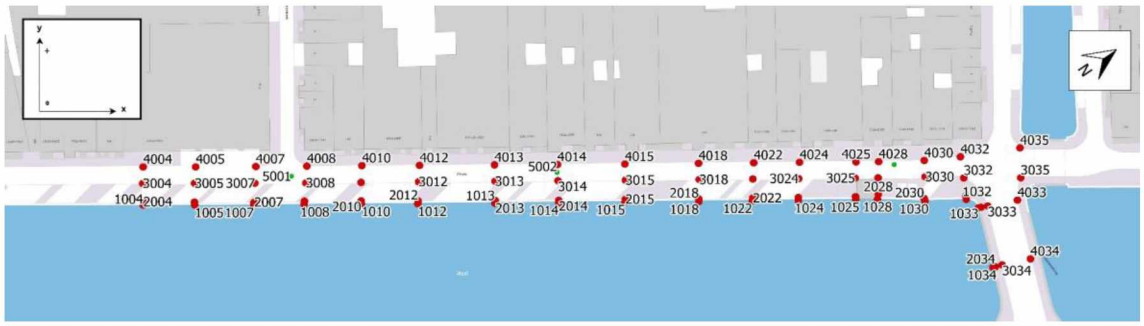


| Verschil t.o.v. nulmeting, X-richting in [mm] | | | | | | | | | | | | | Opmerking |
|---|---|---|---|---|---|---|---|---|---|---|---|---|---|
| X-X0 | 1032 | 1033 | 1034 | | | | | | | | | | |
| afstand = | 0,0 | 3,0 | 14,9 | | | | | | | | | | |
| 13-4-2022 | 0,0 | 0,0 | 0,0 | | | | | | | | | | |
| 4-5-2022 | 0,8 | -0,4 | -1,7 | | | | | | | | | | |
| 10-5-2022 | 0,3 | 0,1 | 0,1 | | | | | | | | | | |
| 18-5-2022 | -0,3 | -0,5 | -0,3 | | | | | | | | | | |
| 24-5-2022 | -1,6 | -1,7 | -2,5 | | | | | | | | | | |

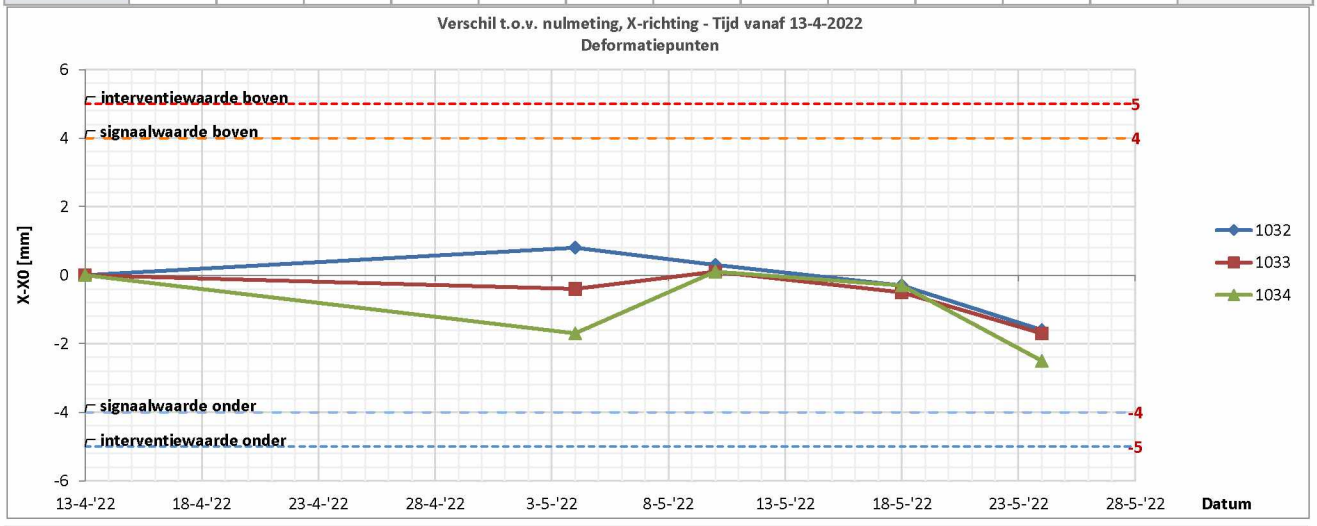


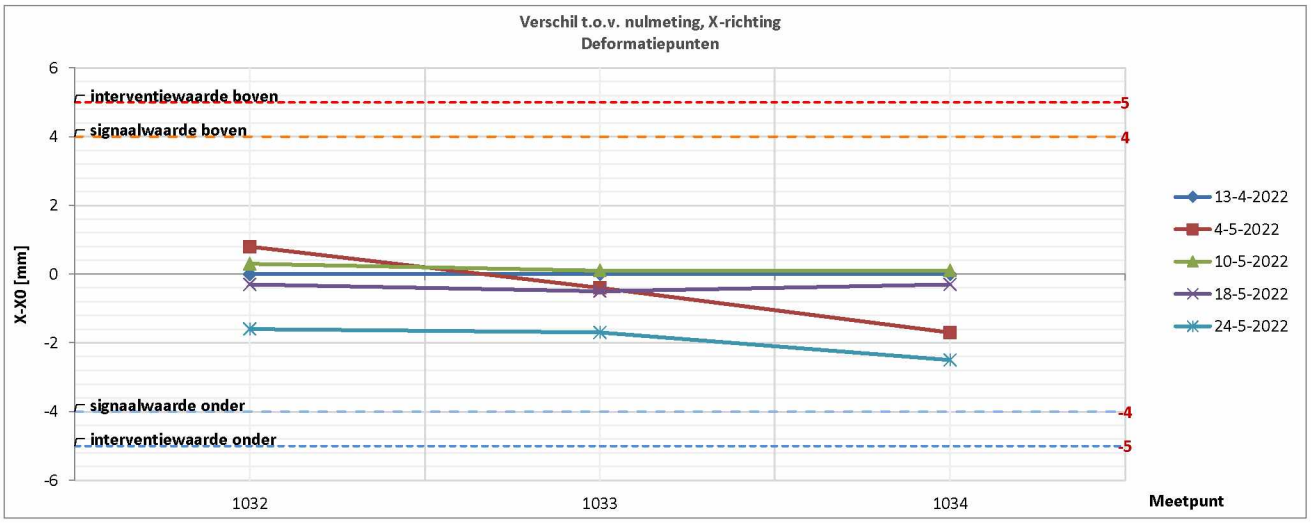

**Opdrachtgever:** Mobilis
**Project:** Veiligheidsconstructie Singel SIN0401
**Onderdeel:** XYZ-deformatiemeting
**Projectnummer:** BR227122

BouwRisk

73o6 15-11-2021

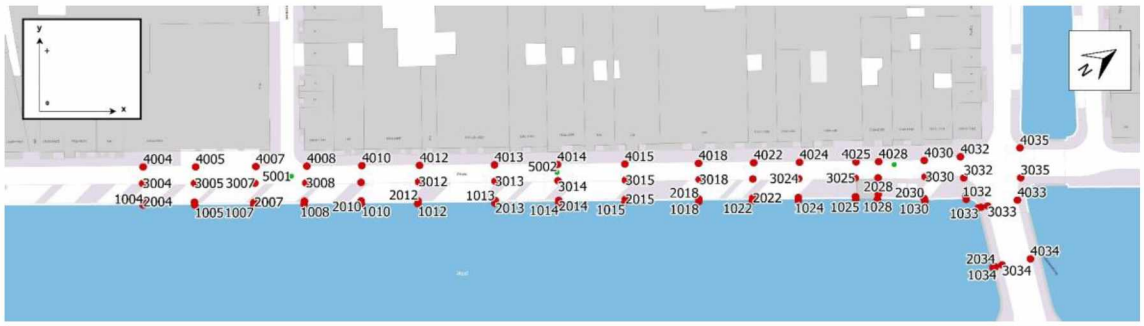


| Verschil t.o.v. nulmeting, Y-richting in [mm] | | | | | | | | | | | | | Opmerking |
|---|---|---|---|---|---|---|---|---|---|---|---|---|---|
| Y-Y0 | 1032 | 1033 | 1034 | | | | | | | | | | |
| afstand = | 0,0 | 3,0 | 14,9 | | | | | | | | | | |
| 13-4-2022 | 0,0 | 0,0 | 0,0 | | | | | | | | | | |
| 4-5-2022 | 3,8 | 3,3 | 3,1 | | | | | | | | | | |
| 10-5-2022 | 0,2 | 0,7 | -0,6 | | | | | | | | | | |
| 18-5-2022 | 1,1 | 1,2 | 0,4 | | | | | | | | | | |
| 24-5-2022 | -0,1 | 0,1 | 0,2 | | | | | | | | | | |

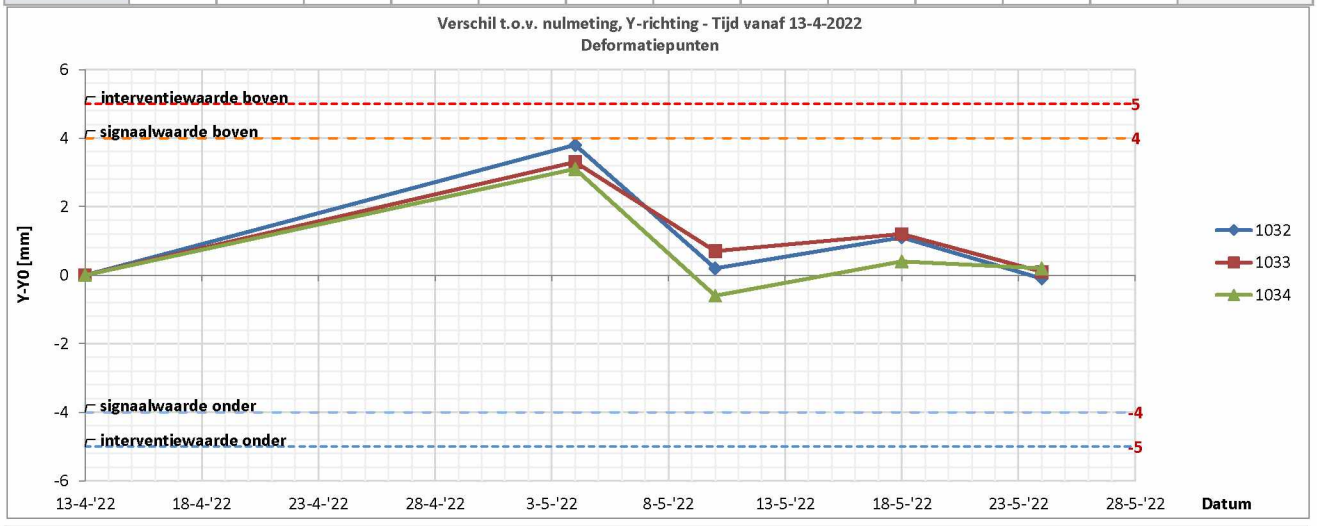


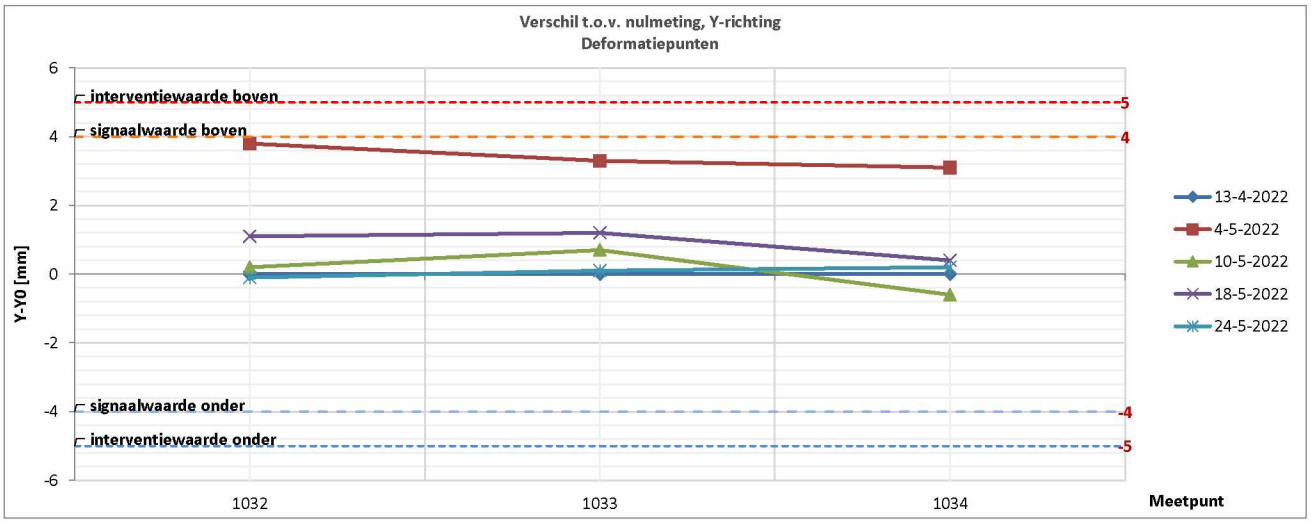

**Opdrachtgever:** Mobilis
**Project:** Veiligheidsconstructie Singel SIN0401
**Onderdeel:** XYZ-deformatiemeting
**Projectnummer:** BR227122

BouwRisk

73o6 15-11-2021

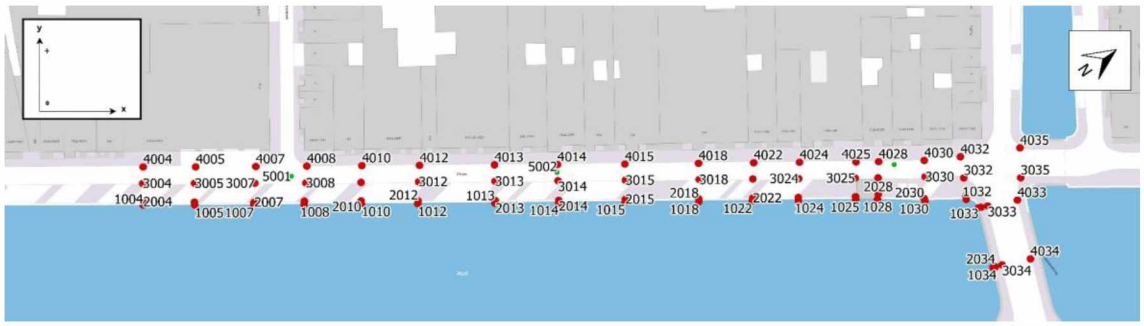


| Verschil t.o.v. nulmeting, Z-richting in [mm] | | | | | | | | | | | | | |
|---|---|---|---|---|---|---|---|---|---|---|---|---|---|
| Z-Z0 | 1032 | 1033 | 1034 | | | | | | | | | | Opmerking |
| afstand = | 0,0 | 3,0 | 14,9 | | | | | | | | | | |
| 13-4-2022 | 0,0 | 0,0 | 0,0 | | | | | | | | | | |
| 4-5-2022 | 0,8 | 0,5 | 0,5 | | | | | | | | | | |
| 10-5-2022 | 0,4 | -0,3 | -0,5 | | | | | | | | | | |
| 18-5-2022 | 0,2 | -0,5 | -0,6 | | | | | | | | | | |
| 24-5-2022 | 0,5 | 0,5 | 0,1 | | | | | | | | | | |

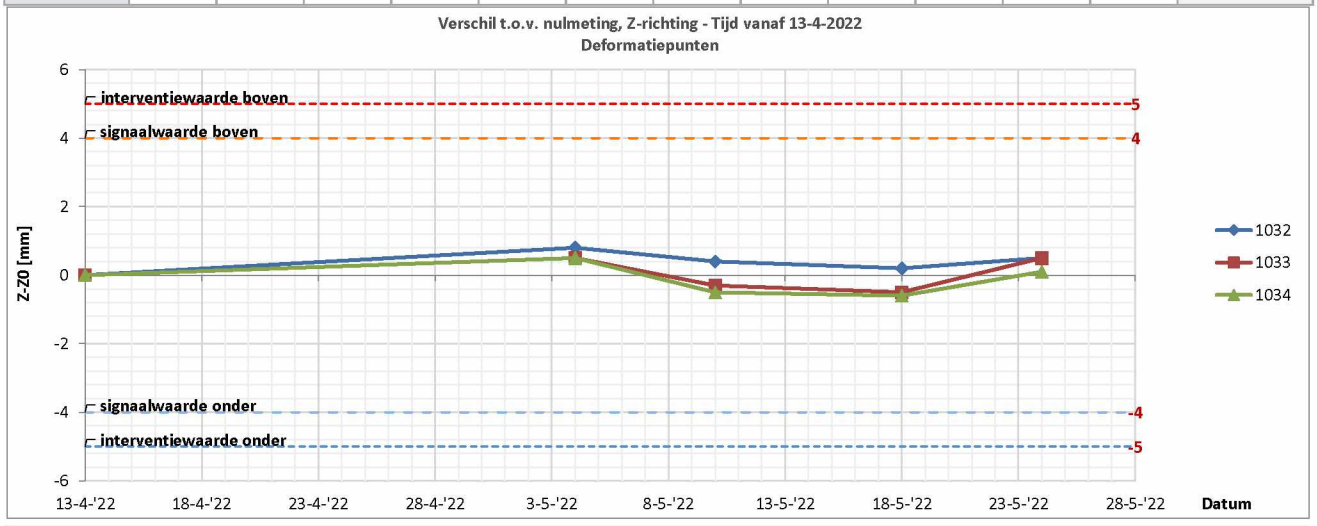


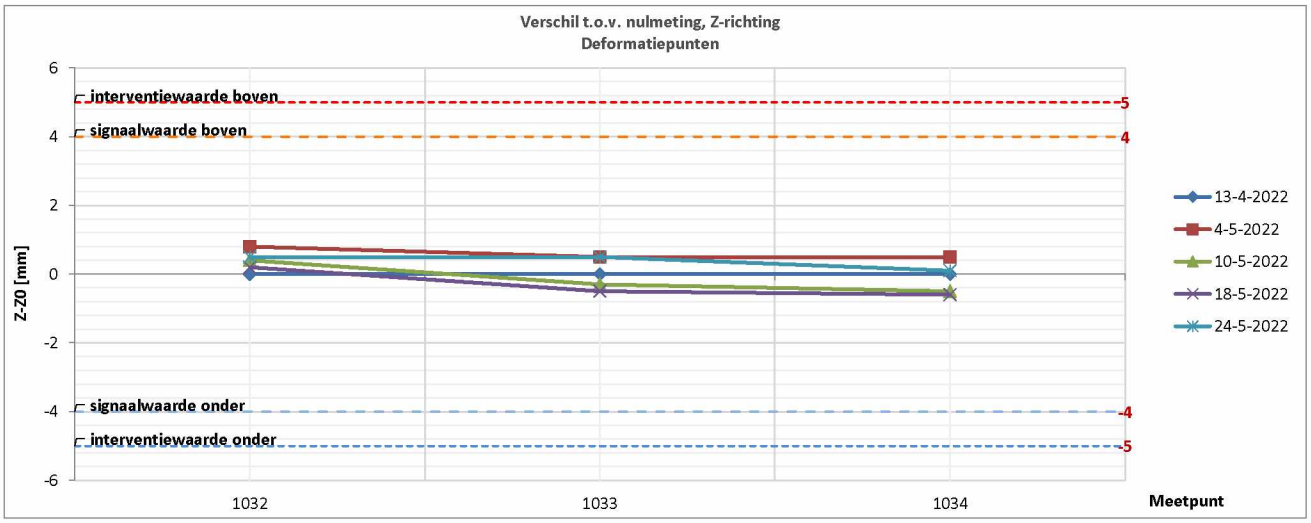

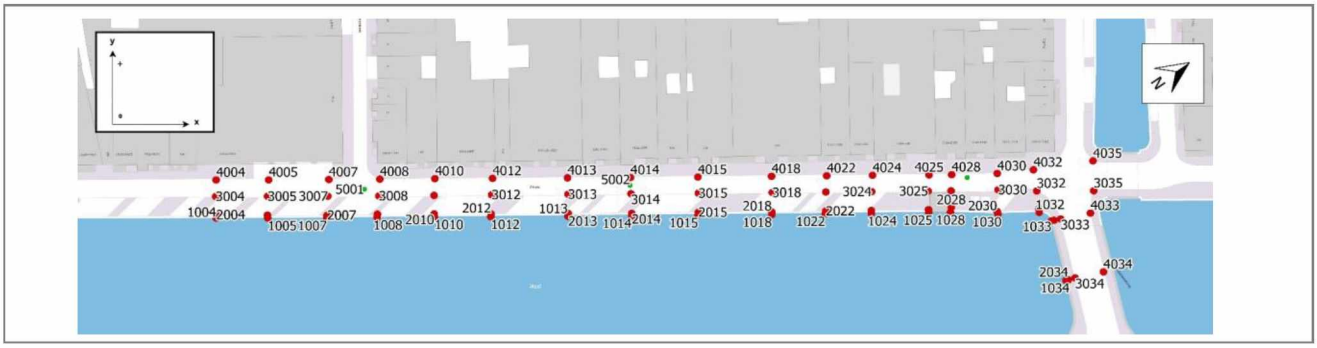


| Verschil t.o.v. nulmeting, X-richting in [mm] | | | | | | | | | | | | | |
|---|---|---|---|---|---|---|---|---|---|---|---|---|---|
| X-X0 | 2004 | 2005 | 2007 | 2008 | 2010 | 2012 | 2013 | 2014 | 2015 | 2018 | 2022 | 2024 | Opmerking |
| afstand = | 0,0 | 10,1 | 21,8 | 31,7 | 42,8 | 54,0 | 69,1 | 81,5 | 94,6 | 109,0 | 119,6 | 128,6 | |
| 13-4-2022 | 0,0 | 0,0 | 0,0 | 0,0 | 0,0 | 0,0 | 0,0 | 0,0 | 0,0 | 0,0 | 0,0 | 0,0 | |
| 4-5-2022 | 1,7 | 3,4 | 1,7 | | -1,7 | -3,3 | 1,4 | 1,8 | 1,4 | 0,8 | -2,6 | -1,0 | |
| 10-5-2022 | -1,7 | 4,7 | 4,3 | | -1,7 | -2,5 | -2,1 | -0,7 | 1,4 | 0,9 | 1,0 | 2,4 | |
| 18-5-2022 | -1,2 | -0,8 | 1,6 | | 2,4 | 1,5 | 2,8 | 2,1 | 2,3 | -5,0 | -4,9 | 2,2 | |
| 24-5-2022 | 3,5 | 5,7 | -1,7 | | 5,4 | 5,1 | 5,1 | 1,1 | 1,3 | -1,2 | -1,9 | 0,9 | |

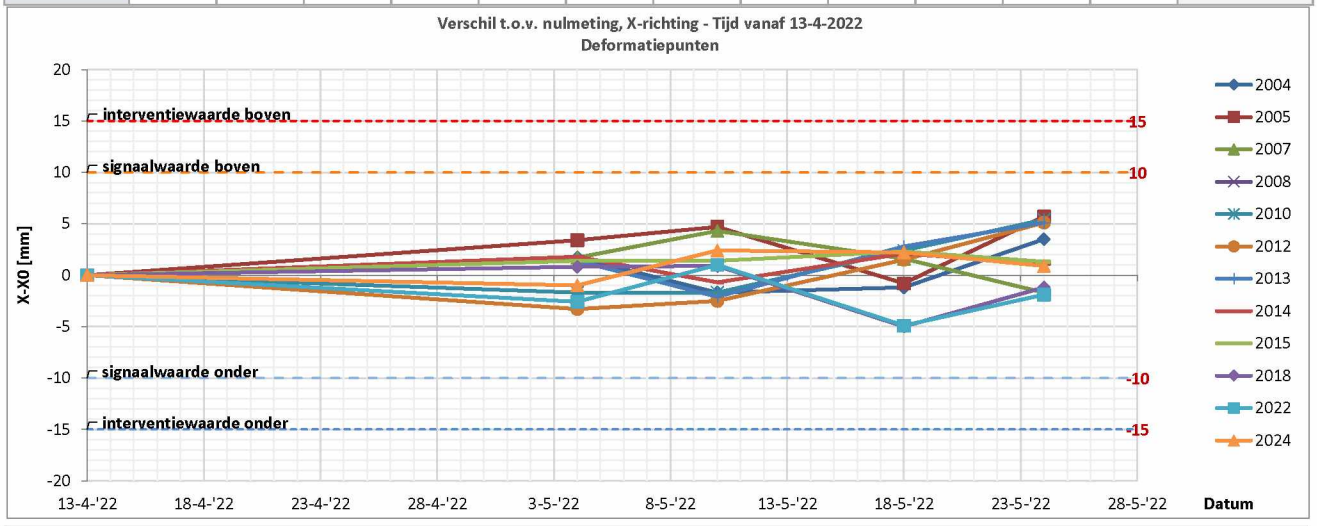


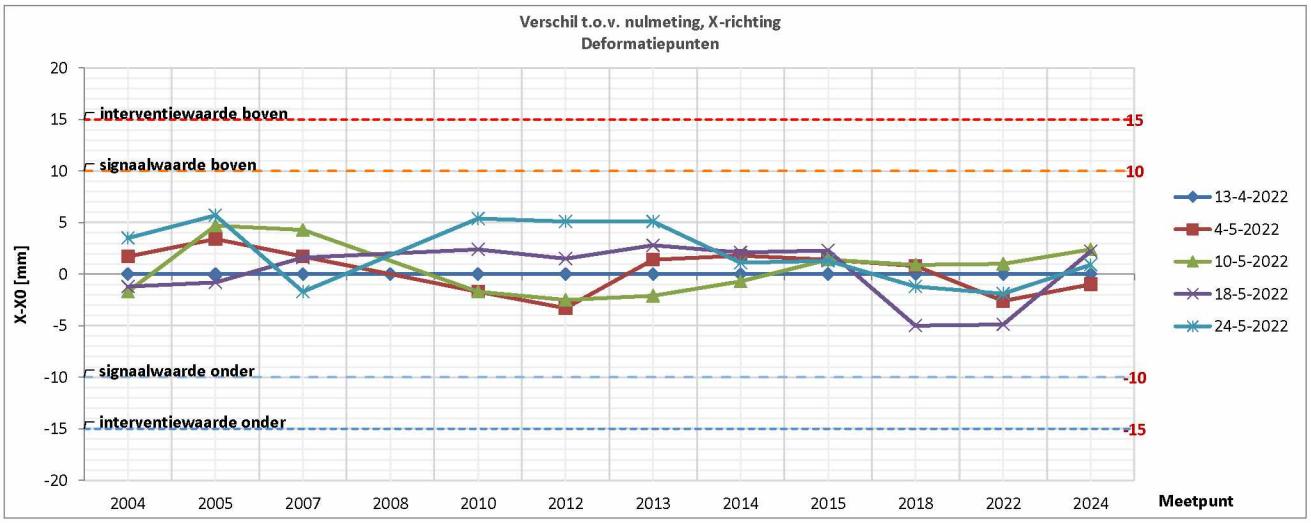

**Opdrachtgever:** Mobilis
**Project:** Veiligheidsconstructie Singel SIN0401
**Onderdeel:** XYZ-deformatiemeting
**Projectnummer:** BR227122

BouwRisk

73o6 15-11-2021

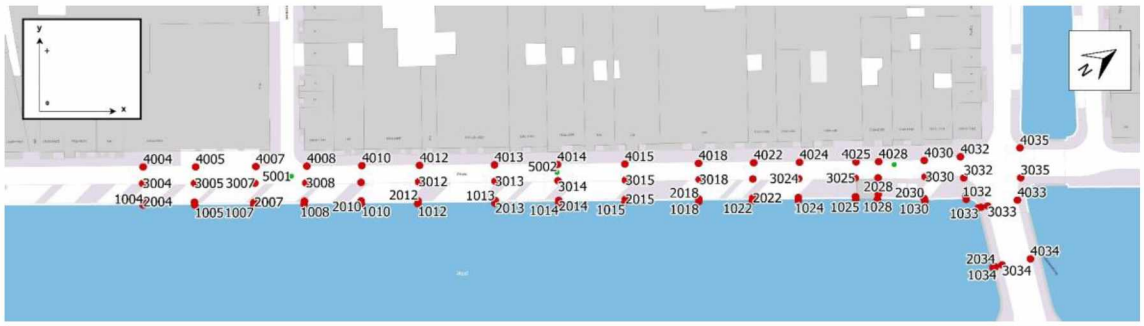


| Verschil t.o.v. nulmeting, Y-richting in [mm] | | | | | | | | | | | | | |
|---|---|---|---|---|---|---|---|---|---|---|---|---|---|
| Y-Y0 | 2004 | 2005 | 2007 | 2008 | 2010 | 2012 | 2013 | 2014 | 2015 | 2018 | 2022 | 2024 | Opmerking |
| afstand = | 0,0 | 10,1 | 21,8 | 31,7 | 42,8 | 54,0 | 69,1 | 81,5 | 94,6 | 109,0 | 119,6 | 128,6 | |
| 13-4-2022 | 0,0 | 0,0 | 0,0 | 0,0 | 0,0 | 0,0 | 0,0 | 0,0 | 0,0 | 0,0 | 0,0 | 0,0 | |
| 4-5-2022 | -1,4 | -3,1 | 0,0 | | -0,4 | 1,3 | -2,9 | 0,9 | -0,3 | 1,6 | 0,6 | 1,8 | |
| 10-5-2022 | -1,4 | -4,2 | -2,3 | | -3,0 | -2,5 | -2,5 | -1,2 | -0,5 | -0,2 | -2,3 | -1,1 | |
| 18-5-2022 | -2,1 | -5,4 | -3,6 | | -1,2 | -0,8 | -1,2 | -0,2 | 0,4 | 1,0 | -1,4 | -1,1 | |
| 24-5-2022 | -3,3 | -6,7 | -4,5 | | -2,9 | -2,7 | -2,8 | -1,9 | -2,0 | 0,5 | -3,3 | -1,4 | |

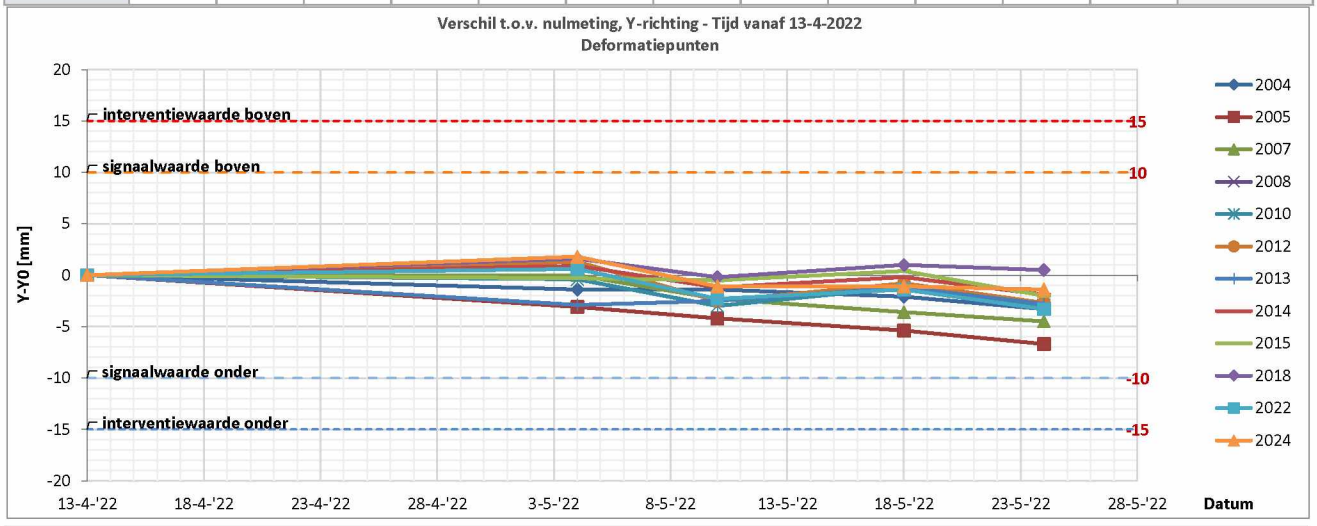


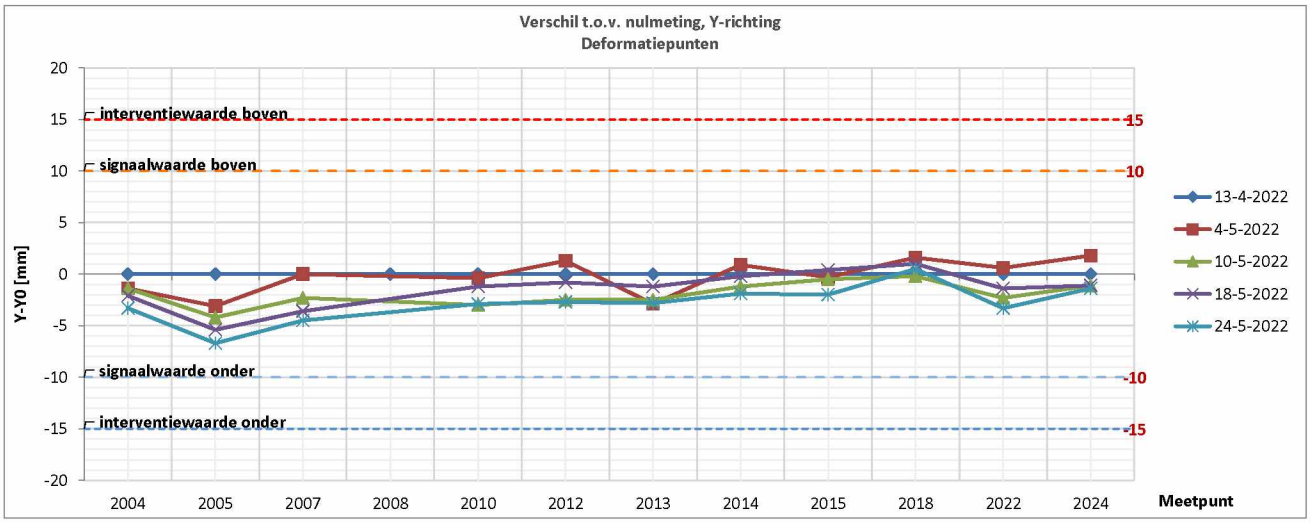

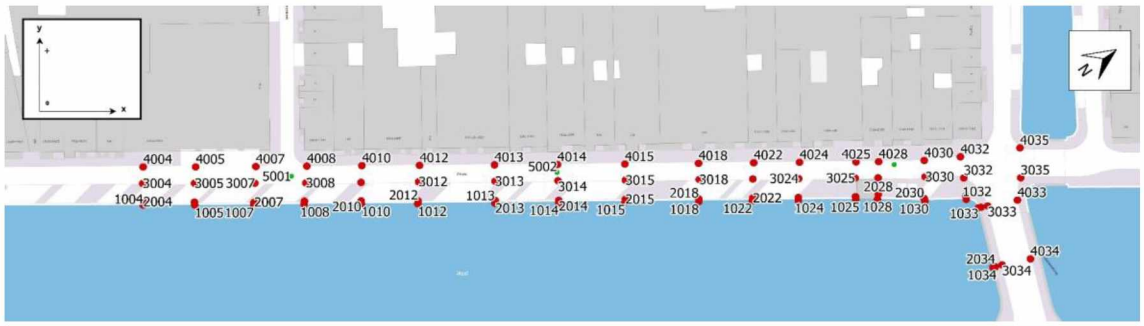


| Verschil t.o.v. nulmeting, Z-richting in [mm] | | | | | | | | | | | | | |
|---|---|---|---|---|---|---|---|---|---|---|---|---|---|
| Z-Z0 | 2004 | 2005 | 2007 | 2008 | 2010 | 2012 | 2013 | 2014 | 2015 | 2018 | 2022 | 2024 | Opmerking |
| afstand = | 0,0 | 10,1 | 21,8 | 31,7 | 42,8 | 54,0 | 69,1 | 81,5 | 94,6 | 109,0 | 119,6 | 128,6 | |
| 13-4-2022 | 0,0 | 0,0 | 0,0 | 0,0 | 0,0 | 0,0 | 0,0 | 0,0 | 0,0 | 0,0 | 0,0 | 0,0 | |
| 4-5-2022 | 1,9 | 2,5 | 2,7 | | 2,9 | 2,5 | 0,5 | 0,2 | -1,6 | 1,8 | 1,4 | 1,5 | |
| 10-5-2022 | -0,2 | -3,2 | 0,0 | | 0,5 | 0,1 | -1,8 | -0,9 | -1,4 | 2,1 | -0,1 | 1,1 | |
| 18-5-2022 | -0,4 | -5,4 | -5,4 | | -0,6 | -0,6 | -1,9 | -1,2 | -1,4 | 2,9 | -0,7 | 1,0 | |
| 24-5-2022 | -1,3 | -6,2 | -7,9 | | 1,8 | -0,2 | -1,5 | -0,3 | -0,7 | 4,0 | 0,6 | 2,0 | |
| | | | | | | | | | | | | | |
| | | | | | | | | | | | | | |
| | | | | | | | | | | | | | |
| | | | | | | | | | | | | | |
| | | | | | | | | | | | | | |
| | | | | | | | | | | | | | |
| | | | | | | | | | | | | | |

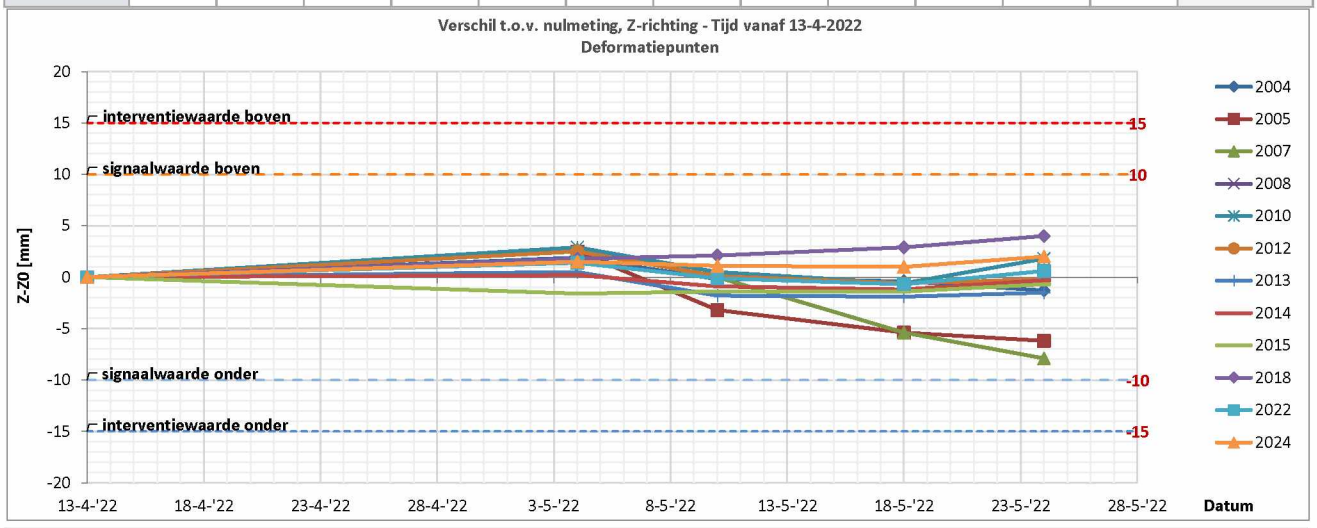


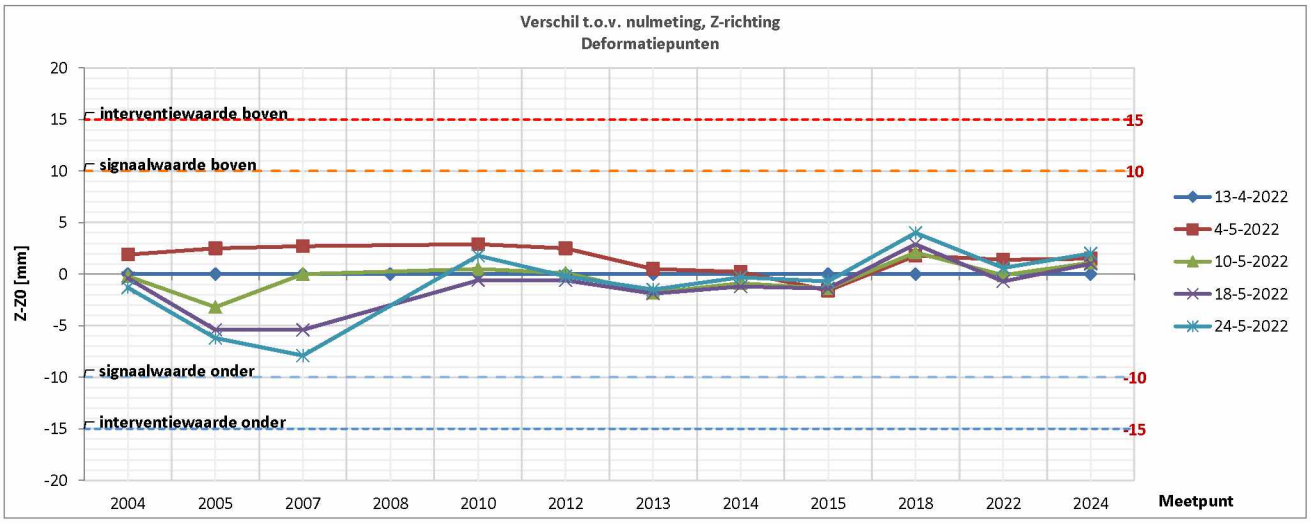

**Opdrachtgever:** Mobilis
**Project:** Veiligheidsconstructie Singel SIN0401
**Onderdeel:** XYZ-deformatiemeting
**Projectnummer:** BR227122

BouwRisk

73o6 15-11-2021

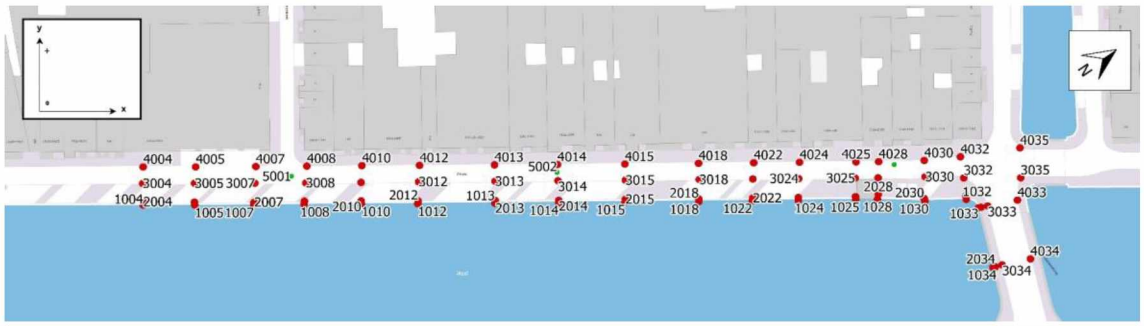


**Verschil t.o.v. nulmeting, X-richting in [mm]**

| X-X0 | 2025 | 2028 | 2030 | 2032 | 2033 | 2034 | Opmerking |
|---|---|---|---|---|---|---|---|
| afstand = | 0,0 | 4,5 | 13,5 | 21,7 | 24,7 | 31,0 | |
| 13-4-2022 | 0,0 | 0,0 | 0,0 | 0,0 | 0,0 | 0,0 | |
| 4-5-2022 | -4,4 | 3,6 | 2,9 | 0,9 | -0,8 | -0,7 | |
| 10-5-2022 | 0,6 | 2,4 | 1,0 | -1,6 | 0,3 | -0,2 | |
| 18-5-2022 | 1,8 | 1,0 | 0,7 | 0,4 | -0,7 | -0,5 | |
| 24-5-2022 | 1,3 | -0,7 | -0,5 | -1,3 | -0,5 | -0,9 | |

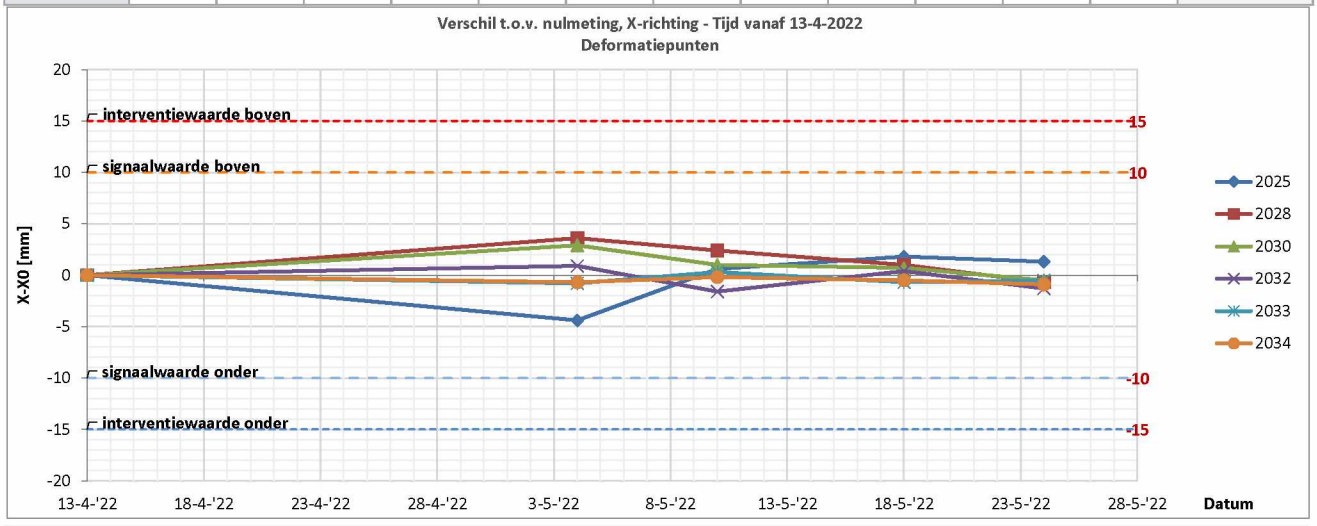


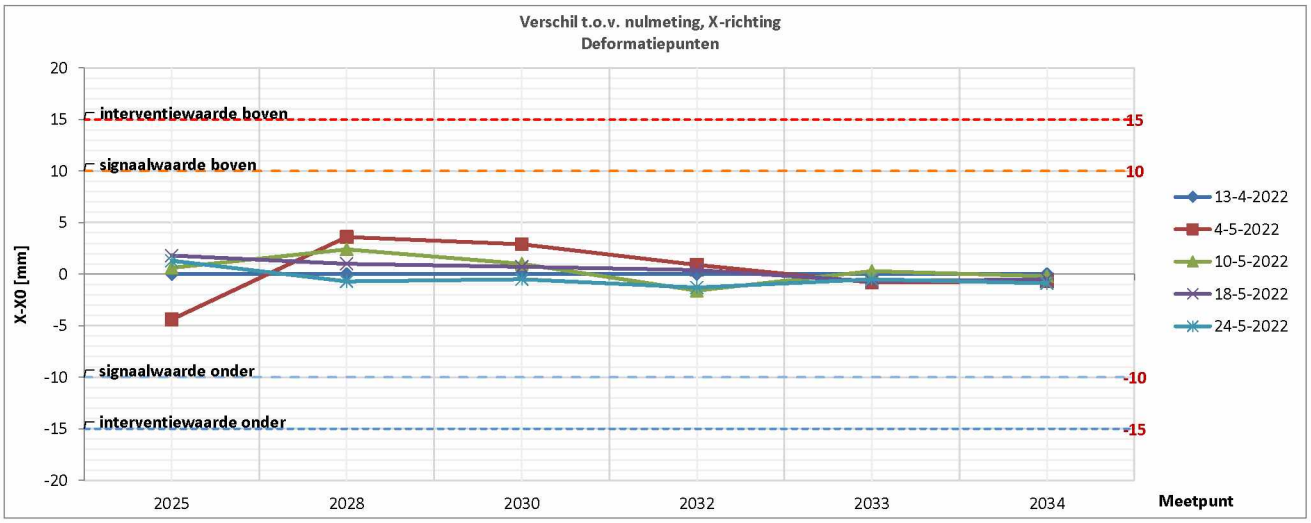

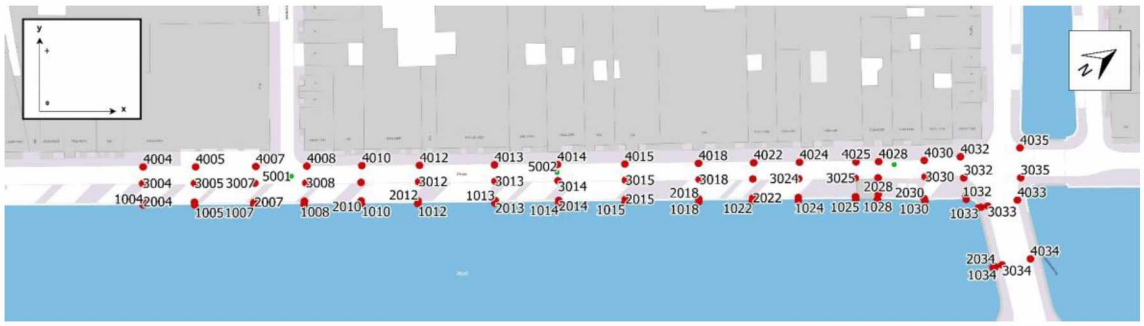


| Verschil t.o.v. nulmeting, Y-richting in [mm] | | | | | | | | | | | | | |
|---|---|---|---|---|---|---|---|---|---|---|---|---|---|
| Y-Y0 | 2025 | 2028 | 2030 | 2032 | 2033 | 2034 | | | | | | | Opmerking |
| afstand = | 0,0 | 4,5 | 13,5 | 21,7 | 24,7 | 31,0 | | | | | | | |
| 13-4-2022 | 0,0 | 0,0 | 0,0 | 0,0 | 0,0 | 0,0 | | | | | | | |
| 4-5-2022 | 5,6 | 0,3 | 0,0 | 4,1 | 3,1 | 3,7 | | | | | | | |
| 10-5-2022 | -0,5 | -3,0 | -3,2 | -0,1 | 0,3 | 0,5 | | | | | | | |
| 18-5-2022 | -0,1 | -2,0 | -3,0 | 1,2 | 1,2 | -0,1 | | | | | | | |
| 24-5-2022 | -1,3 | -2,8 | -4,1 | 0,0 | 1,3 | 1,3 | | | | | | | |

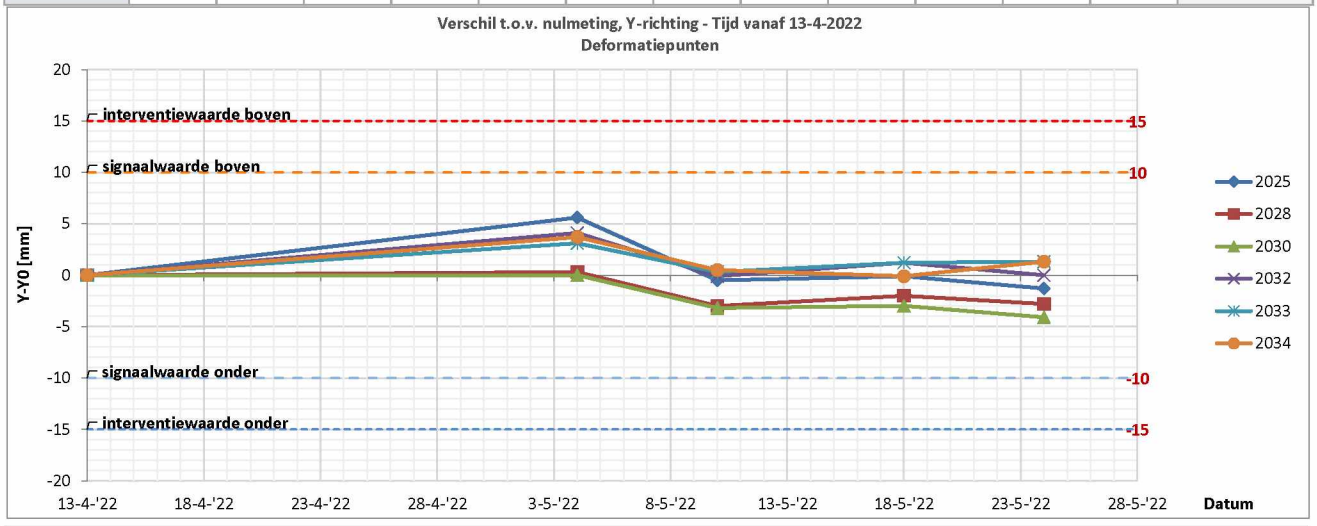


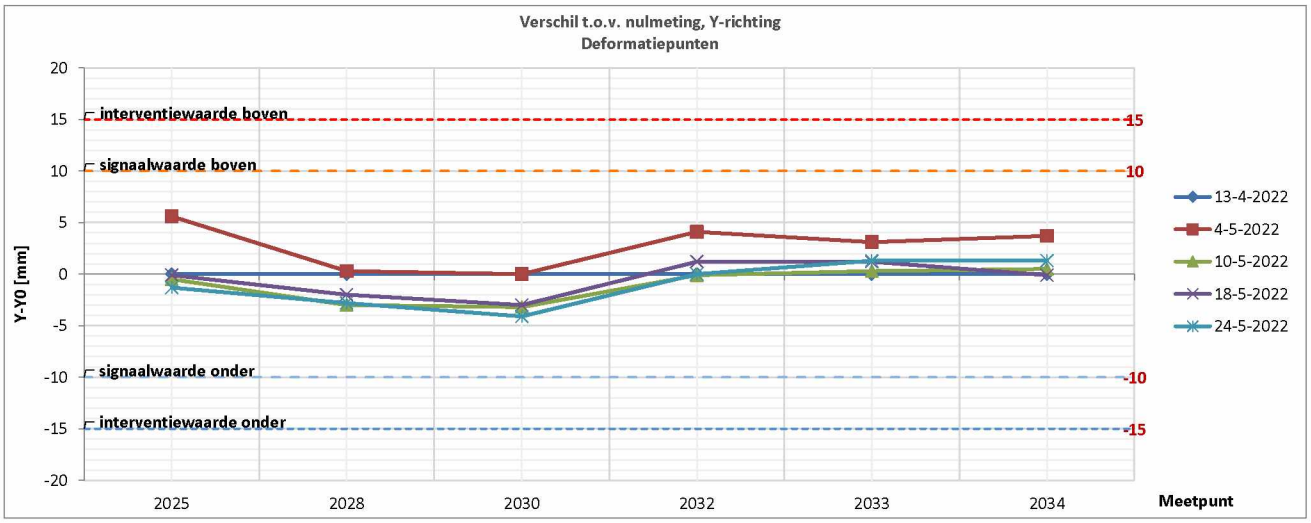

**Opdrachtgever:** Mobilis
**Project:** Veiligheidsconstructie Singel SIN0401
**Onderdeel:** XYZ-deformatiemeting
**Projectnummer:** BR227122

BouwRisk

73o6 15-11-2021

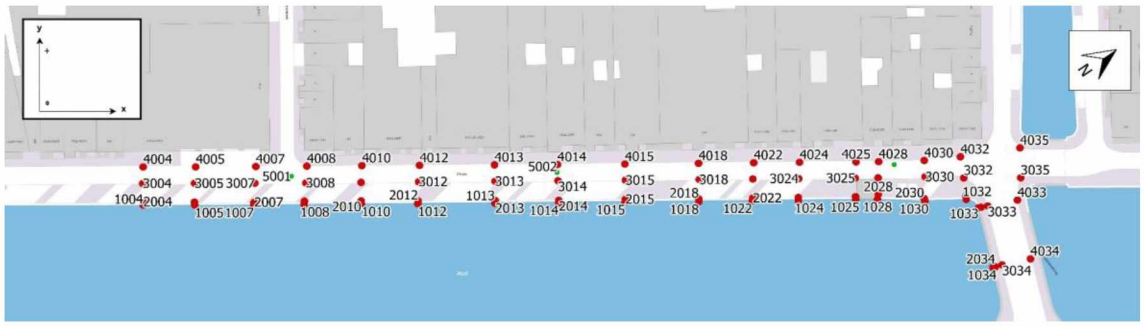


| Verschil t.o.v. nulmeting, Z-richting in [mm] | | | | | | | | | | | | | |
|---|---|---|---|---|---|---|---|---|---|---|---|---|---|
| Z-Z0 | 2025 | 2028 | 2030 | 2032 | 2033 | 2034 | | | | | | | Opmerking |
| afstand = | 0,0 | 4,5 | 13,5 | 21,7 | 24,7 | 31,0 | | | | | | | |
| 13-4-2022 | 0,0 | 0,0 | 0,0 | 0,0 | 0,0 | 0,0 | | | | | | | |
| 4-5-2022 | -0,3 | 1,5 | 1,8 | 0,6 | 0,7 | 0,6 | | | | | | | |
| 10-5-2022 | -0,9 | -0,7 | 0,6 | -0,8 | -0,2 | -0,3 | | | | | | | |
| 18-5-2022 | -1,3 | -0,9 | 0,5 | -0,6 | -0,3 | -0,5 | | | | | | | |
| 24-5-2022 | -0,3 | -0,2 | 1,6 | 0,2 | 0,4 | 0,2 | | | | | | | |

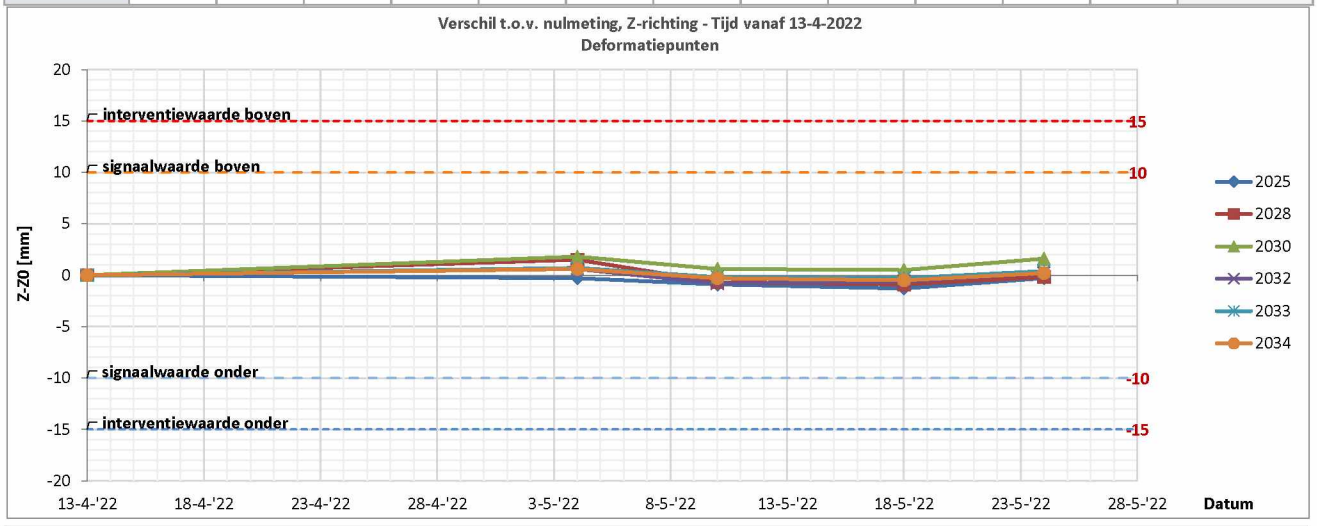


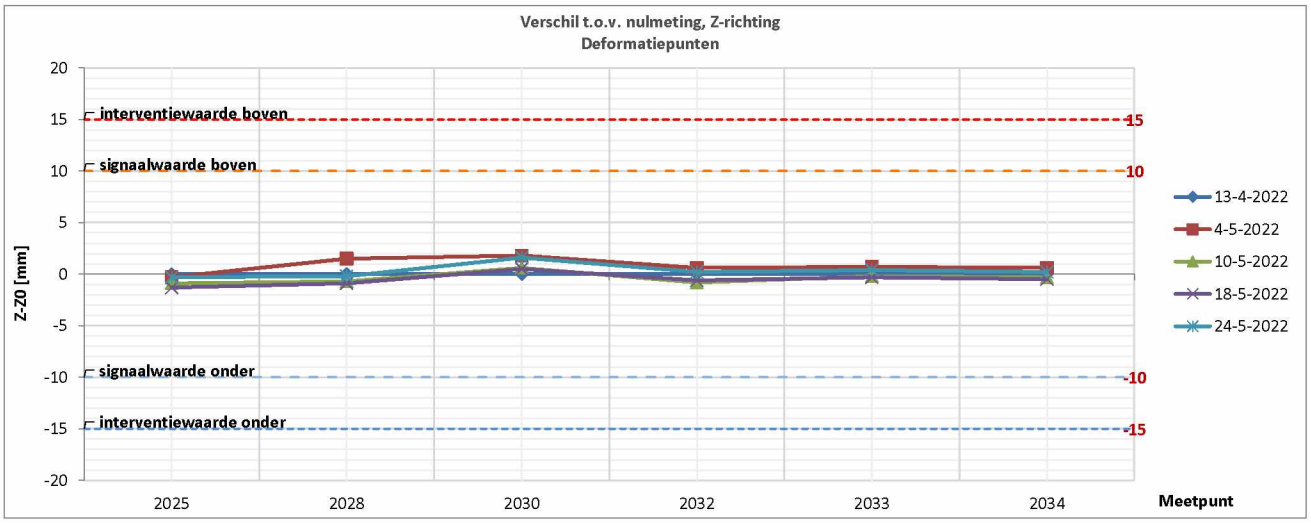

**Opdrachtgever:** Mobilis
**Project:** Veiligheidsconstructie Singel SIN0401
**Onderdeel:** XYZ-deformatiemeting
**Projectnummer:** BR227122

BouwRisk

73o6 15-11-2021

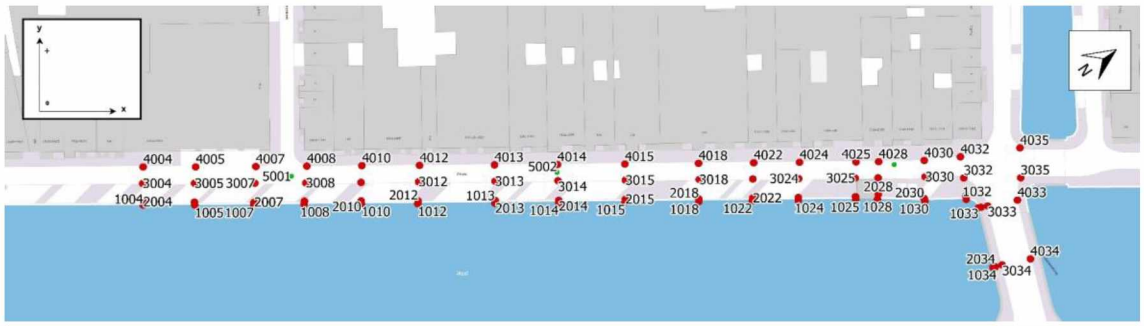


| Verschil t.o.v. nulmeting, X-richting in [mm] | | | | | | | | | | | | | |
|---|---|---|---|---|---|---|---|---|---|---|---|---|---|
| X-X0 | 3004 | 3005 | 3007 | 3008 | 3010 | 3012 | 3013 | 3014 | 3015 | 3018 | 3022 | 3024 | Opmerking |
| afstand = | 0,0 | 10,5 | 22,0 | 32,0 | 42,8 | 54,1 | 69,1 | 81,5 | 94,7 | 109,2 | 119,7 | 128,7 | |
| 13-4-2022 | 0,0 | | 0,0 | 0,0 | 0,0 | 0,0 | 0,0 | 0,0 | 0,0 | 0,0 | 0,0 | 0,0 | |
| 4-5-2022 | 0,3 | 0,0 | 1,7 | 2,5 | -0,6 | -2,1 | -1,5 | -2,4 | -0,9 | 1,3 | 1,9 | 1,5 | |
| 10-5-2022 | -2,5 | -3,1 | -1,4 | -0,1 | -0,2 | -1,1 | 0,9 | 0,8 | 0,8 | 0,8 | 1,8 | 0,5 | |
| 18-5-2022 | -1,1 | -2,4 | -0,8 | 0,0 | 0,5 | -0,8 | 1,0 | -0,1 | -0,3 | 0,6 | 1,2 | 0,7 | |
| 24-5-2022 | 2,8 | 2,2 | 3,5 | 4,5 | 0,6 | -1,4 | -0,4 | -0,2 | 1,9 | 2,0 | 2,8 | 1,4 | |

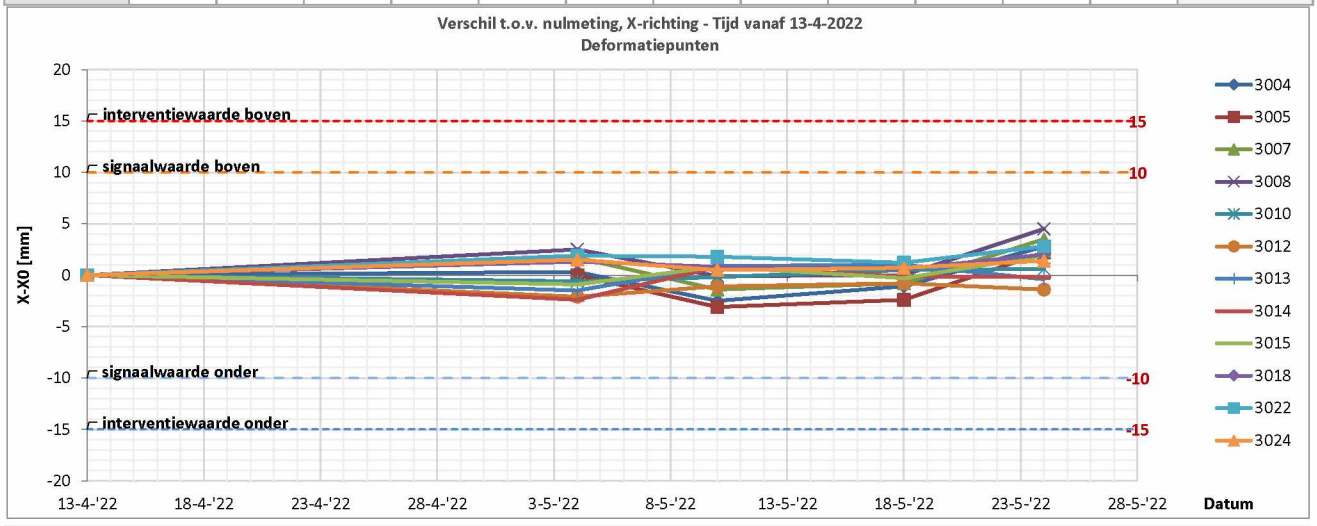


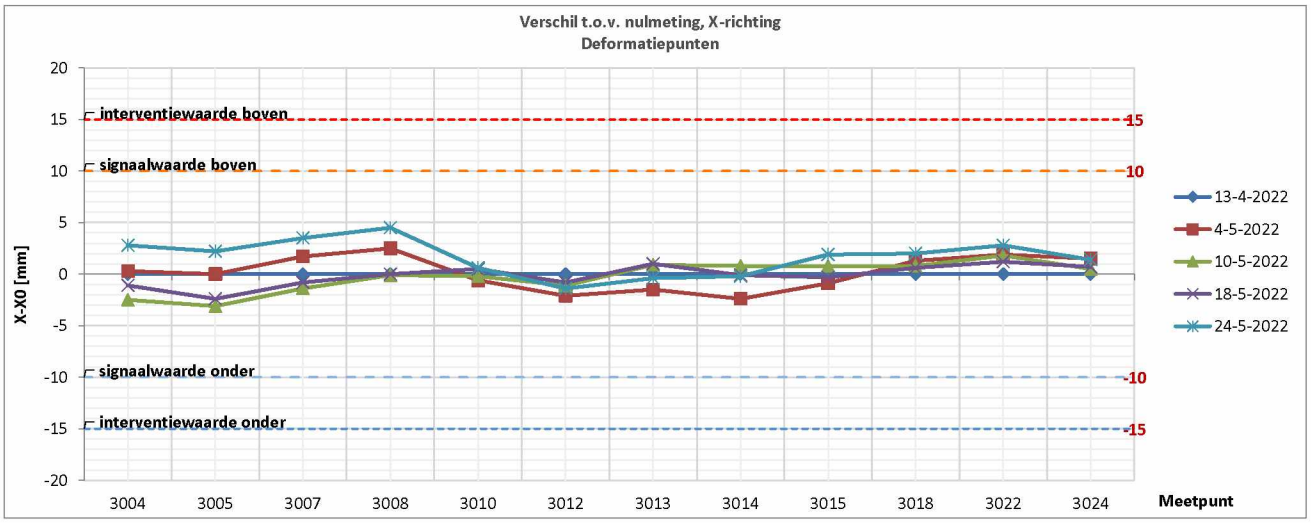

**Opdrachtgever:** Mobilis
**Project:** Veiligheidsconstructie Singel SIN0401
**Onderdeel:** XYZ-deformatiemeting
**Projectnummer:** BR227122

BouwRisk

73o6 15-11-2021

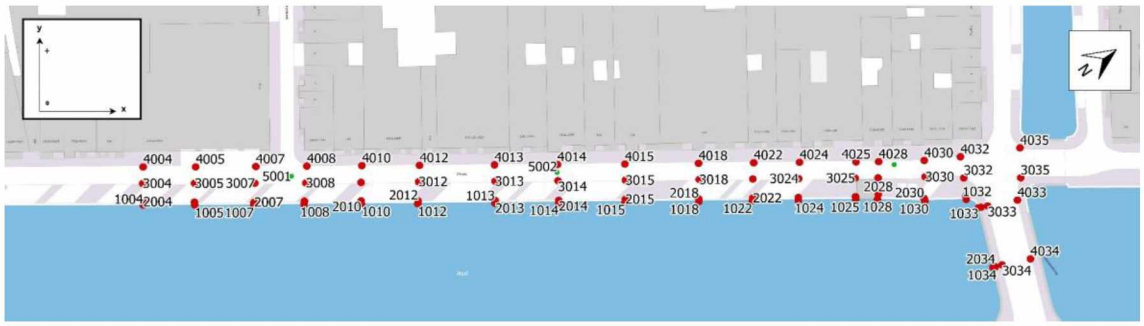


| Verschil t.o.v. nulmeting, Y-richting in [mm] | | | | | | | | | | | | | |
|---|---|---|---|---|---|---|---|---|---|---|---|---|---|
| Y-Y0 | 3004 | 3005 | 3007 | 3008 | 3010 | 3012 | 3013 | 3014 | 3015 | 3018 | 3022 | 3024 | Opmerking |
| afstand = | 0,0 | 10,5 | 22,0 | 32,0 | 42,8 | 54,1 | 69,1 | 81,5 | 94,7 | 109,2 | 119,7 | 128,7 | |
| 13-4-2022 | 0,0 | | 0,0 | 0,0 | 0,0 | 0,0 | 0,0 | 0,0 | 0,0 | 0,0 | 0,0 | 0,0 | |
| 4-5-2022 | -0,9 | 0,0 | 0,9 | 1,7 | 0,2 | 1,3 | 0,8 | 1,0 | 1,1 | -0,2 | 0,3 | 1,8 | |
| 10-5-2022 | -1,2 | -1,7 | -0,7 | -0,7 | -1,9 | -1,2 | -1,7 | -2,7 | -1,4 | -1,8 | -1,9 | -0,9 | |
| 18-5-2022 | -2,3 | -3,4 | -2,5 | -0,8 | -1,5 | -1,2 | -1,1 | -0,8 | -0,5 | -0,7 | -0,6 | 0,1 | |
| 24-5-2022 | 0,2 | -2,2 | -1,7 | 1,3 | 1,3 | 1,1 | 0,3 | 0,8 | 1,2 | 0,6 | 0,1 | 0,3 | |

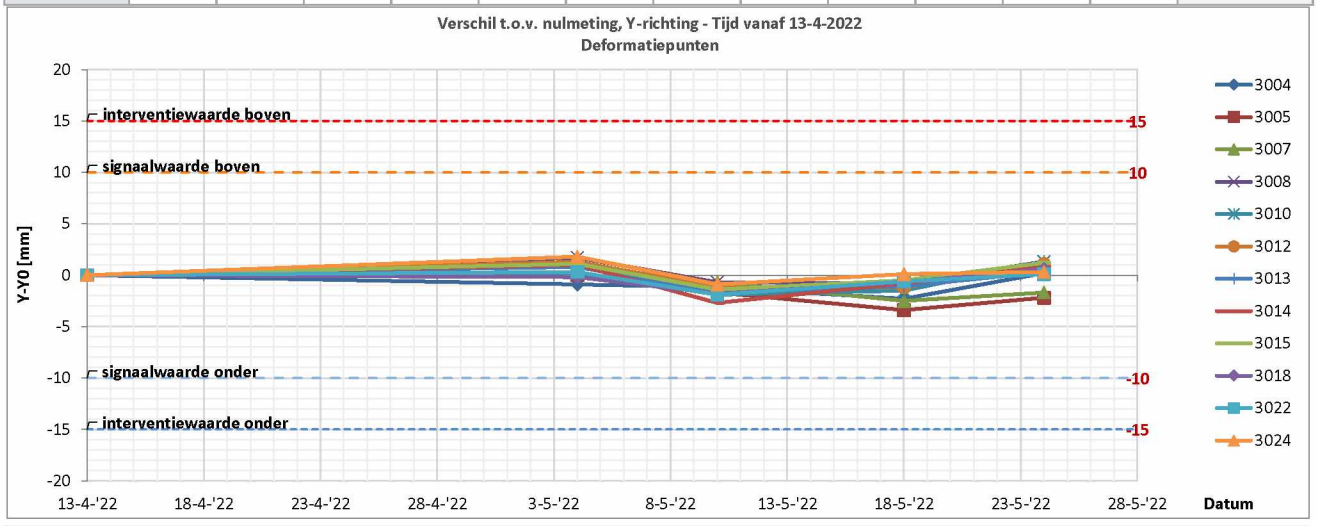


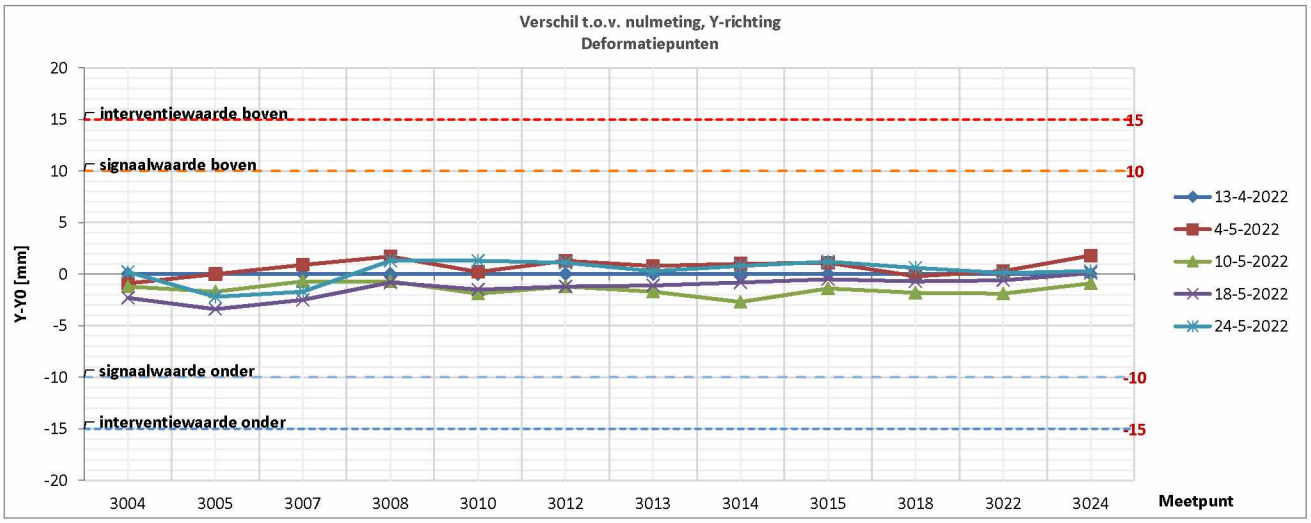

**Opdrachtgever:** Mobilis
**Project:** Veiligheidsconstructie Singel SIN0401
**Onderdeel:** XYZ-deformatiemeting
**Projectnummer:** BR227122

BouwRisk

73o6 15-11-2021

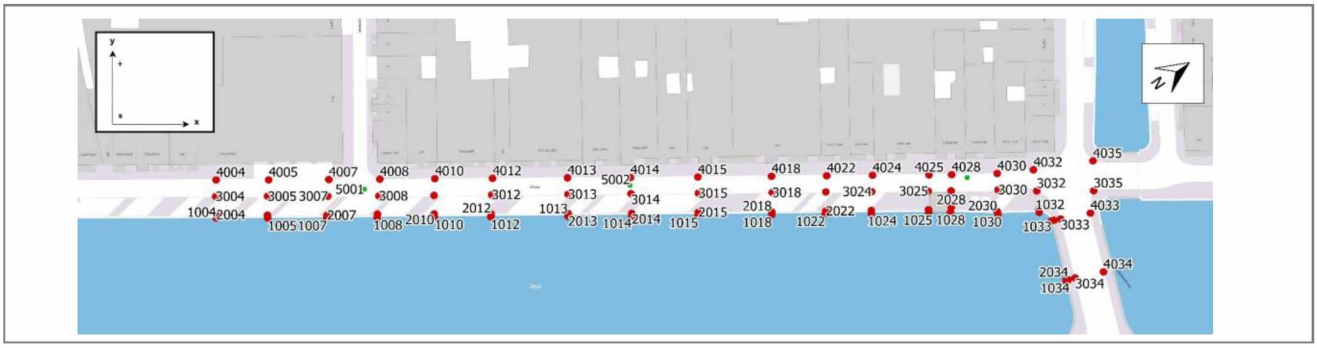


| Verschil t.o.v. nulmeting, Z-richting in [mm] | | | | | | | | | | | | | |
|---|---|---|---|---|---|---|---|---|---|---|---|---|---|
| Z-Z0 | 3004 | 3005 | 3007 | 3008 | 3010 | 3012 | 3013 | 3014 | 3015 | 3018 | 3022 | 3024 | Opmerking |
| afstand = | 0,0 | 10,5 | 22,0 | 32,0 | 42,8 | 54,1 | 69,1 | 81,5 | 94,7 | 109,2 | 119,7 | 128,7 | |
| 13-4-2022 | 0,0 | | 0,0 | 0,0 | 0,0 | 0,0 | 0,0 | 0,0 | 0,0 | 0,0 | 0,0 | 0,0 | |
| 4-5-2022 | 1,5 | 0,0 | 3,2 | 2,3 | 2,1 | 2,7 | 1,6 | 1,6 | 0,9 | 1,5 | 1,2 | 1,0 | |
| 10-5-2022 | -0,9 | -4,1 | -0,4 | -0,7 | -1,0 | -0,7 | -1,7 | -1,2 | -1,2 | -1,0 | -0,9 | -0,7 | |
| 18-5-2022 | -0,3 | -4,9 | -2,1 | -0,6 | -0,8 | -0,2 | -2,0 | -1,8 | -2,3 | -1,3 | -1,1 | -0,8 | |
| 24-5-2022 | -0,6 | -5,5 | -2,9 | -1,4 | -1,1 | -0,2 | 0,2 | 0,7 | 1,5 | 1,3 | 1,1 | 0,9 | |

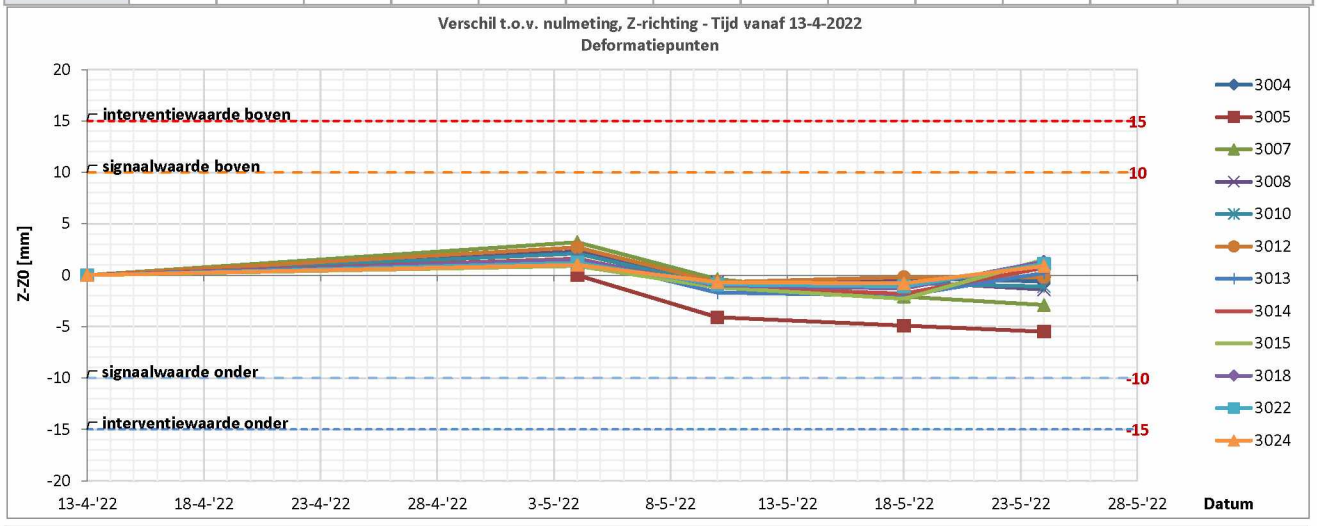


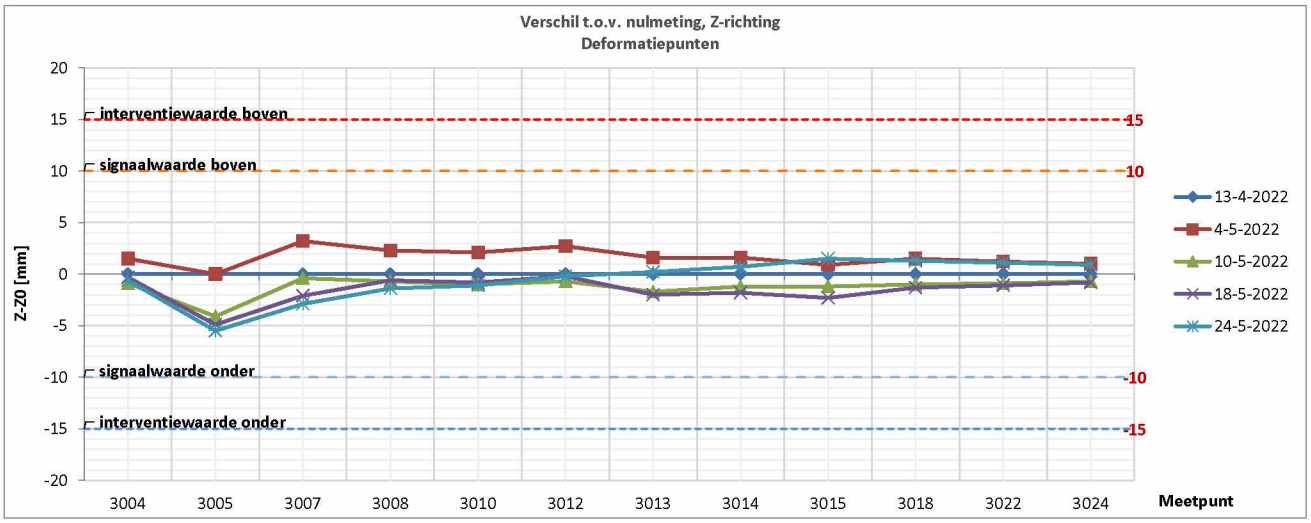

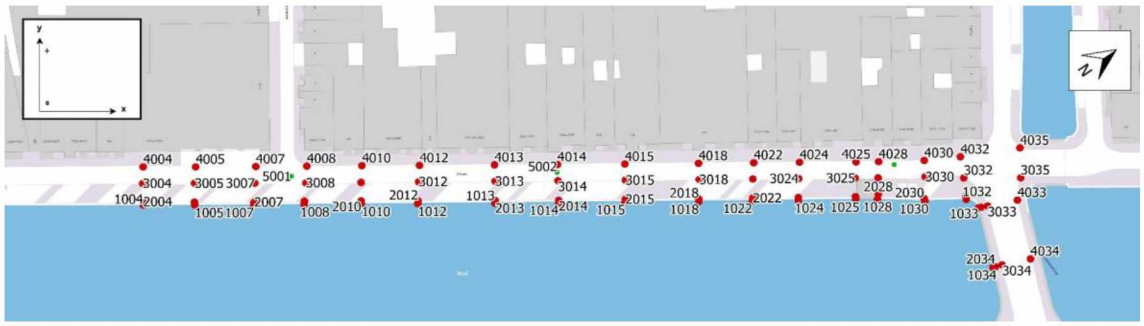


| Verschil t.o.v. nulmeting, X-richting in [mm] | | | | | | | | | | | | | |
|---|---|---|---|---|---|---|---|---|---|---|---|---|---|
| X-X0 | 3025 | 3028 | 3030 | 3032 | 3033 | 3034 | 3035 | | | | | | Opmerking |
| afstand = | 0,0 | 4,5 | 13,7 | 21,3 | 26,6 | 33,8 | 32,5 | | | | | | |
| 13-4-2022 | 0,0 | 0,0 | 0,0 | 0,0 | 0,0 | 0,0 | 0,0 | | | | | | |
| 4-5-2022 | 1,7 | 1,7 | 1,7 | 1,5 | -1,0 | | -1,6 | | | | | | |
| 10-5-2022 | 0,7 | 1,2 | 0,8 | 0,9 | -0,1 | -0,2 | -0,3 | | | | | | |
| 18-5-2022 | 0,4 | 0,8 | 0,2 | -0,2 | -0,5 | 0,0 | 0,1 | | | | | | |
| 24-5-2022 | 2,0 | 1,9 | 1,6 | 2,0 | 0,1 | -1,6 | -2,4 | | | | | | |

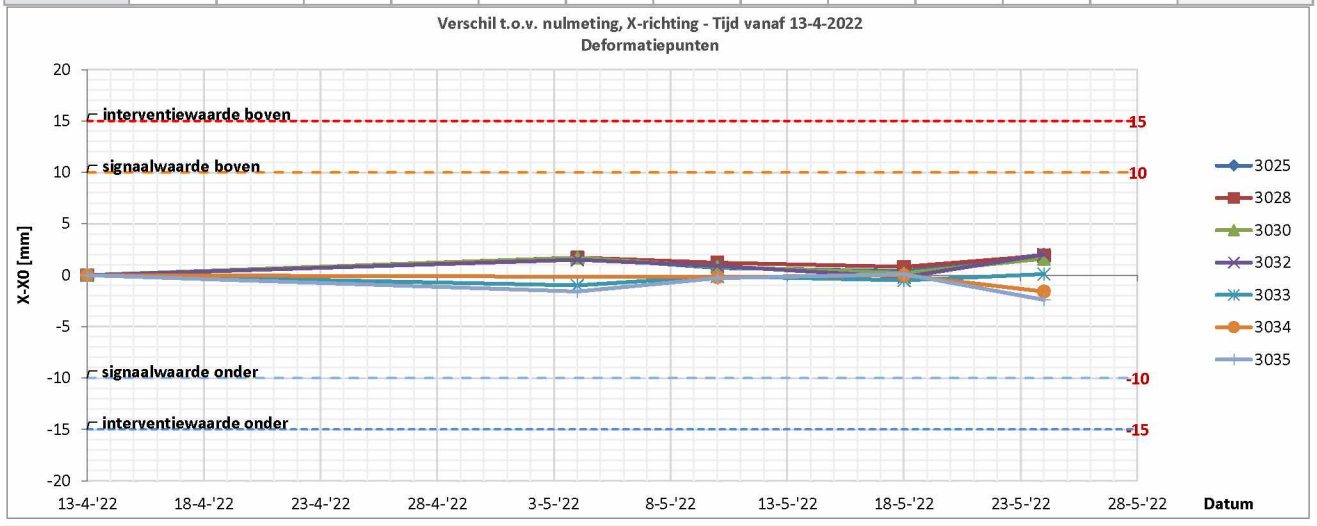


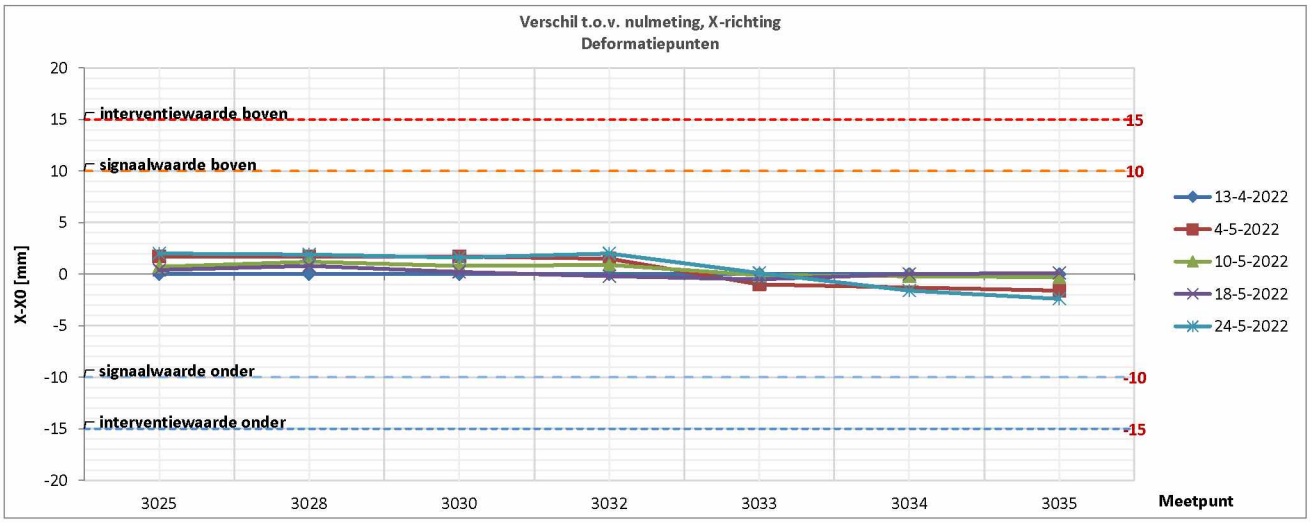

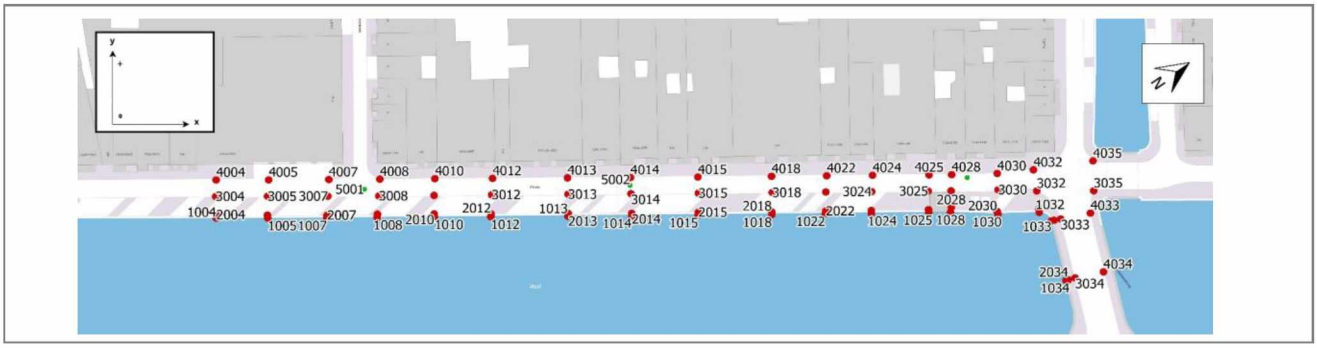


**Verschil t.o.v. nulmeting, Y-richting in [mm]**

| Y-Y0 | 3025 | 3028 | 3030 | 3032 | 3033 | 3034 | 3035 | Opmerking |
|---|---|---|---|---|---|---|---|---|
| afstand = | 0,0 | 4,5 | 13,7 | 21,3 | 26,6 | 33,8 | 32,5 | |
| 13-4-2022 | 0,0 | 0,0 | 0,0 | 0,0 | 0,0 | 0,0 | 0,0 | |
| 4-5-2022 | 1,8 | 2,1 | 1,7 | 2,7 | 3,8 | | 2,4 | |
| 10-5-2022 | -0,8 | -0,6 | -1,0 | 1,1 | 0,8 | -0,9 | -0,5 | |
| 18-5-2022 | 0,2 | 0,0 | -0,5 | 1,7 | 2,2 | 1,1 | 3,3 | |
| 24-5-2022 | 0,2 | 0,1 | -0,6 | 1,2 | 2,4 | 0,1 | 1,4 | |

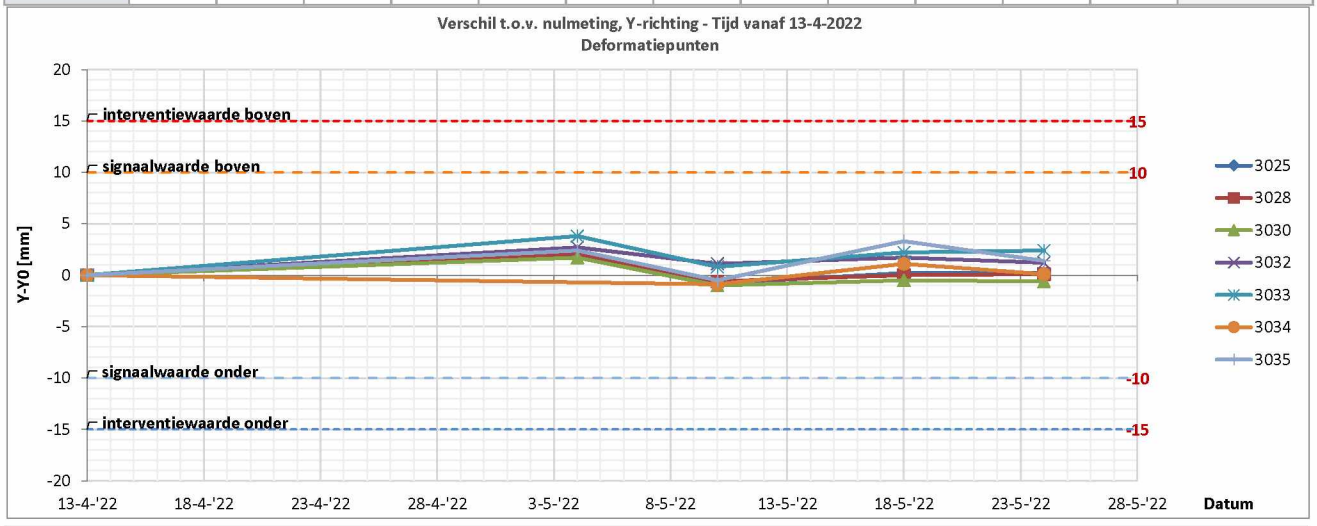


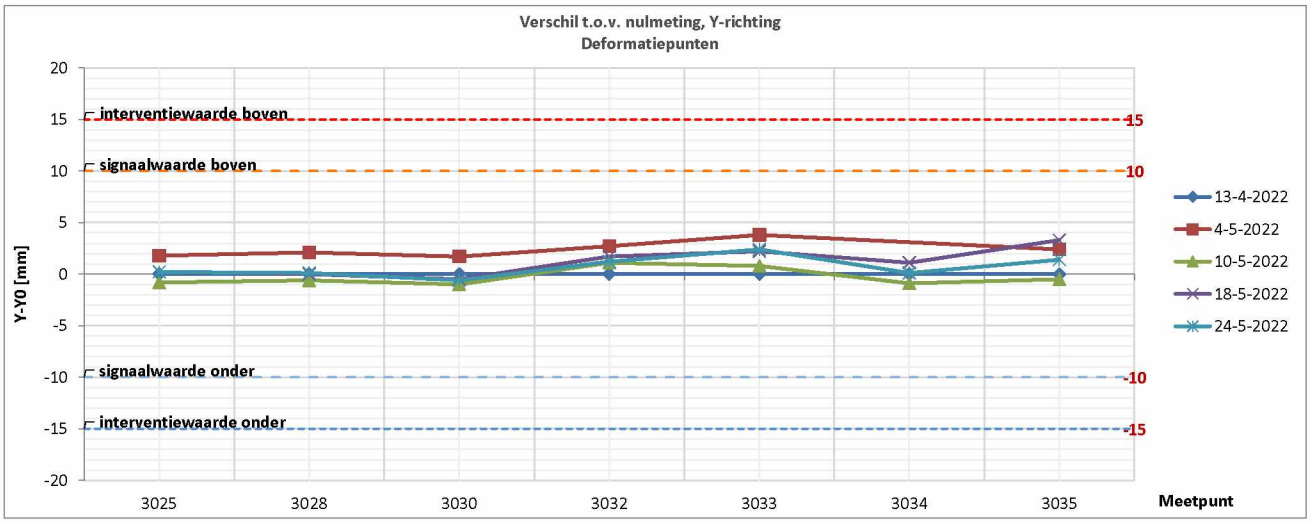

**Opdrachtgever:** Mobilis
**Project:** Veiligheidsconstructie Singel SIN0401
**Onderdeel:** XYZ-deformatiemeting
**Projectnummer:** BR227122

BouwRisk

73o6 15-11-2021

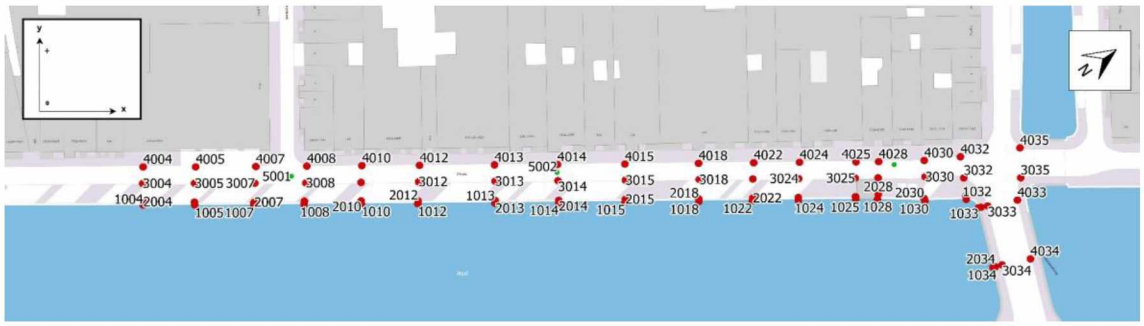


| Verschil t.o.v. nulmeting, Z-richting in [mm] | | | | | | | | | | | | | |
|---|---|---|---|---|---|---|---|---|---|---|---|---|---|
| Z-Z0 | 3025 | 3028 | 3030 | 3032 | 3033 | 3034 | 3035 | | | | | | Opmerking |
| afstand = | 0,0 | 4,5 | 13,7 | 21,3 | 26,6 | 33,8 | 32,5 | | | | | | |
| 13-4-2022 | 0,0 | 0,0 | 0,0 | 0,0 | 0,0 | 0,0 | 0,0 | | | | | | |
| 4-5-2022 | 0,9 | 0,9 | 0,5 | 0,9 | 0,6 | | 0,8 | | | | | | |
| 10-5-2022 | -0,7 | -0,3 | -0,6 | -0,1 | -0,3 | -0,6 | -0,3 | | | | | | |
| 18-5-2022 | -0,6 | -0,5 | -0,9 | -0,5 | -0,4 | -0,9 | -2,2 | | | | | | |
| 24-5-2022 | 0,4 | 0,6 | -0,1 | 0,3 | 0,0 | -0,2 | 0,6 | | | | | | |

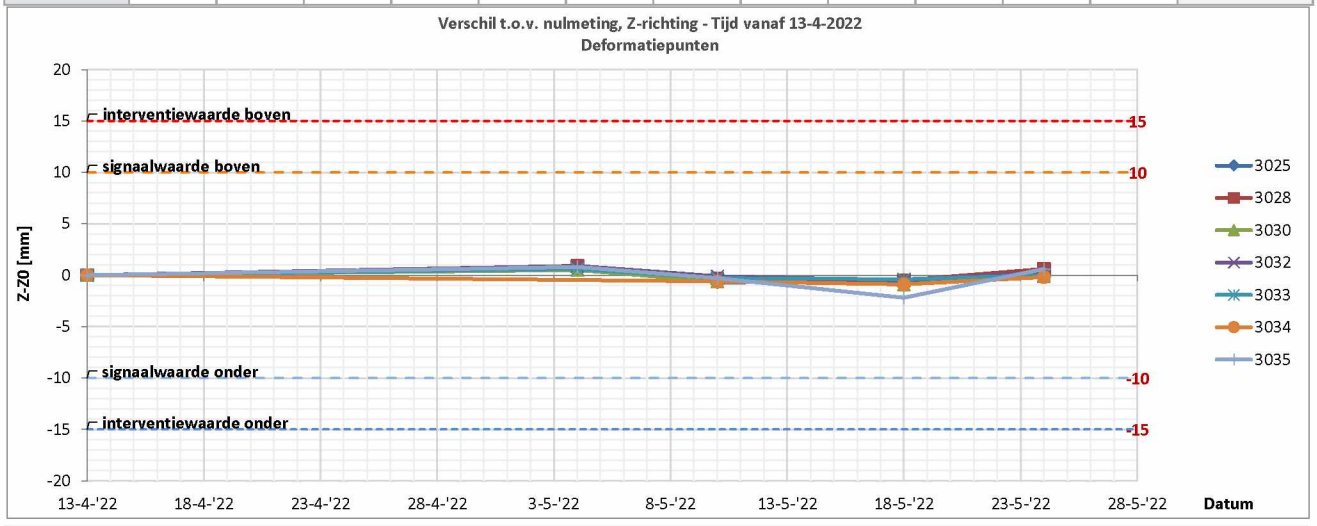


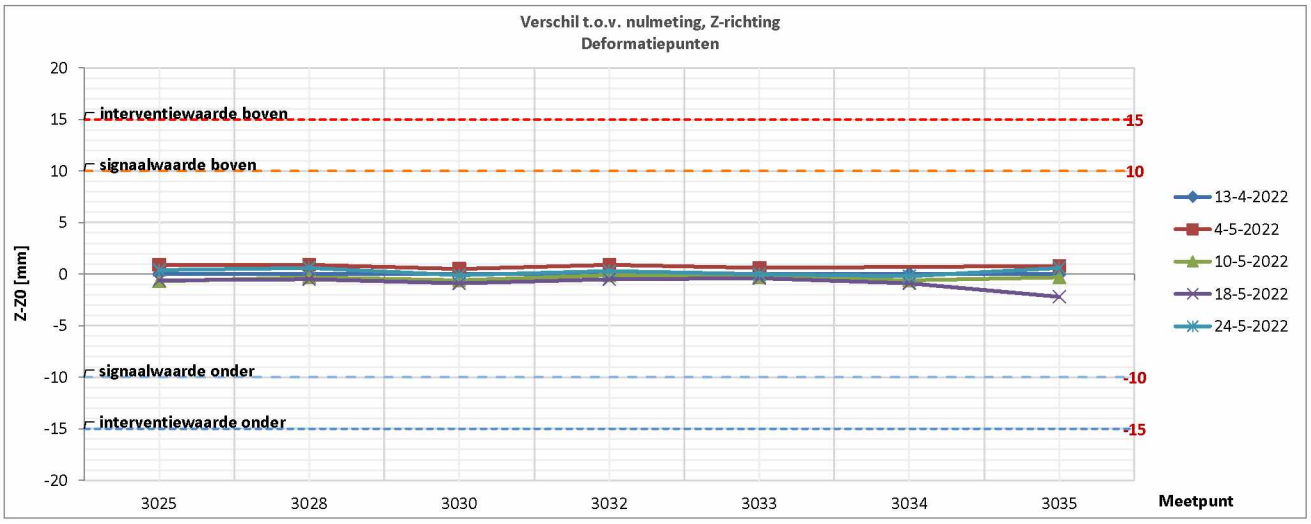

**Opdrachtgever:** Mobilis
**Project:** Veiligheidsconstructie Singel SIN0401
**Onderdeel:** XYZ-deformatiemeting
**Projectnummer:** BR227122

BouwRisk

73o6 15-11-2021

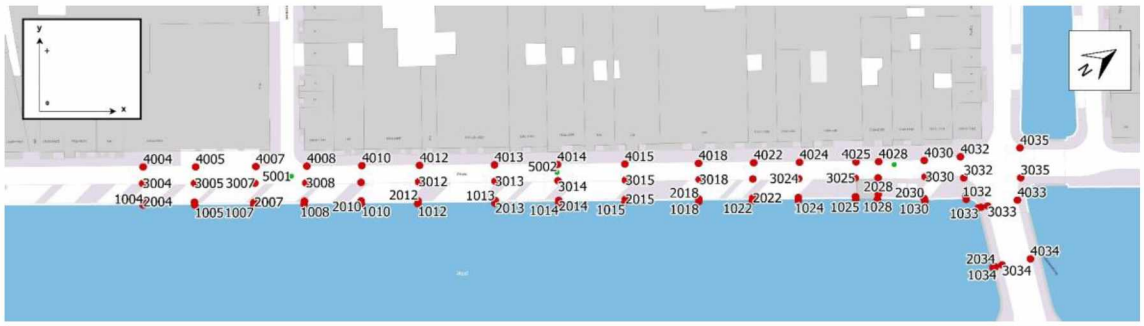


| Verschil t.o.v. nulmeting, X-richting in [mm] | | | | | | | | | | | | | |
|---|---|---|---|---|---|---|---|---|---|---|---|---|---|
| X-X0 | 4004 | 4005 | 4007 | 4008 | 4010 | 4012 | 4013 | 4014 | 4015 | 4018 | 4022 | 4024 | Opmerking |
| afstand = | 0,0 | 10,3 | 22,1 | 32,1 | 42,9 | 54,2 | 69,0 | 81,3 | 94,5 | 109,0 | 119,8 | 128,8 | |
| 13-4-2022 | 0,0 | 0,0 | 0,0 | 0,0 | 0,0 | 0,0 | 0,0 | 0,0 | 0,0 | 0,0 | 0,0 | 0,0 | |
| 4-5-2022 | 0,5 | 3,2 | 1,6 | 1,8 | -1,4 | -2,0 | -2,1 | -2,5 | -0,7 | 1,6 | 2,2 | 1,9 | |
| 10-5-2022 | -2,5 | 0,2 | -1,2 | -0,7 | -0,2 | -0,6 | 0,1 | 1,5 | 1,0 | 1,6 | 1,9 | 1,4 | |
| 18-5-2022 | -1,2 | 1,1 | -0,9 | -0,3 | 0,1 | -0,6 | 0,3 | 0,3 | 0,0 | 1,3 | 1,6 | 1,0 | |
| 24-5-2022 | 2,7 | 5,6 | 2,8 | 4,0 | 0,3 | 0,2 | -1,0 | 0,8 | 0,7 | 2,7 | 3,2 | 2,3 | |

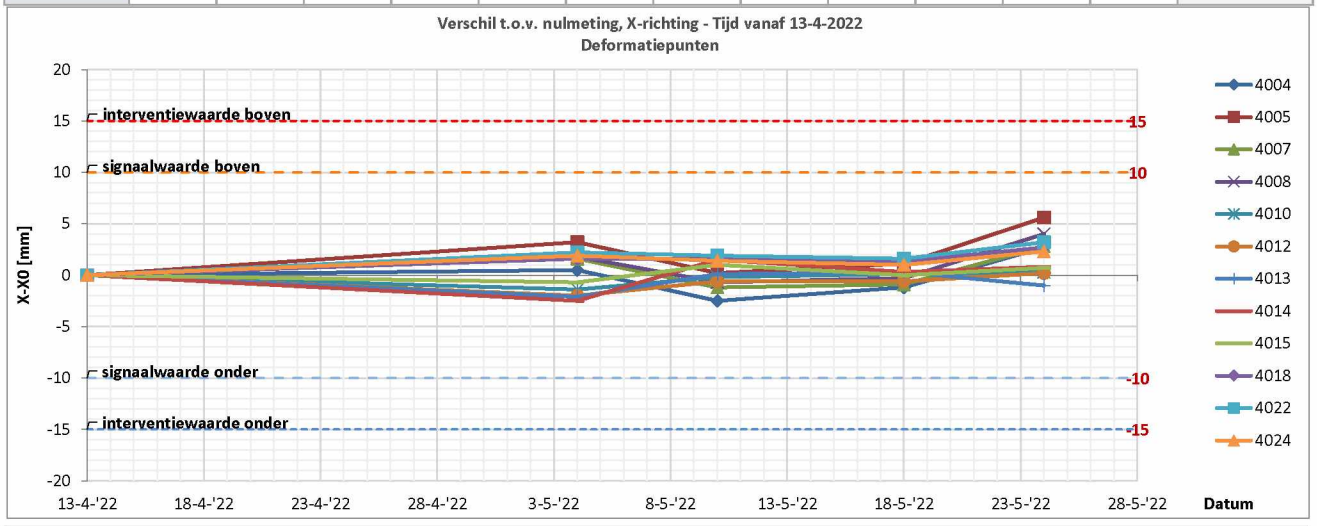


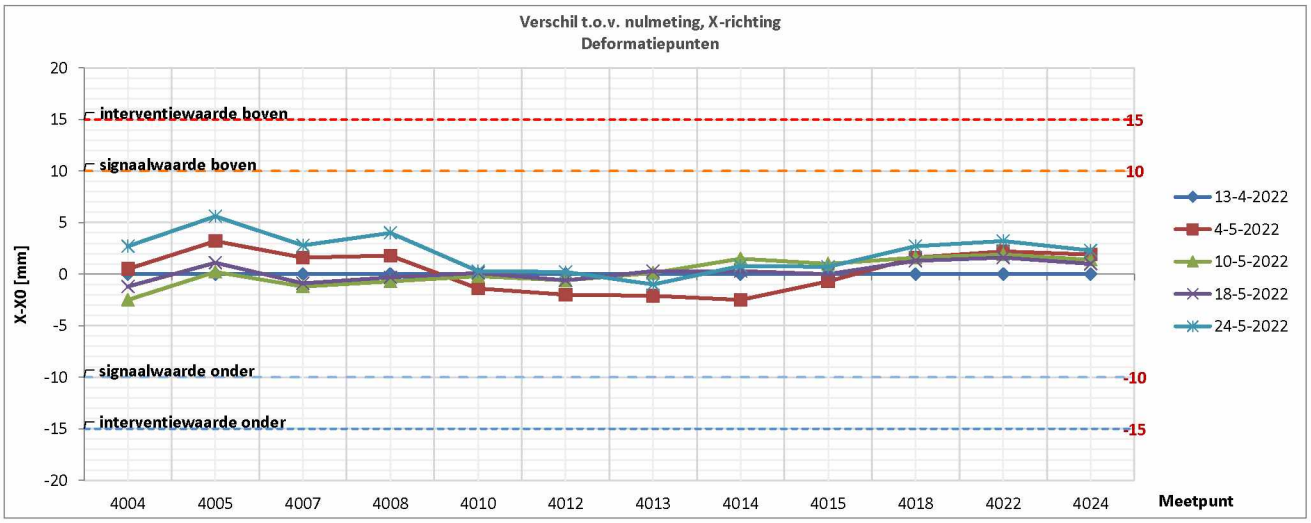

**Opdrachtgever:** Mobilis
**Project:** Veiligheidsconstructie Singel SIN0401
**Onderdeel:** XYZ-deformatiemeting
**Projectnummer:** BR227122

BouwRisk

73o6 15-11-2021

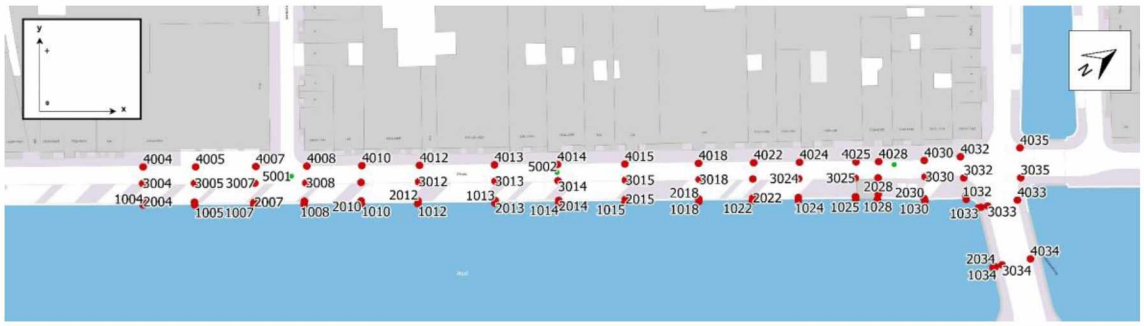


| Verschil t.o.v. nulmeting, Y-richting in [mm] | | | | | | | | | | | | | |
|---|---|---|---|---|---|---|---|---|---|---|---|---|---|
| Y-Y0 | 4004 | 4005 | 4007 | 4008 | 4010 | 4012 | 4013 | 4014 | 4015 | 4018 | 4022 | 4024 | Opmerking |
| afstand = | 0,0 | 10,3 | 22,1 | 32,1 | 42,9 | 54,2 | 69,0 | 81,3 | 94,5 | 109,0 | 119,8 | 128,8 | |
| 13-4-2022 | 0,0 | 0,0 | 0,0 | 0,0 | 0,0 | 0,0 | 0,0 | 0,0 | 0,0 | 0,0 | 0,0 | 0,0 | |
| 4-5-2022 | -1,0 | -1,7 | 0,2 | 0,2 | 0,8 | 0,9 | 0,7 | 0,9 | -0,1 | -0,3 | -0,2 | 0,2 | |
| 10-5-2022 | -0,7 | -2,8 | -0,1 | -0,6 | -0,5 | -0,5 | -1,2 | -1,7 | -1,9 | -1,4 | -1,4 | -1,6 | |
| 18-5-2022 | -0,9 | -3,8 | -1,4 | -0,2 | 0,6 | 0,1 | 0,4 | 0,0 | -0,5 | -0,4 | -0,5 | 0,0 | |
| 24-5-2022 | 0,4 | -2,9 | -1,3 | 0,9 | 2,2 | 0,6 | 2,6 | 2,4 | 1,5 | 1,8 | 1,1 | 1,3 | |

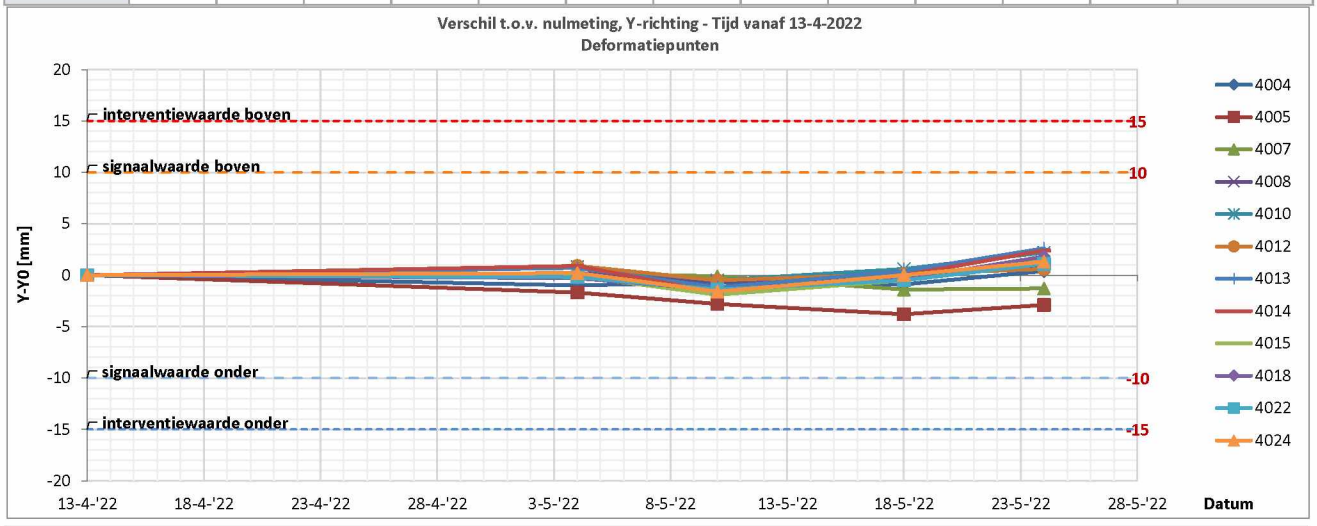


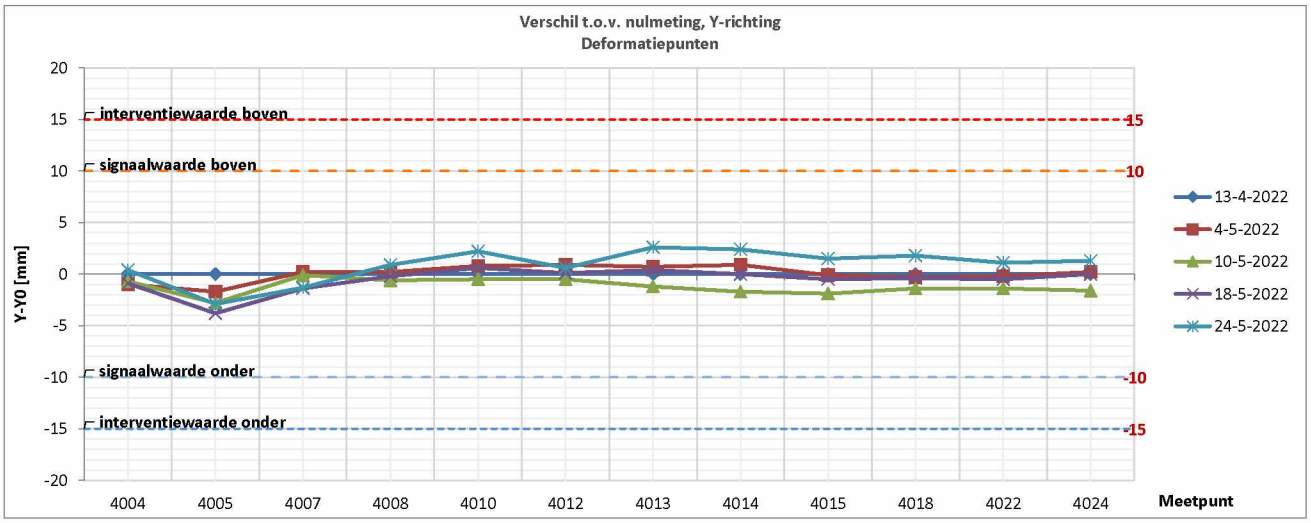

**Opdrachtgever:** Mobilis
**Project:** Veiligheidsconstructie Singel SIN0401
**Onderdeel:** XYZ-deformatiemeting
**Projectnummer:** BR227122

BouwRisk

73o6 15-11-2021

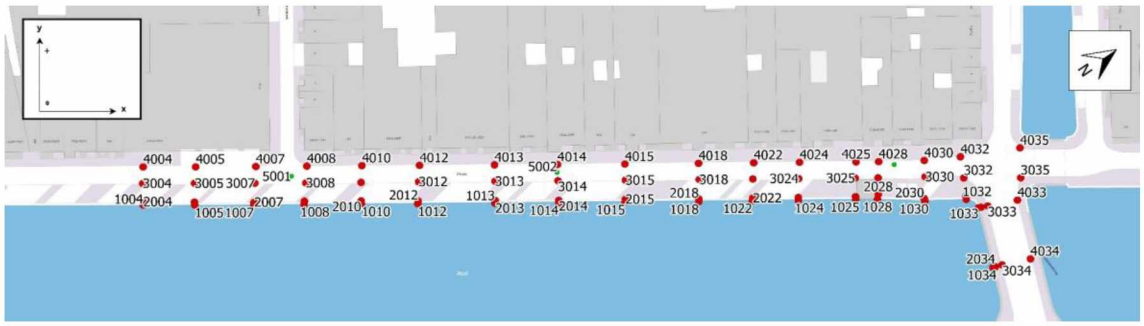


| Verschil t.o.v. nulmeting, Z-richting in [mm] | | | | | | | | | | | | | |
|---|---|---|---|---|---|---|---|---|---|---|---|---|---|
| Z-Z0 | 4004 | 4005 | 4007 | 4008 | 4010 | 4012 | 4013 | 4014 | 4015 | 4018 | 4022 | 4024 | Opmerking |
| afstand = | 0,0 | 10,3 | 22,1 | 32,1 | 42,9 | 54,2 | 69,0 | 81,3 | 94,5 | 109,0 | 119,8 | 128,8 | |
| 13-4-2022 | 0,0 | 0,0 | 0,0 | 0,0 | 0,0 | 0,0 | 0,0 | 0,0 | 0,0 | 0,0 | 0,0 | 0,0 | |
| 4-5-2022 | 1,5 | 6,5 | 2,3 | 2,5 | 2,6 | 2,3 | 1,7 | 1,4 | 1,1 | 1,4 | 1,4 | 1,2 | |
| 10-5-2022 | -0,3 | 3,6 | -0,7 | -0,7 | -0,6 | -0,8 | -1,5 | -1,3 | -0,7 | -0,5 | -0,4 | -0,7 | |
| 18-5-2022 | -0,1 | 3,2 | -1,1 | -0,2 | -0,2 | -0,4 | -1,2 | -1,3 | -1,2 | -0,5 | -0,5 | -0,7 | |
| 24-5-2022 | -0,3 | 2,6 | -1,9 | -0,8 | -0,7 | -0,9 | 0,1 | 0,7 | 2,0 | 1,7 | 1,5 | 1,0 | |

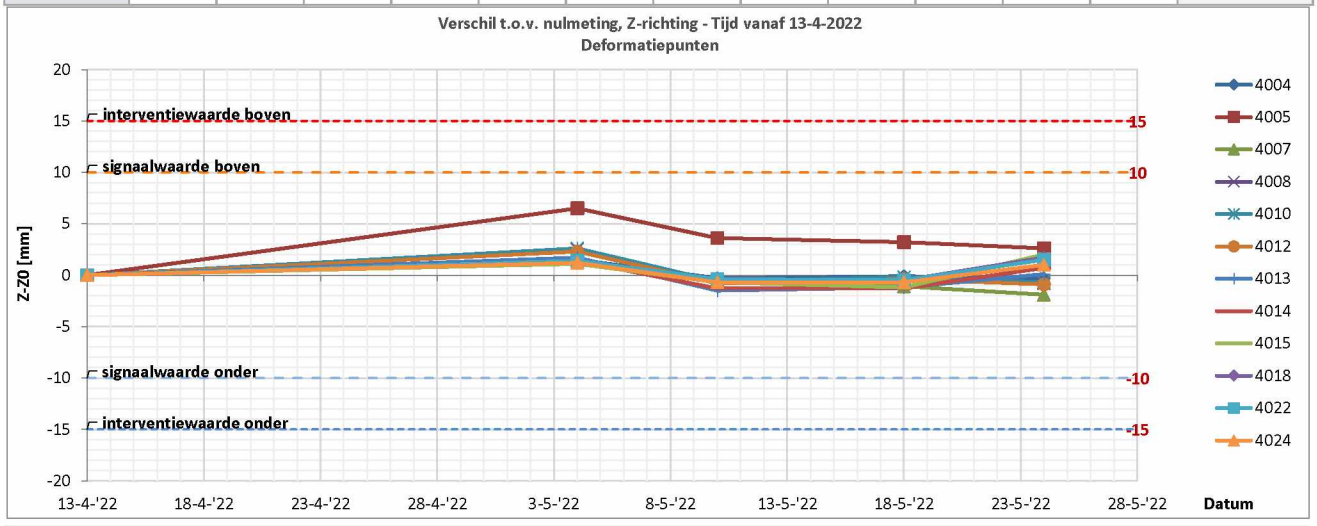


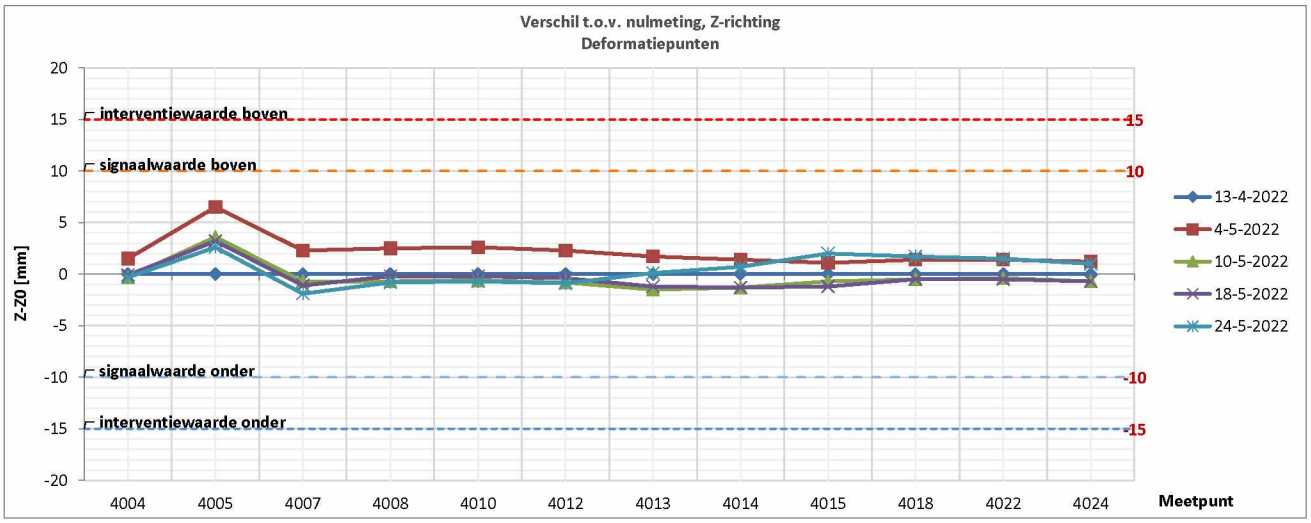

**Opdrachtgever:** Mobilis
**Project:** Veiligheidsconstructie Singel SIN0401
**Onderdeel:** XYZ-deformatiemeting
**Projectnummer:** BR227122

BouwRisk

73o6 15-11-2021

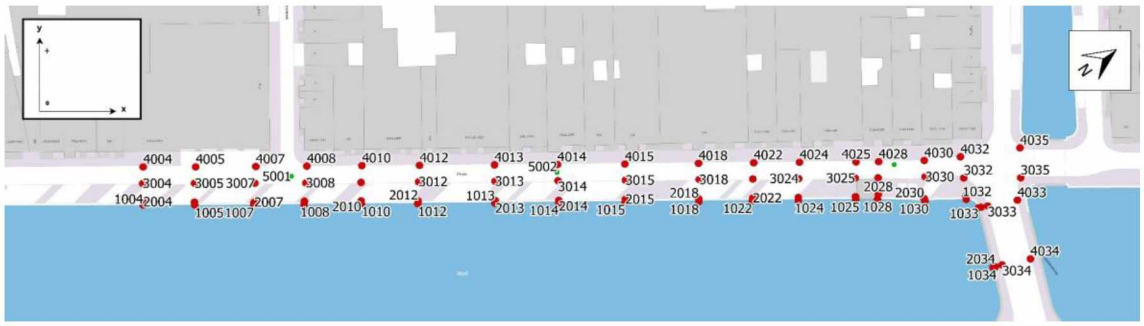


**Verschil t.o.v. nulmeting, X-richting in [mm]**

| X-X0 | 4025 | 4028 | 4030 | 4032 | 4033 | 4034 | 4035 | Opmerking |
|---|---|---|---|---|---|---|---|---|
| afstand = | 0,0 | 4,4 | 13,4 | 20,5 | 32,6 | 39,5 | 32,3 | |
| 13-4-2022 | 0,0 | 0,0 | 0,0 | 0,0 | 0,0 | 0,0 | 0,0 | |
| 4-5-2022 | 1,0 | 1,6 | 1,7 | 1,1 | -1,2 | -0,6 | -1,6 | |
| 10-5-2022 | 0,8 | 1,4 | 0,7 | 0,7 | 0,8 | 0,2 | 0,4 | |
| 18-5-2022 | 0,3 | 1,0 | 0,4 | 0,3 | 0,5 | 1,5 | -0,3 | |
| 24-5-2022 | 2,1 | 2,5 | 2,2 | 2,0 | 0,1 | -0,5 | -1,5 | |

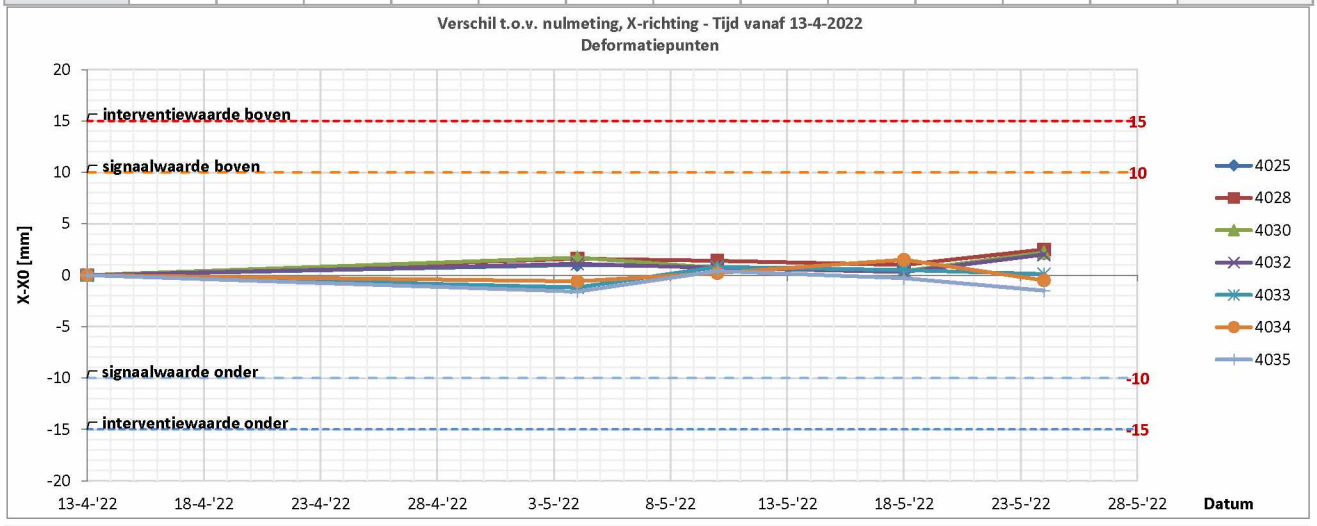


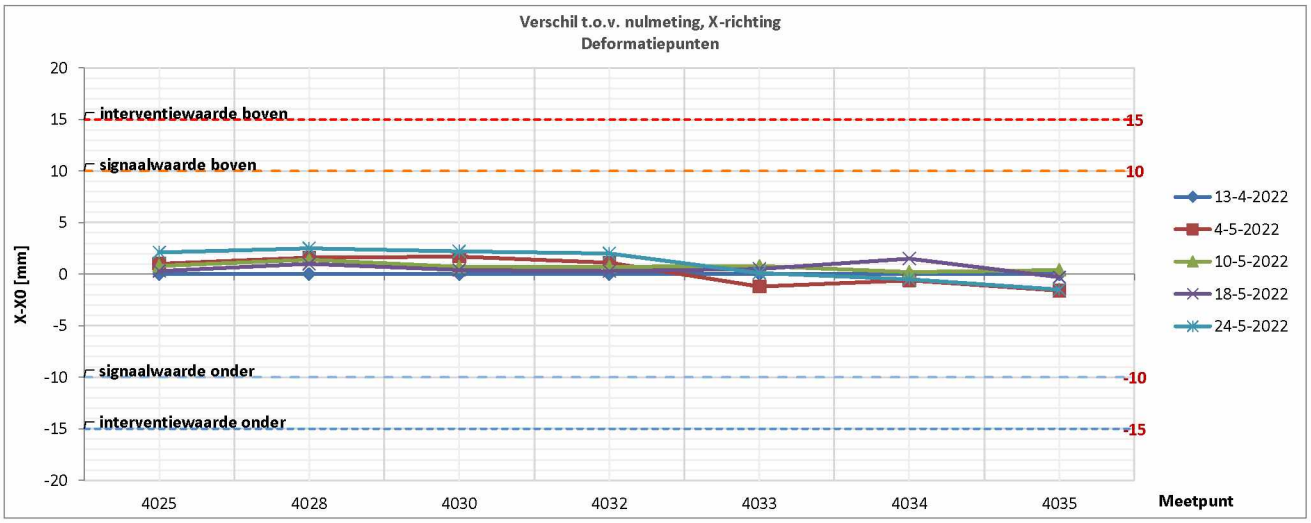

**Opdrachtgever:** Mobilis
**Project:** Veiligheidsconstructie Singel SIN0401
**Onderdeel:** XYZ-deformatiemeting
**Projectnummer:** BR227122

BouwRisk

73o6 15-11-2021

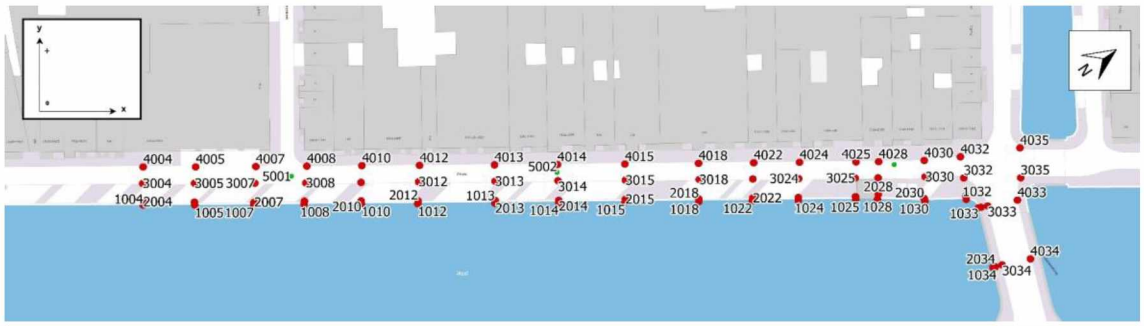


**Verschil t.o.v. nulmeting, Y-richting in [mm]**

| Y-Y0 | 4025 | 4028 | 4030 | 4032 | 4033 | 4034 | 4035 | Opmerking |
|---|---|---|---|---|---|---|---|---|
| afstand = | 0,0 | 4,4 | 13,4 | 20,5 | 32,6 | 39,5 | 32,3 | |
| 13-4-2022 | 0,0 | 0,0 | 0,0 | 0,0 | 0,0 | 0,0 | 0,0 | |
| 4-5-2022 | 0,9 | 1,1 | 0,7 | 1,3 | 3,5 | 3,6 | 2,4 | |
| 10-5-2022 | -0,7 | -0,7 | -0,7 | 0,1 | 0,4 | -0,6 | -0,6 | |
| 18-5-2022 | 0,3 | 0,5 | -0,2 | 0,5 | 2,1 | 1,5 | 0,4 | |
| 24-5-2022 | 1,1 | 1,2 | 0,2 | 0,1 | 2,9 | 2,8 | -1,8 | |

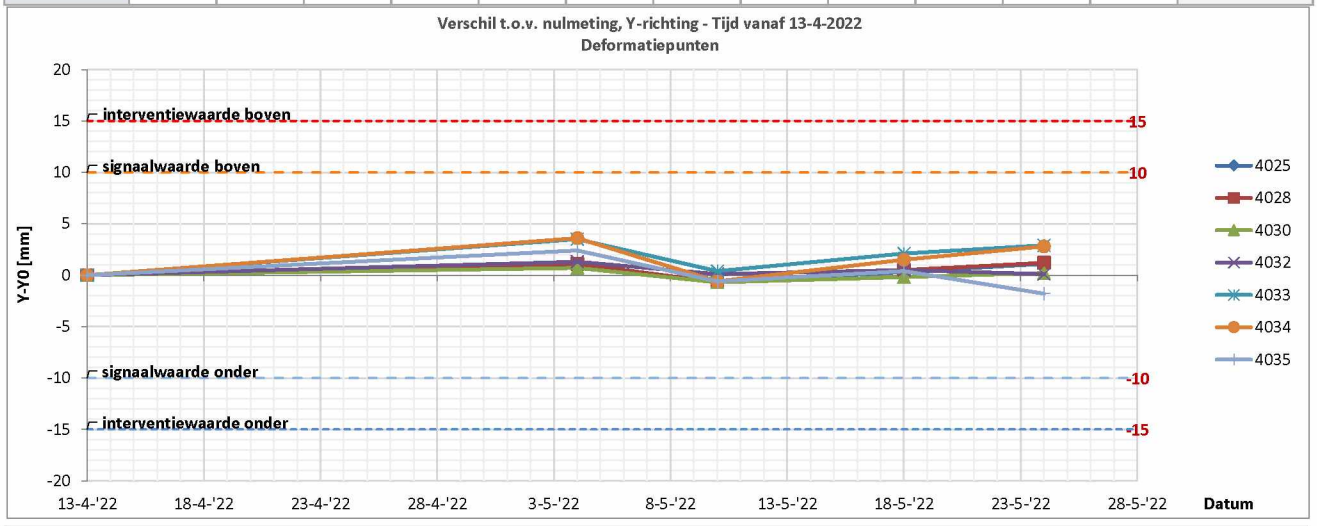


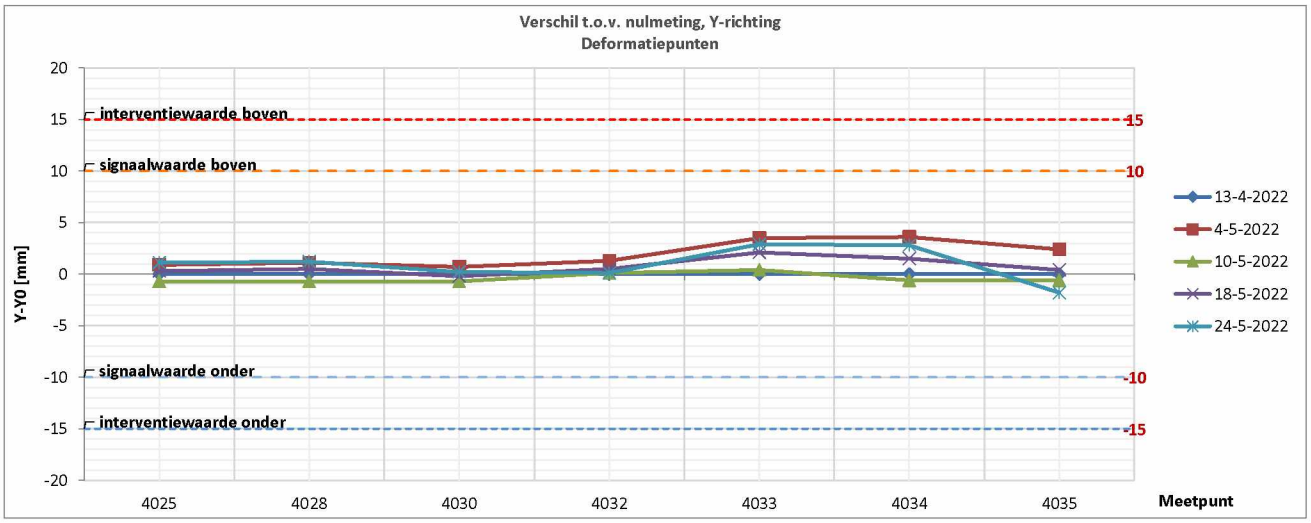

**Opdrachtgever:** Mobilis
**Project:** Veiligheidsconstructie Singel SIN0401
**Onderdeel:** XYZ-deformatiemeting
**Projectnummer:** BR227122

73o6 15-11-2021

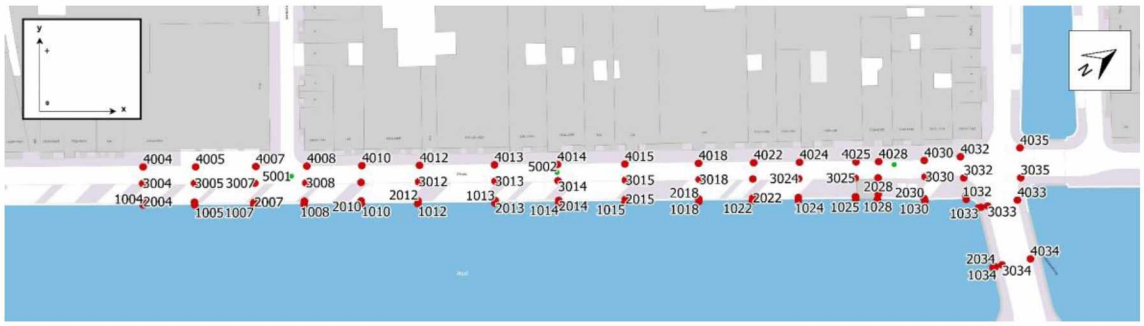


| Verschil t.o.v. nulmeting, Z-richting in [mm] | | | | | | | | | | | | | |
|---|---|---|---|---|---|---|---|---|---|---|---|---|---|
| Z-Z0 | 4025 | 4028 | 4030 | 4032 | 4033 | 4034 | 4035 | | | | | | Opmerking |
| afstand = | 0,0 | 4,4 | 13,4 | 20,5 | 32,6 | 39,5 | 32,3 | | | | | | |
| 13-4-2022 | 0,0 | 0,0 | 0,0 | 0,0 | 0,0 | 0,0 | 0,0 | | | | | | |
| 4-5-2022 | 0,7 | 0,9 | 0,4 | 0,4 | 0,5 | 0,2 | 0,6 | | | | | | |
| 10-5-2022 | -0,9 | -0,7 | -0,8 | -0,9 | -0,5 | -0,8 | -0,2 | | | | | | |
| 18-5-2022 | -0,8 | -0,5 | -1,1 | -1,2 | -0,7 | -1,0 | -0,3 | | | | | | |
| 24-5-2022 | 0,5 | 0,6 | -0,1 | -0,2 | -0,2 | -0,3 | 0,0 | | | | | | |

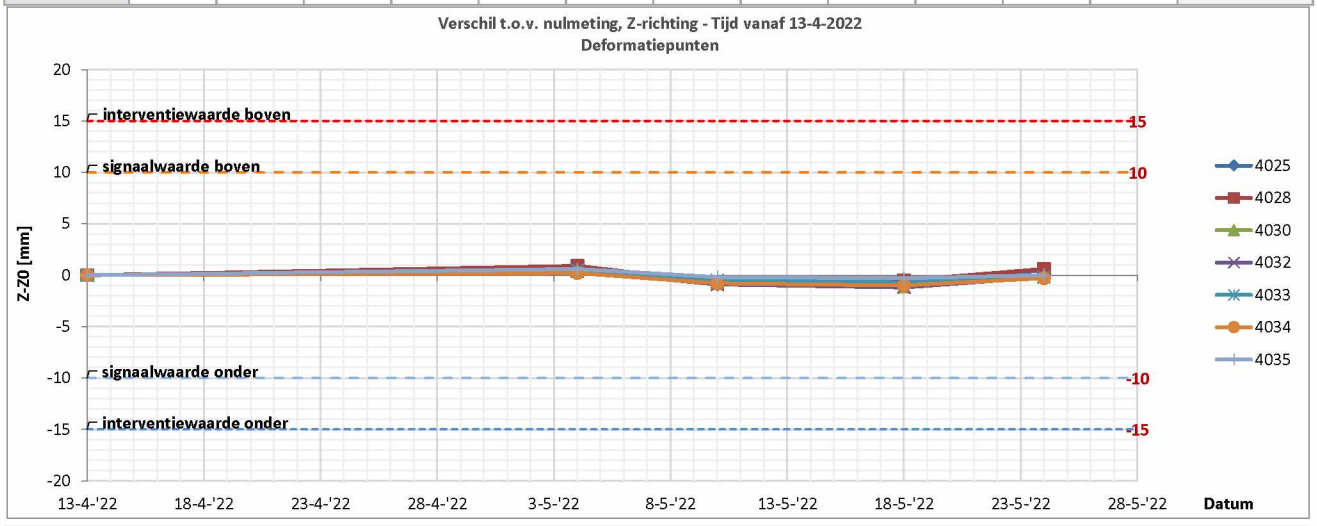


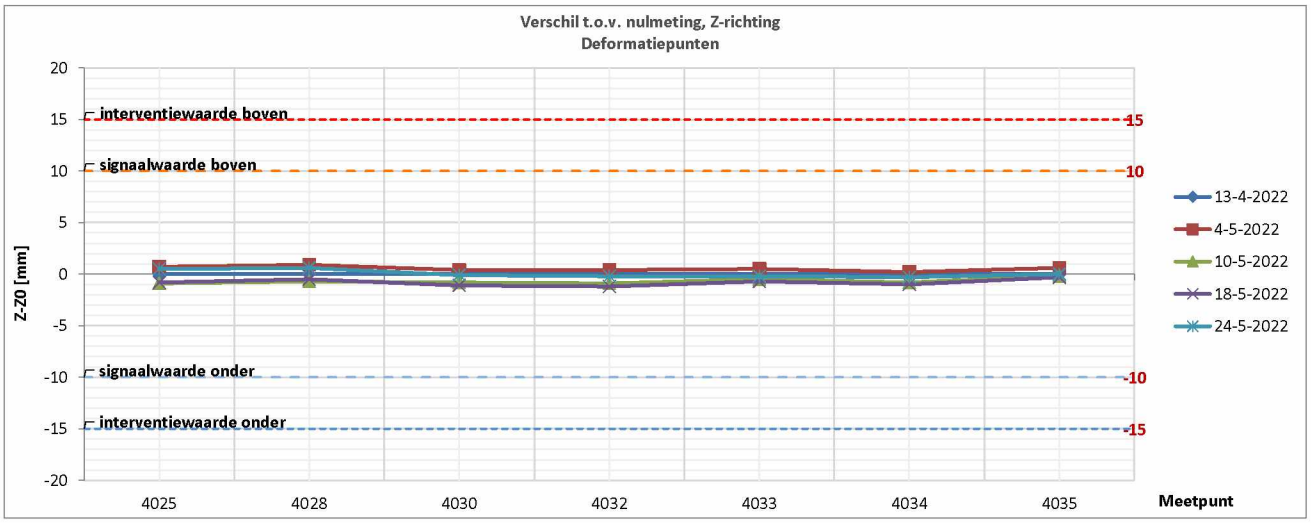

**Opdrachtgever:** Mobilis
**Project:** Veiligheidsconstructie Singel SIN0401
**Onderdeel:** XYZ-deformatiemeting
**Projectnummer:** BR227122

73o6 15-11-2021

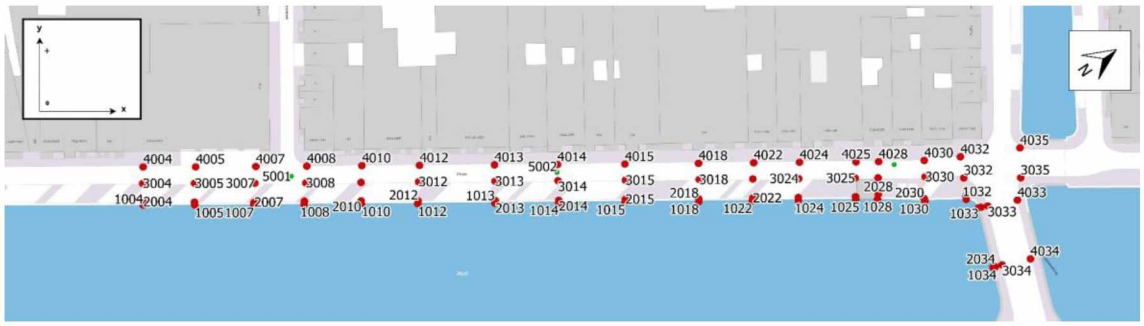


| Verschil t.o.v. nulmeting, X-richting in [mm] | | | | | | | | | | | | | | |
|---|---|---|---|---|---|---|---|---|---|---|---|---|---|---|
| X-X0 | 5001 | 5002 | 5003 | | | | | | | | | | | Opmerking |
| afstand = | 0,0 | 52,1 | 118,3 | | | | | | | | | | | |
| 13-4-2022 | 0,0 | 0,0 | 0,0 | | | | | | | | | | | |
| 4-5-2022 | 2,4 | -1,9 | 1,6 | | | | | | | | | | | |
| 10-5-2022 | -0,3 | 1,2 | 1,0 | | | | | | | | | | | |
| 18-5-2022 | 0,2 | 1,1 | 0,8 | | | | | | | | | | | |
| 24-5-2022 | 4,3 | | 2,5 | | | | | | | | | | | |

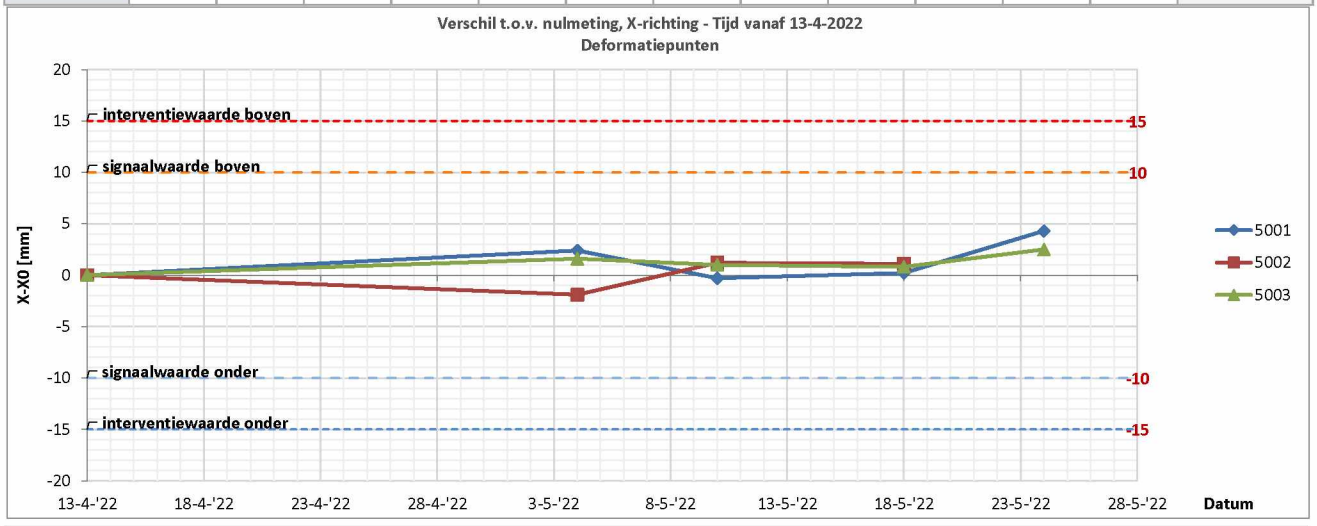


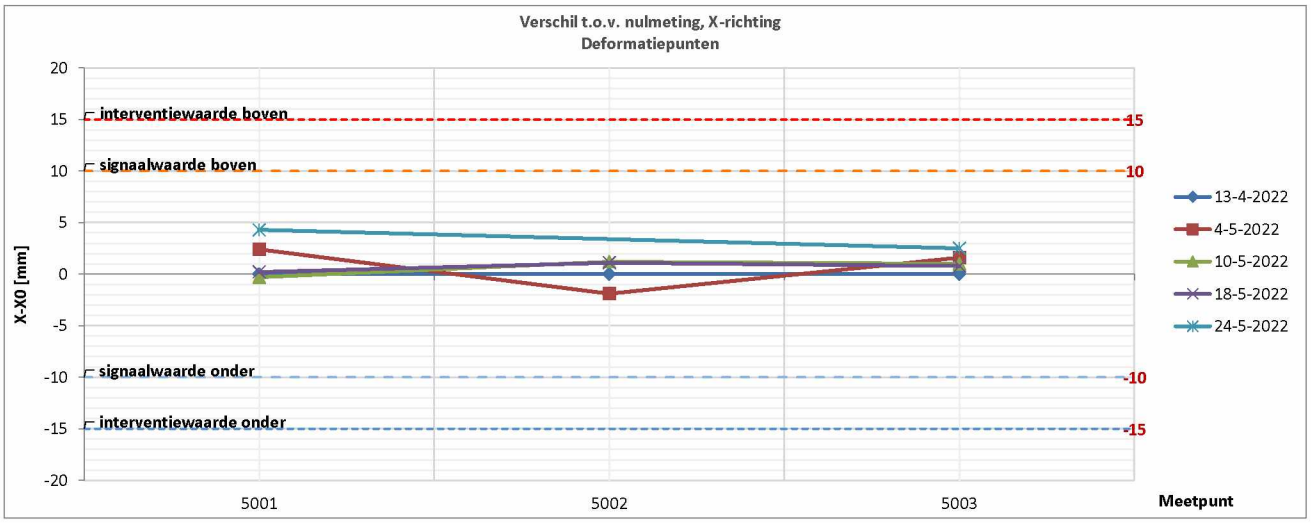

**Opdrachtgever:** Mobilis
**Project:** Veiligheidsconstructie Singel SIN0401
**Onderdeel:** XYZ-deformatiemeting
**Projectnummer:** BR227122

73o6 15-11-2021

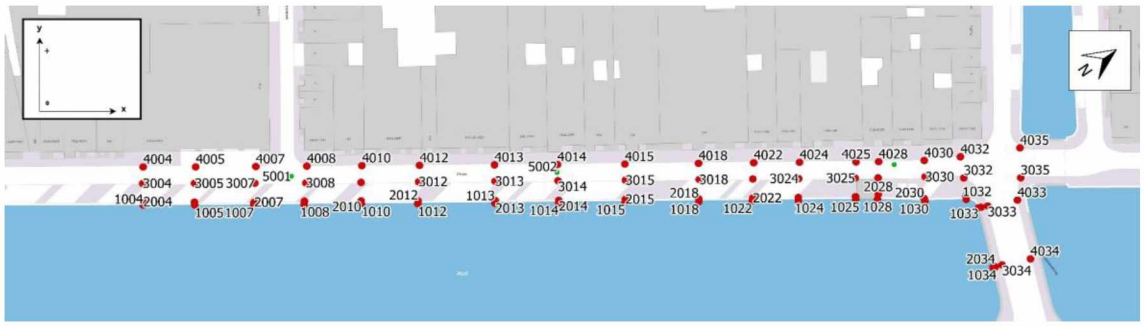


| Verschil t.o.v. nulmeting, Y-richting in [mm] | | | | | | | | | | | | | | |
|---|---|---|---|---|---|---|---|---|---|---|---|---|---|---|
| Y-Y0 | 5001 | 5002 | 5003 | | | | | | | | | | | Opmerking |
| afstand = | 0,0 | 52,1 | 118,3 | | | | | | | | | | | |
| 13-4-2022 | 0,0 | 0,0 | 0,0 | | | | | | | | | | | |
| 4-5-2022 | 1,0 | 1,2 | 1,6 | | | | | | | | | | | |
| 10-5-2022 | -0,7 | -2,3 | -0,4 | | | | | | | | | | | |
| 18-5-2022 | -0,8 | -1,2 | 0,7 | | | | | | | | | | | |
| 24-5-2022 | 0,3 | | 1,3 | | | | | | | | | | | |

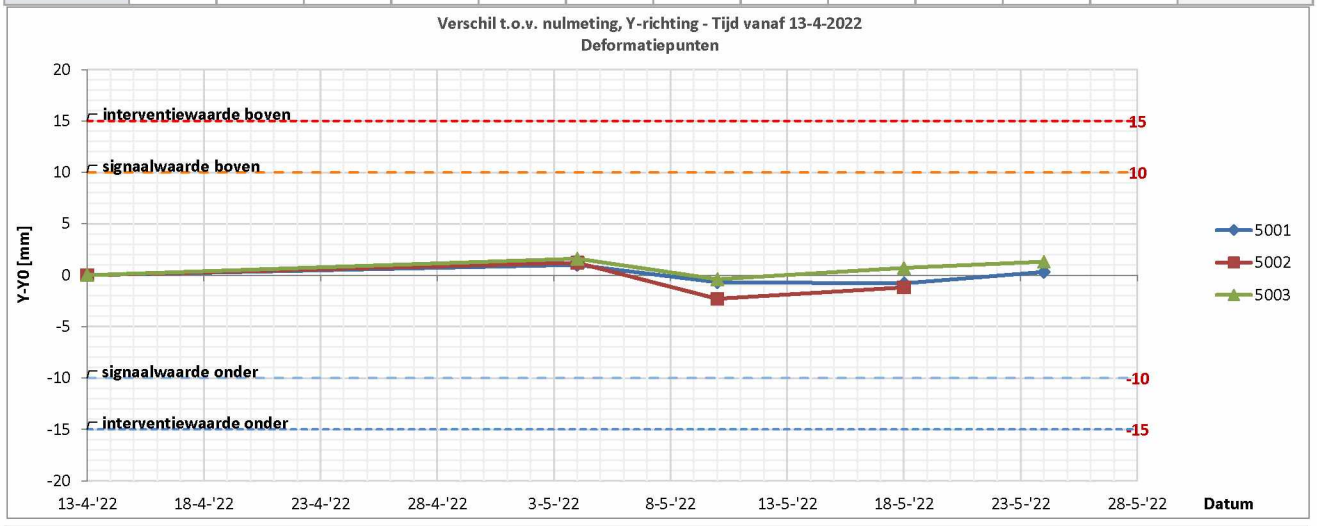


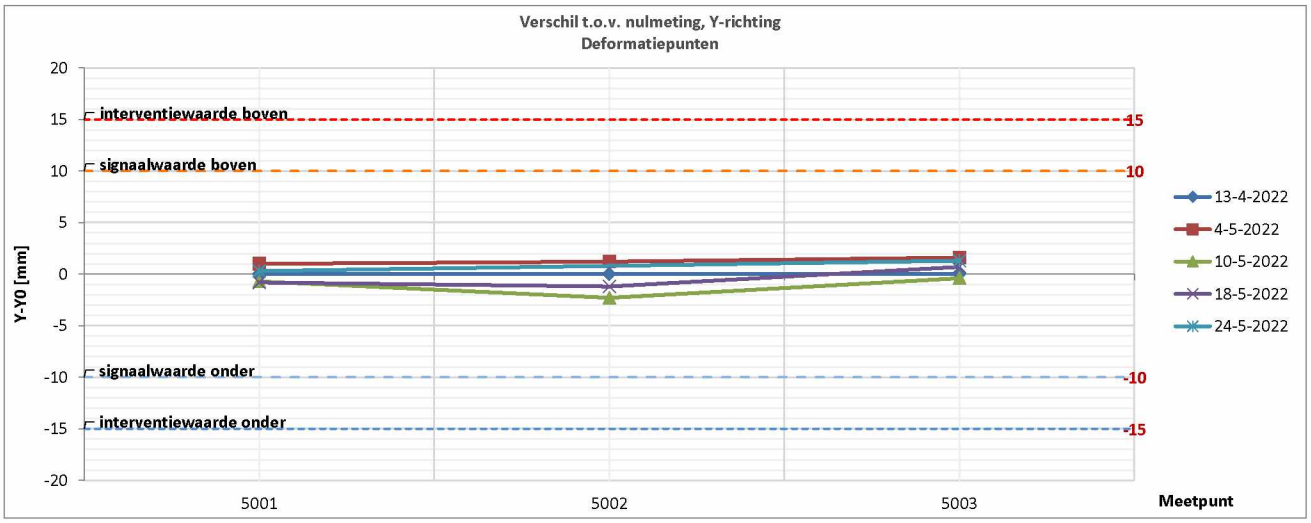

**Opdrachtgever:** Mobilis
**Project:** Veiligheidsconstructie Singel SIN0401
**Onderdeel:** XYZ-deformatiemeting
**Projectnummer:** BR227122

BouwRisk

73o6 15-11-2021

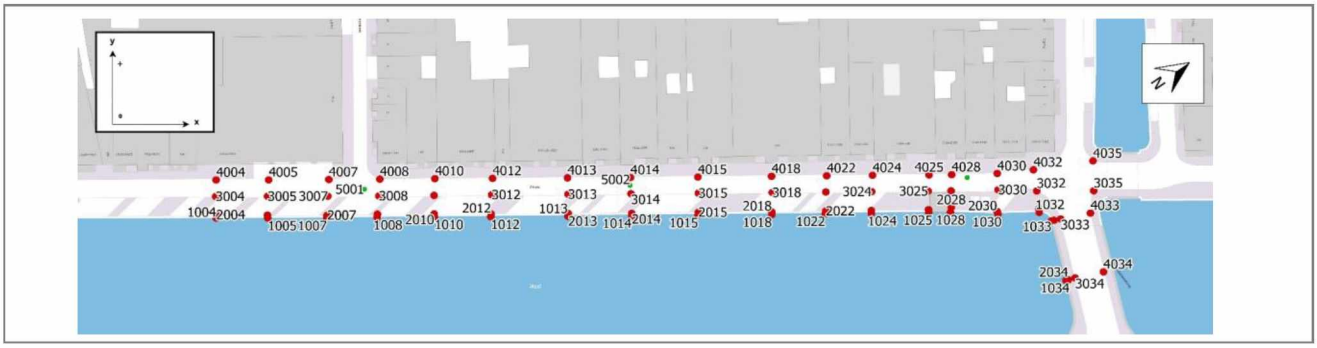


| Verschil t.o.v. nulmeting, Z-richting in [mm] | | | | | | | | | | | | | | |
|---|---|---|---|---|---|---|---|---|---|---|---|---|---|---|
| Z-Z0 | 5001 | 5002 | 5003 | | | | | | | | | | | Opmerking |
| afstand = | 0,0 | 52,1 | 118,3 | | | | | | | | | | | |
| 13-4-2022 | 0,0 | 0,0 | 0,0 | | | | | | | | | | | |
| 4-5-2022 | 2,4 | 1,3 | 0,7 | | | | | | | | | | | |
| 10-5-2022 | -1,0 | -1,2 | -0,6 | | | | | | | | | | | |
| 18-5-2022 | -0,9 | -2,8 | -0,8 | | | | | | | | | | | |
| 24-5-2022 | -1,7 | | 0,4 | | | | | | | | | | | |

